



OmranDL.ir

مروکت خصوصی دانلود مهندسی عمران



Filecivil.ir

سایت جامع دانشجویان و مهندسین عمران

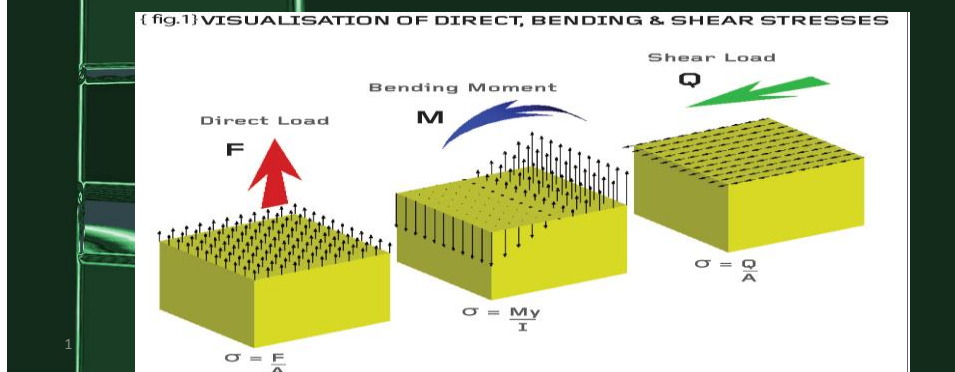
- آرشیو جامع مطالب رشته عمران و معماری

- انجمن گفتگوی تخصصی

به نام ایزد دانا

مقاومت مصالح ۲

مدرس : دکتر سید علی موسوی
www.samousavi.ir



Text Slide

| سال چهارم | سطح درس | نوع درس | ریاضیک | کد درس |
|-----------|-------------|---------------|--------|----------------|
| درس نظری | | نوع درس | | عنوان درس |
| 3-2 | | ضریب کارشناسی | اریمه | واحد |
| 1 | | کارگاه | | مقایمت مصالح ۱ |
| 91.90 | نیم سال دوم | سال تحصیلی | پک آزم | مدت درس |

| سایت | نام | E-mail | دفتر | دانشکده | کد | WEB LINK |
|------------------|--------------------|--------------------------|------|----------------|----|----------|
| www.samousavi.ir | دکتر سید علی موسوی | SAMOUSAVI@PMC.IAUN.AC.IR | | دانشکده مکانیک | | مدرس درس |
| | | | | | | حل تمرین |

مقاومت مصالح ۲



| | |
|---------|-------------|
| ۴۷ | کد دروس: |
| ۷ | اعداد واحد: |
| نظری | نوع واحد: |
| ۳۴ ساعت | ساعت: |
| ۳۴ ساعت | سrfصل دروس: |

تبديل تنش و کرنش در مختصات مختلف (الف- حالت دو بعدی) مولفه های تنش در روی یک صفحه مایل، تنش های اصلی، تنش برخی، ماتریس، دایره مور، روش های مختلف در ترسیم دایره مور، مولفه های کرنش در روی یک صفحه مایل، کرنش های اصلی، دایره مور کرنش، انواع کرنش سنج ها، رابطه بین دایره مور تنش و کرنش، (ب- حالت سه بعدی)، مولفه های تنش در روی یک صفحه مایل، تنش های اصلی و دایره.

خیز در تیرهای نامعین: دوش لشکرالگیری و دوش پرانتز شکسته، دوش لشکر ماساس، دوش جمع آثار، دوش سه لشکر، دوش سختی، دوش انعطاف پذیری.

روش: نئی انرژی، نئی مکان مجازی: انرژی انتقالی، انرژی و کار خارجی، تعیین خیز از دوش بقاء انرژی. دوش های کار مجازی، تعیین مکان مجازی، سیستم های الامتیک دوش نیروی مجازی (بار واحد) معادلات نیروی مجازی در کار مجازی در سیستم های مجزا انرژی کرنش و انرژی مکمل، قضایای کاستیگلیانو و استفاده از آنها در حل سیستم های نامعین.

پایداری تعادل در ستونها: مفهوم پایداری و ناپایداری حالت تعادل، تئوری پایداری ستونها، تعیین بار حدی اوپلر برای ستونها یا شرایط تکیه گاهی مقاومت، محدودیت های هرمول اوپلر، بارهای محوری خارج از مرکز و قرمول سکانت، تیر-ستونها، طراحی ستونها با استفاده از قرمول های تجویی.

3

سر فصل درس



- سرفصل درس مقاومت ۲ : مصوب شورای عالی برنامه ریزی درسی وزارت علوم، تحقیقات و فناوری:
- تبدیلات تنش و کرنش، تنش در صفحه مایل دایره مور
- تیرهای معین
- (پ) طراحی، خیز و تحلیل تیرهای نامعین به روشهای انتگرالگیری.
- پرانتر شکسته و گشتاور سطح (فصل پنجم، هشتم و نهم)
- ستون ها (فصل دهم)
- ۵-روشهای انرژی مجازی (فصل یازدهم)

منابع درسی:

- مقاومت مصالح، تالیف فریدنند بی پر، راسل جانستون، جان دی ول夫، دیوید مازورک، ترجمه دکتر ابراهیم واحدیان، ویرایش پنجم
- مقاومت مصالح، تالیف ایگور پوپوف، ترجمه محمد رضا افضلی
- ۳- مقاومت مصالح، تالیف اس. تیموشنکو، ترجمه دکتر غلامحسین مجذوبی
- 4-Strenght of materials, Hibller, SI Edition

جزوه:

- هرگز جزو نمی‌تواند جایگزینی برای کتاب و منابع معرفی شده باشد.
- مرجع این درس، همانطور که بارها ذکر شده است، منابع معرفی شده است.
- با این وجود به خاطر اینکه دانشجویان به اسلایدها یا درس تدریش شده در کلاس که در کلاس درس به عنوان ابزار کمک آموزشی مورد استفاده قرار می‌گیرد، اما دانشجویان هرگز نباید این اسلایدها یا درس تدریس شده را به عنوان منبع این درس فرض نکند و مطالعه کتاب اکیدا به آنها توصیه می‌شود.

5

روش ارزیابی:

- تمام تکالیف به صورت کتاب/جزوه باز، بر اساس درس، بحث‌ها، کتاب درسی و مطالب کار شده می‌باشد. تکالیف به استاد حل تمرین در زمان مربوطه تحويل داده می‌شود.

- کوئیز: در طول ترم، در تعدادی از جلسات کلاس درس یا حل تمرین و بدون اطلاع قبلی یک سوال/مسئله یا تعدادی تست مطرح شده، دانشجویان آن را در مدت زمان معینی حل کرده و تحويل می‌دهند. از جمع نمرات امتحانات ناگهانی، این نمره محاسبه می‌شود.
- یک یا دو آزمون طراحی شده برای آشنایی و درک اساسی از موضوعات مختلف در کلاس درس یا حل تمرین برگزار می‌شود.
- دانشجویان باید در هر جلسه برای برگزاری یک امتحان از مطالب گذشته آمادگی علمی کامل داشته باشند و هیچ عذری مورد قبول نخواهد شد.
- آزمون میان ترم: امتحان در هفته تعیین شده توسط دانشگاه برگزار می‌شود و همه درس تدریس شده تا زمان امتحان را پوشش میدهد. تاریخ میان ترم با هماهنگی دانشجویان در ابتدای ترم تعیین می‌شود و قابل تغییر نمی‌باشد.

آزمون پایان ترم : امتحان نهایی تمام مواد را پوشش میدهد.

6

درصد ارزشیابی:

- تکلیف: ۵٪
- کوئیز: ۵٪
- حضور و غیاب و فعالیت کلاسی: ۵٪
- میان ترم: ۲۵٪
- پایان ترم ۶۰٪
- توجه داشته باشد که درصد نمرات بر حسب مورد قابل تغییر توسط استاد میباشد. هفتاد و پنج درصد سوالات از جزو
بیست و پنج درصد سوالات از کتاب، متفرقه میباشد.

7

روش ها یادگیری و تدریس

- این کلاس درس شامل کلاس و آزمایشگاه بر اساس دوره یک یا دو ترمی (آزمایشگاه) می باشد. دانشجویان در پایان هر جلسه به کتاب مرجع مراجعه کنند.
- دانشجویان تشویق می شوند تا با استفاده از روش تدریس فعل که در آن دانشجویان، در جریان آموزش نقش فعالی به عهده گرفته واستاد نقش راهنمای و هدایت کننده را ایفا کند، تعامل دوطرفه بین استاد و دانشجودر کلاس باید وجود داشته باشد. استفاده از امکانات کمک آموزشی، نمایش اسلایدها، فیلم در صورت امکان مورد استفاده قرار خواهد گرفت..

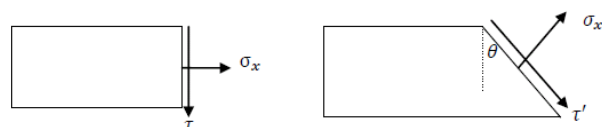
8

• تبدیل تنش و کرنش در صفحات مختلف

9

تحلیل تنش ها در صفحه با دایره مور

در طراحی ها یا بد به یک نکته همواره دقت کرد و آن اینکه تنش در هر سطحی که ما کزیم است، باید از حد مجاز بیشتر شود. بین تنش ها در سطوح مختلف روابطی برقرار است که به کمک آنها می توان تنش را در هر سطحی محاسبه نمود.

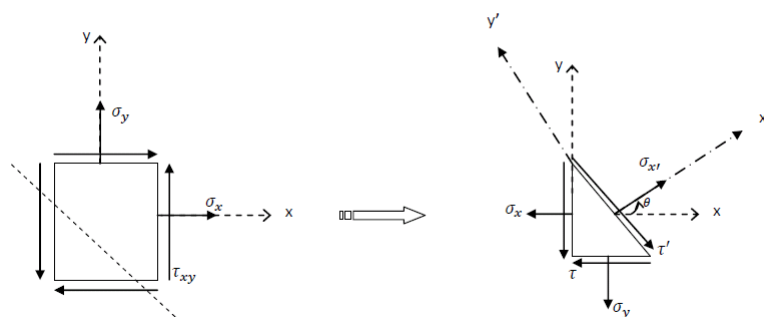


$$\sigma_{x'} = \sigma_x \cdot \cos^2 \theta \quad \stackrel{if}{\rightarrow} \quad \cos \theta = 1 \longrightarrow \theta = 0 \quad \sigma'_{max} = \frac{\sigma_x}{2}$$

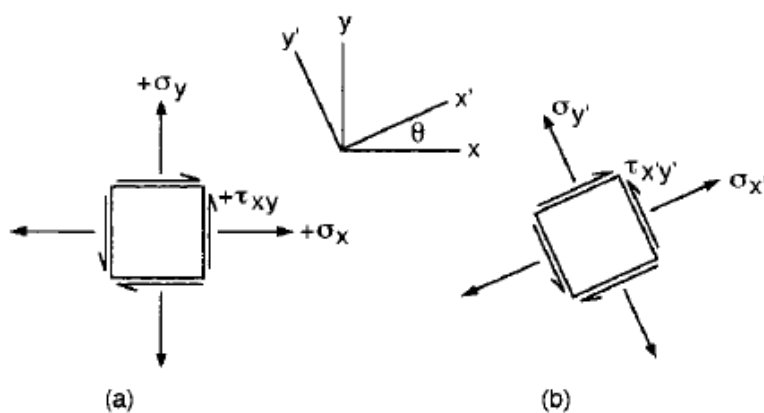
$$\tau = \frac{\tau}{A} = \frac{P \cdot \sin \theta}{A} = \frac{P}{A} \sin \theta \cdot \cos \theta \longrightarrow \theta = \frac{\pi}{4} \quad \tau'_{max} = \frac{\sigma_x}{2}$$

10

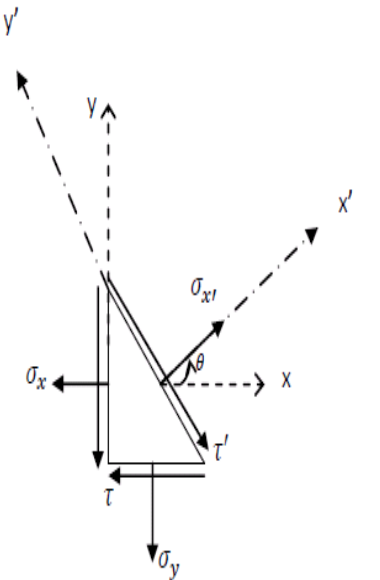
• بررسی تنش های مسطحه (Plain Stress)



11



12



13

حال رابطه های را بازنویسی می کنیم:

$$\sigma_{x'} = \frac{\sigma_x + \sigma_y}{2} + \frac{\sigma_x - \sigma_y}{2} \cos 2\theta + \tau_{xy} \sin 2\theta$$

$$\tau' = \frac{\sigma_x - \sigma_y}{2} \sin 2\theta - \tau_{xy} \cos 2\theta$$

برای بدست آوردن $\sigma_{y'}, \theta$, را با $90^\circ - \theta$ جایگزین می کنیم:

$$\sigma_{y'} = \frac{\sigma_x + \sigma_y}{2} - \frac{\sigma_x - \sigma_y}{2} \cos 2\theta - \tau_{xy} \sin 2\theta$$

بنابراین برای حالتی که $\tau_{xy} = 0$ است:

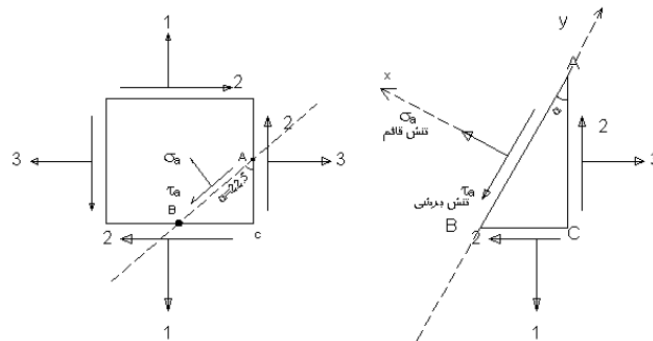
$$\sigma_{x'} = \frac{\sigma_x + \sigma_y}{2} + \frac{\sigma_x - \sigma_y}{2} \cos 2\theta$$

$$\tau' = \frac{\sigma_x - \sigma_y}{2} \sin 2\theta$$

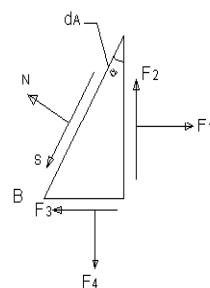
14

مثال) مطلوب است تعیین تنش هایی که باید در روی سطح AB از بُزه مثلثی اثر کنند تا جز

کوپک در تعادل باقی بماند.



15



$$F_1 = 3 \cos \alpha \quad F_2 = 2 \cos \alpha \quad F_3 = 2 \sin \alpha \quad F_4 = 1 \sin \alpha$$

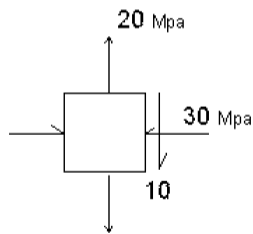
$$\sum \vec{F}x(Fn) = 0 \quad N = F_1 \cos \alpha - F_2 \sin \alpha - F_3 \cos \alpha + F_4 \sin \alpha \Rightarrow N = 1.29 \text{ N}$$

$$\sum F_s = 0 \quad S = F_1 \sin \alpha + F_2 \cos \alpha - F_3 \sin \alpha - F_4 \cos \alpha \Rightarrow S = 2.12N$$

$$\sigma_x = 1.29N \quad \tau_x = 2.12N$$

16

مثال) تنش در $\theta = 60^\circ$ بحسب آورید.



17

$$\sigma_x = -30 \quad \sigma_{x'} = \frac{\sigma_x + \sigma_y}{2} + \frac{\sigma_x - \sigma_y}{2} \cos 2\theta + \tau_{xy} \sin 2\theta$$

$$\sigma_y = +20$$

$$\tau_{xy} = -10 \quad \sigma_{x'} = \frac{-30 + 20}{2} + \frac{-30 - 20}{2} \cos 120 - 10 \sin 120 = \frac{N}{mm^2} 2$$

$$\theta = 60^\circ$$

$$\sigma_{y'} =$$

18

تنشهای (min,Max) (اصلی)

تنشهای ماقزیموم و مینیموم را تنشهای اصلی گویند.

به ازاء په مقدار θ ، σ_x ماقزیموم می شود.

تنش
تنش

$$\sigma_x = \frac{\sigma_x + \sigma_y}{2} + \frac{\sigma_x - \sigma_y}{2} \cos 2\theta + \tau_{xy} \sin 2\theta$$

اگر از (ابطه (I)) نسبت به θ مثبت بگیریم و نتیجه هاصل را مساوی صفر قرار دهیم تنشهای

اصلی (min,Max) به دست می آیند.

$$\frac{d\sigma_x}{d\theta} = -\frac{\sigma_x - \sigma_y}{2} 2 \sin 2\theta + 2\tau_{xy} \cos 2\theta = 0$$

$$\tan 2\theta_p = \frac{\tau_{xy}}{\frac{(\sigma_x - \sigma_y)}{2}} \begin{cases} 2\theta'_1 \\ 2\theta''_1 = 180 + 2\theta'_1 \end{cases}$$

$$\begin{cases} \theta' = \theta \\ \theta'' = 90 + \theta'_1 \end{cases} \Rightarrow \text{تنش ماقزیموم و مینیموم با یکدیگر } 90^\circ \text{ اختلاف دارند.}$$

(صفمات تنشها برهم عمودند).

تنشهای ماقزیموم و مینیموم را تنشهای اصلی گویند.

تنشهای اصلی

$$\sigma_x = \sigma_1$$

Max

$$\sigma_y = \sigma_2$$

Min

$$\frac{d\sigma_x}{d\theta} = -\frac{\sigma_x - \sigma_y}{2} 2 \sin 2\theta + 2\tau_{xy} \cos 2\theta = 0$$

$$\tan 2\theta_p = \frac{\tau_{xy}}{\frac{(\sigma_x - \sigma_y)}{2}} \begin{cases} 2\theta'_1 \\ 2\theta''_1 = 180 + 2\theta'_1 \end{cases}$$

$$\tan 2\theta_p = \frac{\tau_{xy}}{\frac{(\sigma_x - \sigma_y)}{2}}$$

$$\cos 2\theta = \frac{\frac{(\sigma_x - \sigma_y)}{2}}{\sqrt{\left(\frac{\sigma_x - \sigma_y}{2}\right)^2 + \tau_{xy}^2}} \quad (\text{II})$$

$$\sin 2\theta = \frac{\tau_{xy}}{\sqrt{\left(\frac{\sigma_x - \sigma_y}{2}\right)^2 + \tau_{xy}^2}} \quad (\text{I})$$

با هایگزاری (وابط I و II و د) (1) و (3) داریم.

$$\sigma_y = \frac{\sigma_x + \sigma_y}{2} - \frac{\sigma_x - \sigma_y}{2} \cos 2\theta - \tau_{xy} \sin 2\theta$$

$$(\sigma_x)_{\min}^{\max} = \sigma_1 \quad \text{و} \quad \sigma_2 = \frac{\sigma_x + \sigma_y}{2} \pm \sqrt{\left(\frac{\sigma_x - \sigma_y}{2}\right)^2 + \tau_{xy}^2}$$

اگر زاویه نداشته باشیم از این رابطه استفاده می کنیم.

حداکثر تنشهای برشی



$$\tau_{x'y'} = -\frac{\sigma_x - \sigma_y}{2} \sin 2\theta + \tau_{xy} \cos 2\theta \quad (2)$$

اگر از رابطه (2) نسبت به θ ، مشتق بگیریم و مقدار مشتق را مساوی صفر قراردهیم.

$$\frac{d\tau_{x'y'}}{d\theta} = 0 \Rightarrow$$

$$\tan 2\theta = -\frac{\frac{(\sigma_x - \sigma_y)}{2}}{\tau_{xy}} = -\frac{\sigma_x - \sigma_y}{2\tau_{xy}}$$

زاویه بین صفحات تنش برشی مداکث‌بیان مدقائق با صفحات تنشهای اصلی مساوی ۴۵ درجه می باشد.

$$\left\{ \begin{array}{l} \tan 2\theta_s = -\frac{\sigma_x - \sigma_y}{2\tau_{xy}} \\ \tan 2\theta_p = \frac{\tau_{xy}}{\frac{(\sigma_x - \sigma_y)}{2}} \end{array} \right.$$

$$\tau_{\min}^{\max} = \pm \sqrt{\left(\frac{\sigma_x - \sigma_y}{2}\right)^2 + \tau_{xy}^2} \quad (3)$$

تنش‌های قائمی که در (وی) صفحات تنش‌های برشی مداکث عمل می کنند برابرند با:

$$\sigma_{ave} = \sigma' = \frac{\sigma_x + \sigma_y}{2}$$

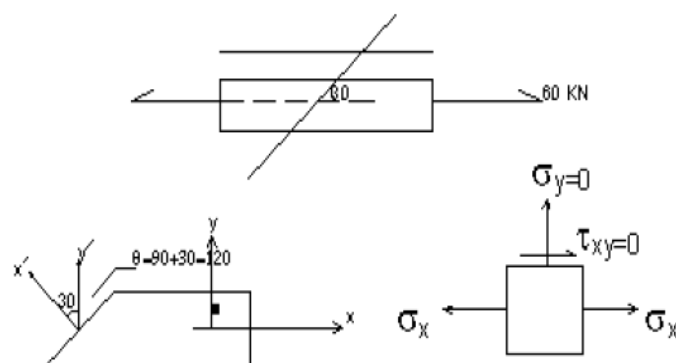
$$\left. \begin{array}{l}
 \sigma_{x'} = \frac{\sigma_x + \sigma_y}{2} + \frac{\sigma_x - \sigma_y}{2} \cos 2\theta + \tau_{xy} \sin 2\theta \\
 \sigma_{y'} = \frac{\sigma_x + \sigma_y}{2} - \frac{\sigma_x - \sigma_y}{2} \cos 2\theta - \tau_{xy} \sin 2\theta \\
 \tau_{x'y'} = -\frac{\sigma_x - \sigma_y}{2} \sin 2\theta + \tau_{xy} \cos 2\theta
 \end{array} \right\}$$

$$\left. \begin{array}{l}
 \sigma_{1,2} = \frac{\sigma_x + \sigma_y}{2} \pm \sqrt{\left(\frac{\sigma_x - \sigma_y}{2}\right)^2 + \tau_{xy}^2} \\
 \tau_{\max} = \sqrt{\left(\frac{\sigma_x - \sigma_y}{2}\right)^2 + \tau_{xy}^2}
 \end{array} \right\}
 \quad \left. \begin{array}{l}
 \tan 2\theta_p = \frac{\tau_{xy}}{(\sigma_x - \sigma_y)/2} \\
 \tan 2\theta_s = -\frac{\sigma_x - \sigma_y}{2\tau_{xy}}
 \end{array} \right\}$$

مثال) میله ای به سطح مقطع 850mm^2 , تمت اثر نیروی کششی 60KN قرار گرفته است.

الف) تنش عمودی و برشی را در روی صفحه ای با زاویه 30° نسبت به محور میله پیدا کنید.

ب) ماکزیمم تنش برشی چقدر است.



(الف) مل)

$$\theta = 120 = 90 + 30 \Rightarrow 2\theta = 240$$

اگر بگویند نسبت به دستگاه مختصات ، صفحه ای ۳۰° درجه دوران داده ایم در آن موقع

$$\text{است. } \theta = 30^\circ$$

$$\sigma_x = \frac{P}{A} = \frac{60 \times 10^3}{850 \text{ mm}^2} = 70.6 \text{ N/mm}^2 \leftarrow$$

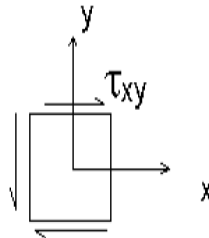
$$\sigma_{x'} = \frac{\frac{p}{2} + \frac{p}{2}}{2} + \frac{\frac{p}{2} - \frac{p}{2}}{2} \cos 2\theta + \tau_{xy} \sin 2\theta = 17.65 \text{ عمودی}$$

$$\tau_{xy} = -\frac{\frac{p}{2} - \frac{p}{2}}{2} \sin 2\theta + \tau_{xy} \cos 2\theta = 30.6 \text{ N/mm}^2 \text{ (برش)}$$

$$\tau_{max} = \sqrt{\left(\frac{\sigma_x - \sigma_y}{2}\right)^2 + \tau_{xy}^2}$$

$$\tau_{max} = \frac{70.6}{2} = 33.3 \text{ N/mm}^2$$

مثال) جهات و مقدار تنش های اصلی را به دست آورید.



(مل

$$\sigma_x = \sigma_y = 0$$

در اینجا σ_x و σ_y برابر صفرند و فقط تنش برشی داریم.

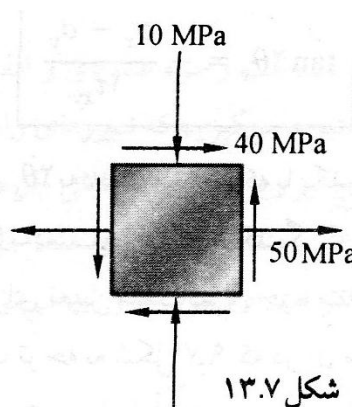
$$\sigma_1, \sigma_2 = \frac{\sigma_x + \sigma_y}{2} \pm \sqrt{\left(\frac{\sigma_x + \sigma_y}{2}\right)^2 + \tau_{xy}^2} \Rightarrow \sigma_1, \sigma_2 = \pm \tau_{xy} \rightarrow \begin{cases} \sigma_1 = \tau_{xy} \\ \sigma_2 = -\tau_{xy} \end{cases}$$

$$\tan 2\theta = \frac{\tau_{xy}}{\frac{\sigma_x - \sigma_y}{2}} = \infty = \tan 90^\circ \quad \begin{cases} 2\theta_1' = 90 \rightarrow \theta_1' = 45^\circ \\ 2\theta_1'' = 270^\circ \rightarrow \theta_1'' = 135^\circ \end{cases}$$

$$\sigma_x = \frac{\sigma_x + \sigma_y}{2} + \frac{\sigma_x - \sigma_y}{2} \cos 2\theta + \tau_{xy} \sin 2\theta$$

$$\sigma_x = \tau_{xy} \sin 90^\circ = +\tau_{xy}$$

در حالت تنش صفحه‌ای نشان داده شده در شکل ۱۳.۷، مطلوب است (الف) صفحه‌های اصلی، (ب) تنشهای اصلی، (ج) تنش برشی ماکزیمم و تنش عمودی متناظر با آن.



الف. صفحه‌های اصلی. با رعایت علامتهای قراردادی معمول، مؤلفه‌های تنش

برابرند با

$$\sigma_x = +50 \text{ MPa} \quad \sigma_y = -10 \text{ MPa} \quad \tau_{xy} = +40 \text{ MPa}$$

با قراردادن آنها در معادله (۱۲.۷)، داریم

$$\tan 2\theta_p = \frac{2\tau_{xy}}{\sigma_x - \sigma_y} = \frac{2(+40)}{50 - (-10)} = \frac{80}{60} = \frac{4}{3}$$

$$2\theta_p = 53.1^\circ \quad 180^\circ + 53.1^\circ = 233.1^\circ$$

$$\theta_p = 26.6^\circ \quad 116^\circ$$

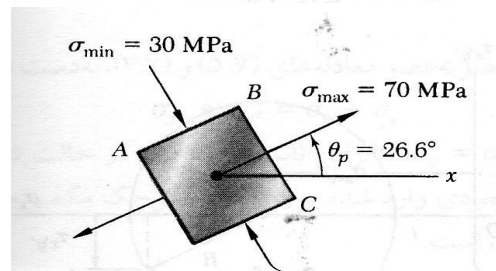
ب. تنشهای اصلی. فرمول (۱۴.۷) به دست می‌دهد

$$\sigma_{\max, \min} = \frac{\sigma_x + \sigma_y}{2} \pm \sqrt{\left(\frac{\sigma_x - \sigma_y}{2}\right)^2 + \tau_{xy}^2} = ۲۰ \pm \sqrt{(۳۰)^2 + (۴۰)^2}$$

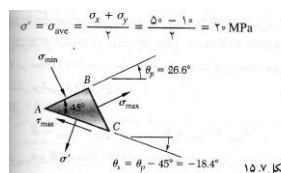
$$\sigma_{\max} = ۲۰ + ۵۰ = ۷۰ \text{ MPa} \quad \sigma_{\min} = ۲۰ - ۵۰ = -۳۰ \text{ MPa}$$

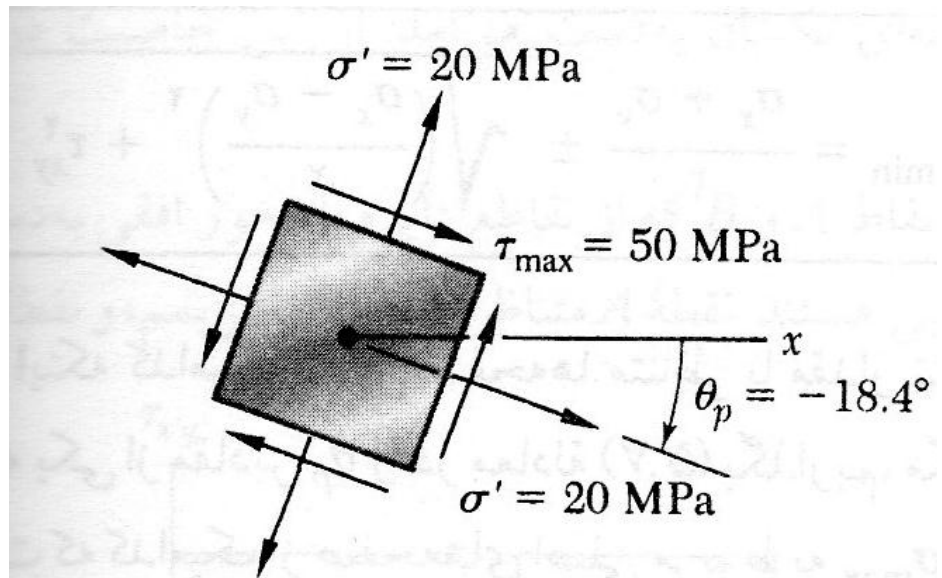
$$\sigma_{x'} = \frac{\sigma_x - \sigma_y}{2} + \frac{\sigma_x + \sigma_y}{2} \cos ۵۳.۱^\circ + \tau_{xy} \sin ۵۳.۱^\circ$$

$$= ۲۰ + ۳۰ \cos ۵۳.۱^\circ + ۴۰ \sin ۵۳.۱^\circ = ۷۰ \text{ MPa} = \sigma_{\max}$$



$$\tau_{max} = \sqrt{\left(\frac{\sigma_x - \sigma_y}{2}\right)^2 + \tau_{xy}^2} = \sqrt{(۳۰)^2 + (۴۰)^2} = ۵۰ \text{ MPa}$$

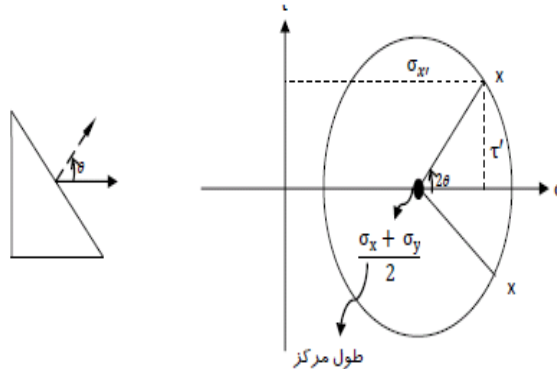




دایره مور

میتوان تنش ها را بر روی دایره مور ترسیم کرد.

$$\left\{ \begin{array}{l} X = X_c + R \cos \theta \\ Y = Y_c + R \sin \theta \end{array} \right. \quad \text{با مقایسه معادلات دایره ،}$$



35

دقت شود که هر نقطه‌ای روی دایره نظیر یک سطح است و عرض از مبدأ دایره همواره صفر است

$$\sigma_{x'} + \sigma_{y'} + \sigma_x + \sigma_y$$

با دقت در معادله دایره می‌توان رابطه‌ای بین معادله تنش‌ها و دایره یافت که در نهایت داریم:

$$(\sigma_{x'} - \frac{\sigma_x + \sigma_y}{2})^2 + \tau_{x'y'}^2 = (\frac{\sigma_x - \sigma_y}{2})^2 + \tau_{xy}^2$$

که با در نظر گرفتن

$$\sigma_{ave} = \frac{\sigma_x + \sigma_y}{2}, \quad R = \sqrt{(\frac{\sigma_x - \sigma_y}{2})^2 + \tau_{xy}^2}$$

رابطه دایره را می‌توان به صورت زیر نوشت:

$$(\sigma_{x'} - \sigma_{ave})^2 + \tau_{x'y'}^2 = R^2$$

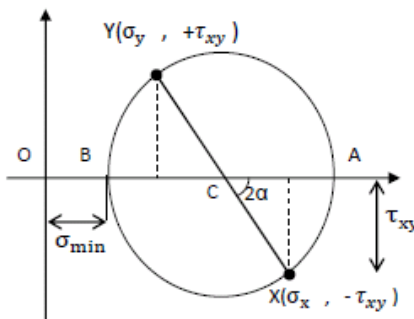
- روابط دیگری که از این فرمول بدست می‌آیند:

$$\sigma_{max} = \sigma_{ave} + R \quad \sigma_{min} = \sigma_{ave} - R$$

$$\tau_{max} = \sqrt{(\frac{\sigma_x - \sigma_y}{2})^2 + \tau_{xy}^2} \quad \tau_{min} = -\sqrt{(\frac{\sigma_x - \sigma_y}{2})^2 + \tau_{xy}^2}$$

36

اگر تنش برشی مثبت باشد نقطه X زیر محور σ و اگر منفی باشد بالای آن قرار می‌گیرد. سر دیگر قطری که X روی آن است، محل نقطه Y می‌باشد زاویه‌ای که این قطر با محور افقی می‌سازد 2α با دوباره زاویه دوران المان است.



37

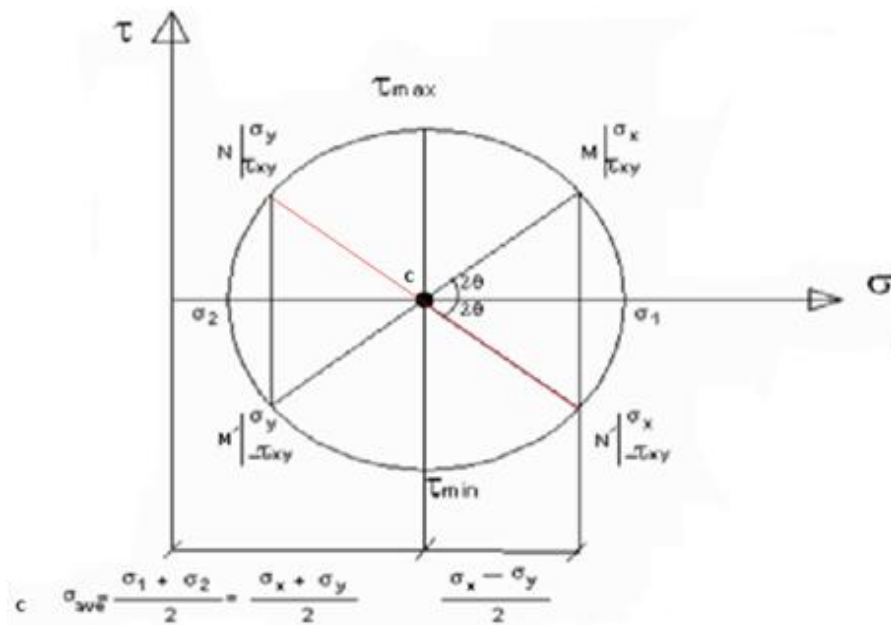
$$1- \quad \sigma_{ave} = \frac{\sigma_x + \sigma_y}{2} \quad \text{وقتی } \sigma_x \neq 0 \text{ باشد}$$

$$2- \quad R = \tau_{max} = OM = ON' \Rightarrow R = \sqrt{\left(\frac{\sigma_x - \sigma_y}{2}\right)^2 + \tau_x^2}$$

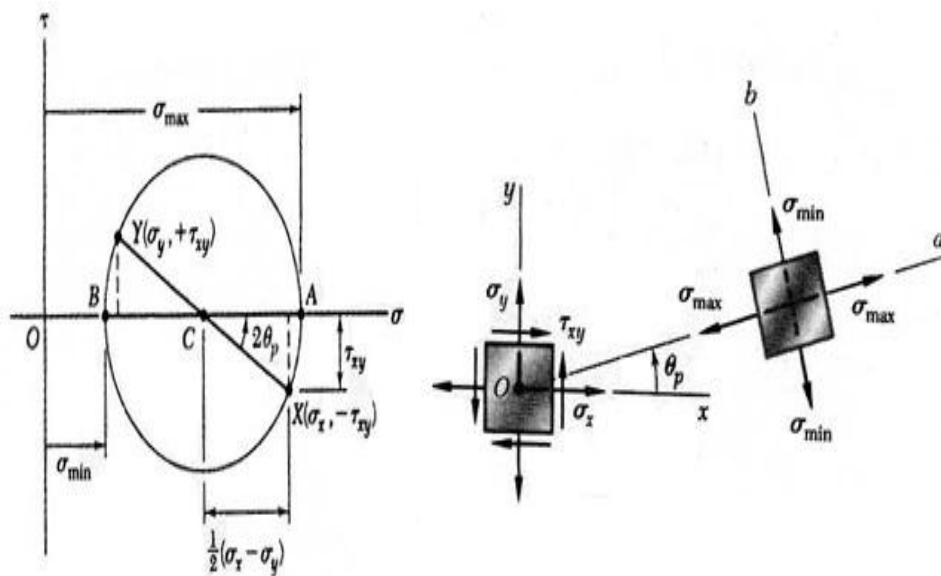
$$\sigma_1 = \sigma_{ave} + R \rightarrow \text{ماکریم}$$

$$\sigma_2 = \sigma_{ave} - R \rightarrow \text{میلیم}$$

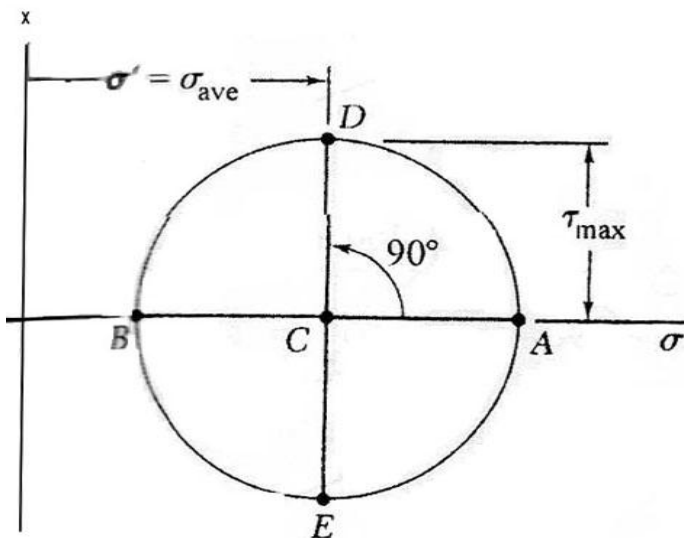
38



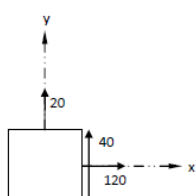
39



40

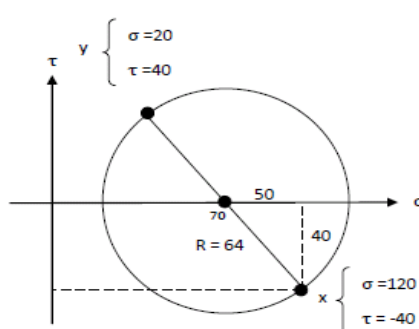


41

مثال ۱

الف) ترسیم دایره مورالمان رویرو

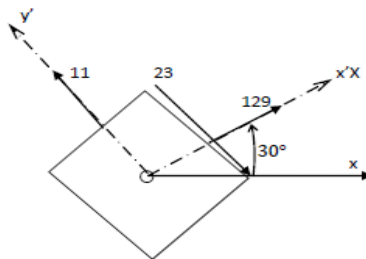
با در دست داشتن تنش های عمودی و برشی، که در این مثال همگی مثبت اند، برای دایره را رسم می نماییم:



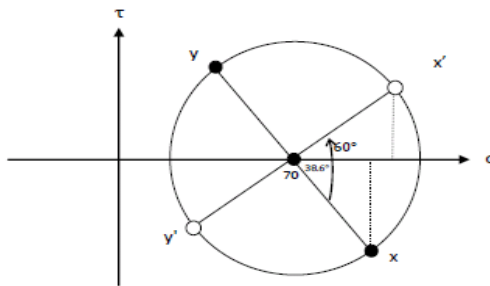
42

به منظور تعیین علامت τ دقت شود که پاد ساعتگرد نظریه عدد منی در دایره می باشد و بالعکس.

ب) حال اگر سطح را ۳۰ درجه دوران دهیم (مطابق شکل)، تنش های جدید را محاسبه کنید.



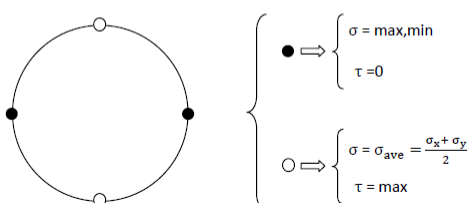
زاویه دوران المان (α)، همان نصف زاویه دوران در دایره است.



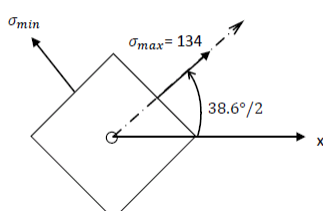
43

• سطوح و محور اصلی

صفحه هایی که در آنها تنش های برشی برابر با صفر می باشند صفحه های اصلی نام دارند. تنش های برشی در بالاترین نقطه دایره بیشترین و در پایینترین نقطه آن کمترین مقدار ممکن را دارند.



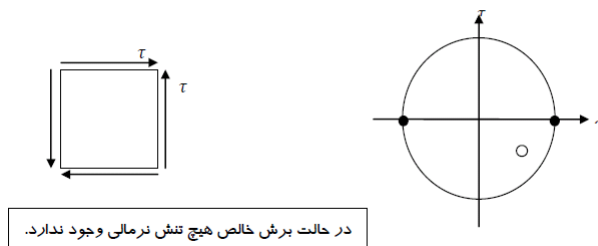
سطوح و تنش های اصلی در مثال قبل :



44

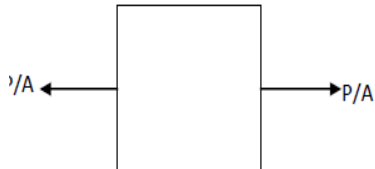
بررسی دایره های خاص

1- برش خالص (مرکز دایره روی مبدأ)

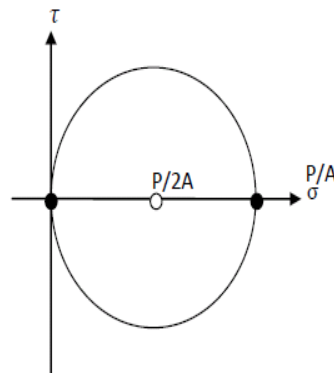


45

2- تنش تک محوری (در حالتی است که عنصر تحت کشش یا فشار است)

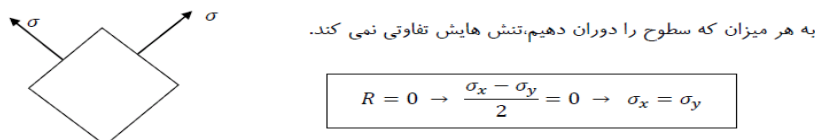
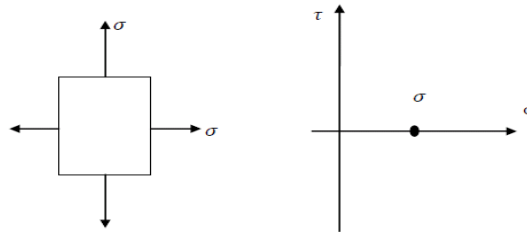


$$\left\{ \begin{array}{l} \tau_{Max} = \frac{P}{2A} \quad \text{و} \quad \tau_{Min} = 0 \\ \sigma_{Max} = \frac{P}{A} \quad \text{و} \quad \sigma_{Min} = 0 \end{array} \right.$$



46

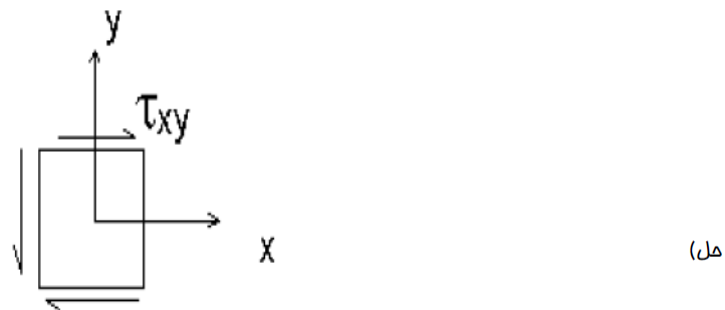
3- تنش هیدرواستاتیک (این حالت مربوط به زمانی است که روی صفحات المان تنش نرمالی برابر و هم جهت وارد می شود. (دایره ای که شعاعش صفر است)



$$\left. \begin{array}{l} R = \frac{\sigma_x - \sigma_y}{2} \\ 2\sigma_c = \sigma_x + \sigma_y \end{array} \right\} \Rightarrow \left. \begin{array}{l} \sigma_x = \sigma_c + R\cos 2\theta \\ \sigma_y = \sigma_c - R\sin 2\theta \end{array} \right.$$

47

مثال) جهات و مقدار تنش های اصلی را به دست آورید.



$$\sigma_x = \sigma_y = 0$$

در اینجا σ_x و σ_y برابر صفرند و فقط تنش برشی داریم.

48

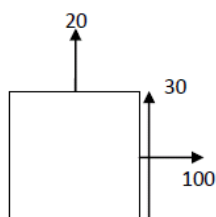
$$\sigma_1, \sigma_2 = \frac{\sigma_x + \sigma_y}{2} \pm \sqrt{\left(\frac{\sigma_x - \sigma_y}{2}\right)^2 + \tau_{xy}^2} \Rightarrow \sigma_1, \sigma_2 = \pm \tau_{xy} \rightarrow \begin{cases} \sigma_1 = \tau_{xy} \\ \sigma_2 = -\tau_{xy} \end{cases}$$

$$\tan 2\theta = \frac{\tau_{xy}}{\frac{\sigma_x - \sigma_y}{2}} = \infty = \tan 90^\circ \quad \left\{ \begin{array}{l} 2\theta_1' = 90 \rightarrow \theta_1' = 45^\circ \\ 2\theta_1'' = 270^\circ \rightarrow \theta_1'' = 135^\circ \end{array} \right.$$

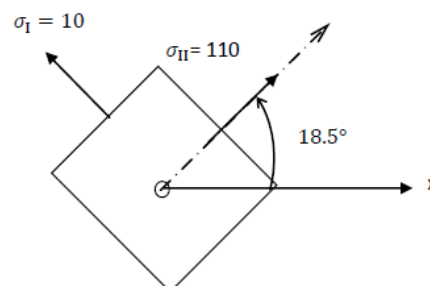
$$\sigma_x' = \frac{\sigma_x + \sigma_y}{2} + \frac{\sigma_x - \sigma_y}{2} \cos 2\theta + \tau_{xy} \sin 2\theta$$

$$\sigma_x' = \tau_{xy} \sin 90^\circ = +\tau_{xy}$$

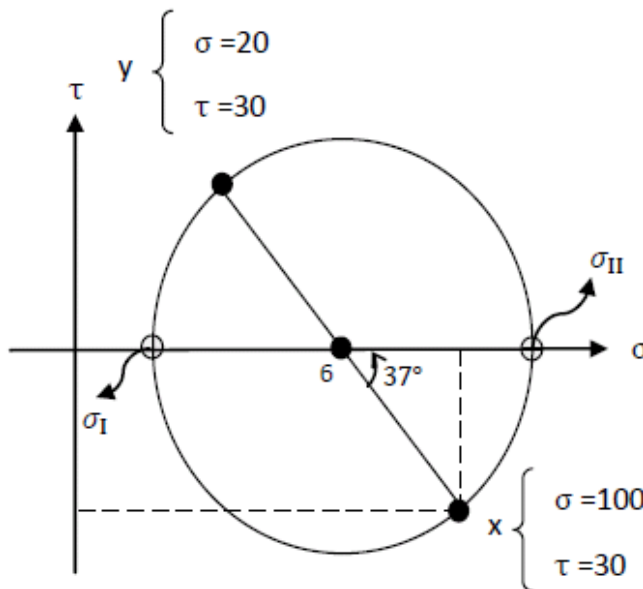
49



مثال ۲
تنش های اصلی را برای سطح زیر را باید.



50



51

برای پاسخ به این پرسش که اگر تنש های چند محوری داشته باشیم یا تنش های عمودی و برشی هم زمان اعمال شوند، چه زمانی تسلیم رخ می دهد؟ فرضیه های زیادی وجود دارد:

▪ فرضیه تنش اصلی ماکزیمم

هر گاه تنش اصلی به میزان تنش مجاز برسد، تسلیم رخ می دهد.

▪ فرضیه تنش برشی ماکزیمم

هر گاه تنش برشی به میزان تنش مجاز برسد، تسلیم رخ می دهد.

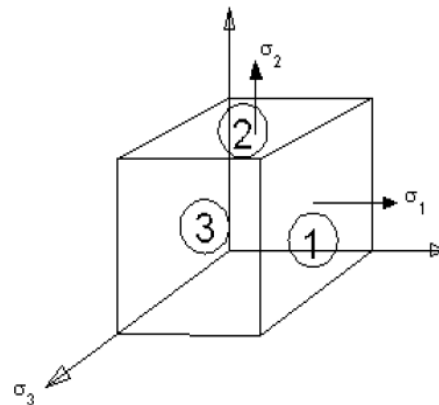
▪ فرضیه انرژی

هر گاه انرژی ذخیره شده به حد معینی برسد، تسلیم رخ می دهد.

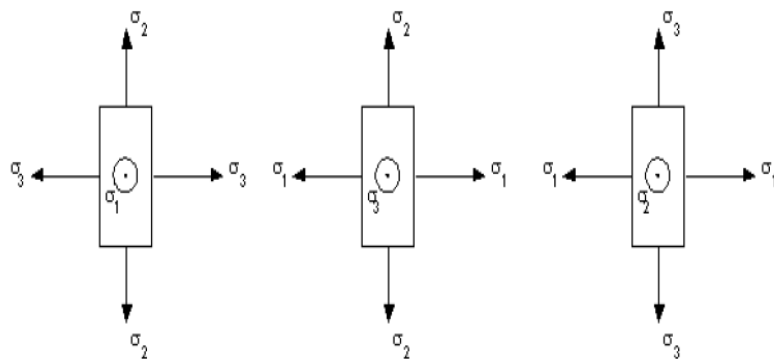
◀ معمولا برای مصالح ترد از فرضیه تنش برشی ماکزیمم و برای مصالح نرم از فرضیه انرژی استفاده می شود.

52

حالت سه بعدی تنش

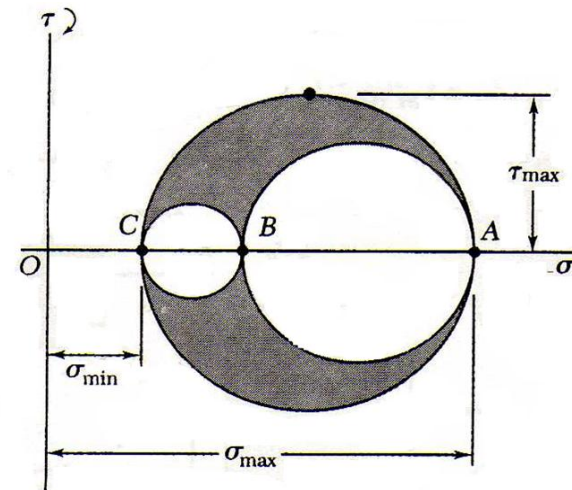


53



$$\sigma_1 > \sigma_2 > \sigma_3 : \text{داد} | \text{فرا}$$

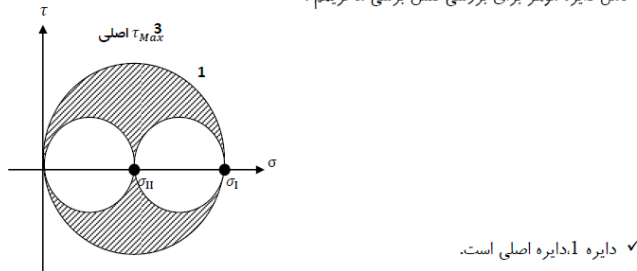
54



$$\tau_{\max} = \frac{1}{2} |\sigma_{\max} - \sigma_{\min}|$$

55

شکل کامل دایره موهر برای بررسی تنش برشی هاکزیم:



✓ دایره ۱. دایره اصلی است.

✓ دایره ۲. دایره بین نقطه صفر و دایره ۳. دایره بین نقطه صفر و σ_I است.

طبق این دایره هرگاه سطح موردنظر ما حاصل از برش موازی محور ها باشد روی دایره حرکت می کنیم ولی نقاط هاشور زده بیانگر مکان هندسی تمام سطوح مورب ممکن که بتوان برش زده می باشد.

56

نکات:

۱. نقطه صفر دایره بیانگر سطح Z است که خود یک سطح اصلی می باشد. دقت شود که هر سطح

که تنش برشی در آن صفر باشد، یک سطح اصلی محسوب می شود.

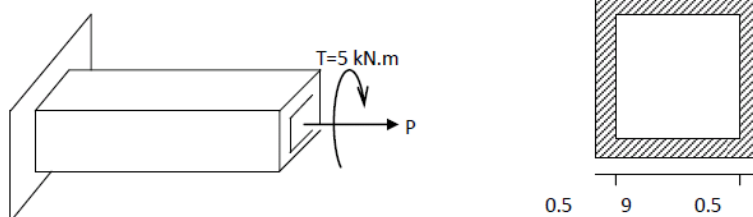
2

۳. دو لیر ۲ و ۳، حاصل از دوران حول دو سطح اصلی دیگر است.

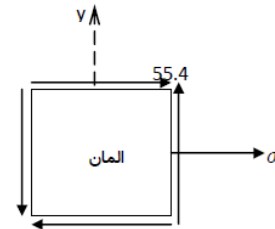
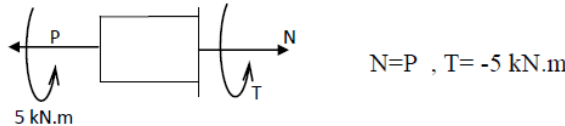
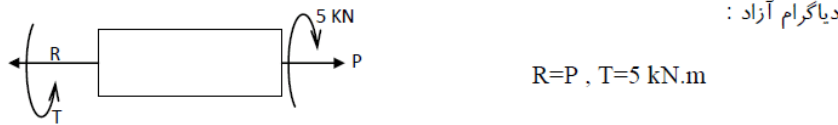
57

مثال 3

بار P را طوری تعیین کنید، که بر اساس فرضیه برش ماکریم، تنش برشی ماکریم از 80 MPa تجاوز نکند



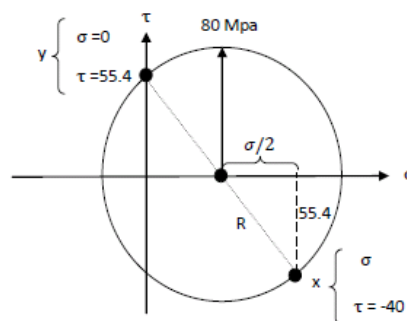
58



59

$$\sigma = \frac{P}{A} \rightarrow \sigma = \frac{P}{19 * 10^{-4}}$$

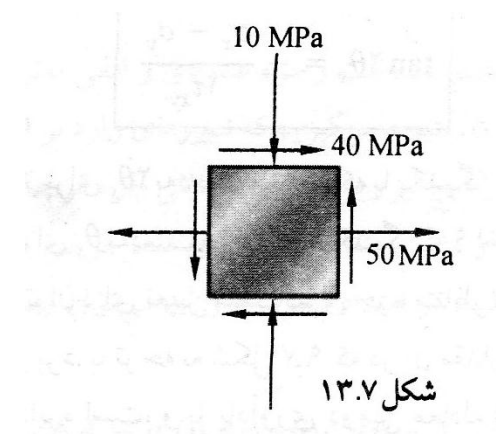
$$f = \tau t \rightarrow \tau = \frac{T}{2At} = \frac{5 * 10^3}{2 * (9.5 * 9.5) * 10^{-4} * 0.5} = 55.4 \text{ MPa}$$



$$R = \sqrt{\left(\frac{\sigma}{2}\right)^2 + (55.4)^2} \rightarrow R = \tau_{Max} = 80 \text{ MPa} \rightarrow \sigma = 115.43 \text{ MPa}$$

60 $\sigma = \frac{P}{A} \rightarrow P = 219 \text{ kN}$

در حالت تنش صفحه‌ای نشان داده شده در شکل ۱۳.۷، مطلوب است (الف) صفحه‌های اصلی، (ب) تنشهای اصلی، (ج) تنش برشی ماکزیمم و تنش عمودی متناظر با آن.



61

الف. صفحه‌های اصلی. با رعایت علامتهای قراردادی معمول، مؤلفه‌های تنش

برابرند با

$$\sigma_x = +50 \text{ MPa} \quad \sigma_y = -10 \text{ MPa} \quad \tau_{xy} = +40 \text{ MPa}$$

با قراردادن آنها در معادله (۱۲.۷)، داریم

$$\tan 2\theta_p = \frac{2\tau_{xy}}{\sigma_x - \sigma_y} = \frac{2(+40)}{50 - (-10)} = \frac{80}{60} = \frac{4}{3}$$

$$2\theta_p = 53.1^\circ \quad \text{و} \quad 180^\circ + 53.1^\circ = 233.1^\circ$$

$$\theta_p = 26.6^\circ \quad \text{و} \quad 116.6^\circ$$

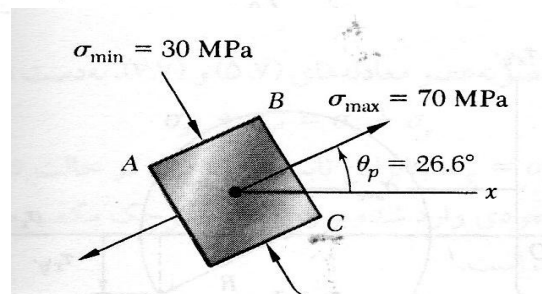
62

ب. تنشهای اصلی. فرمول (۱۴.۷) به دست می‌دهد

$$\sigma_{\max, \min} = \frac{\sigma_x + \sigma_y}{2} \pm \sqrt{\left(\frac{\sigma_x - \sigma_y}{2}\right)^2 + \tau_{xy}^2} = ۲۰ \pm \sqrt{(۳۰)^2 + (۴۰)^2}$$

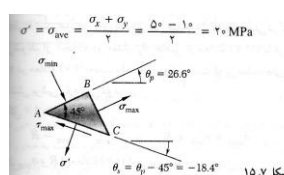
$$\sigma_{\max} = ۲۰ + ۵۰ = ۷۰ \text{ MPa} \quad \sigma_{\min} = ۲۰ - ۵۰ = -۳۰ \text{ MPa}$$

$$\begin{aligned} \sigma_{x'} &= \frac{۵۰ - ۱۰}{2} + \frac{۵۰ + ۱۰}{2} \cos ۵۳.۱^\circ + ۴۰ \sin ۵۳.۱^\circ \\ &= ۲۰ + ۳۰ \cos ۵۳.۱^\circ + ۴۰ \sin ۵۳.۱^\circ = ۷۰ \text{ MPa} = \sigma_{\max} \end{aligned}$$

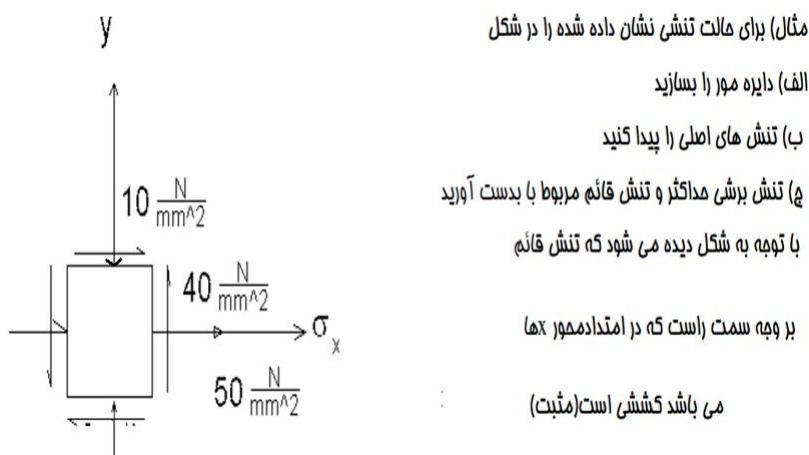
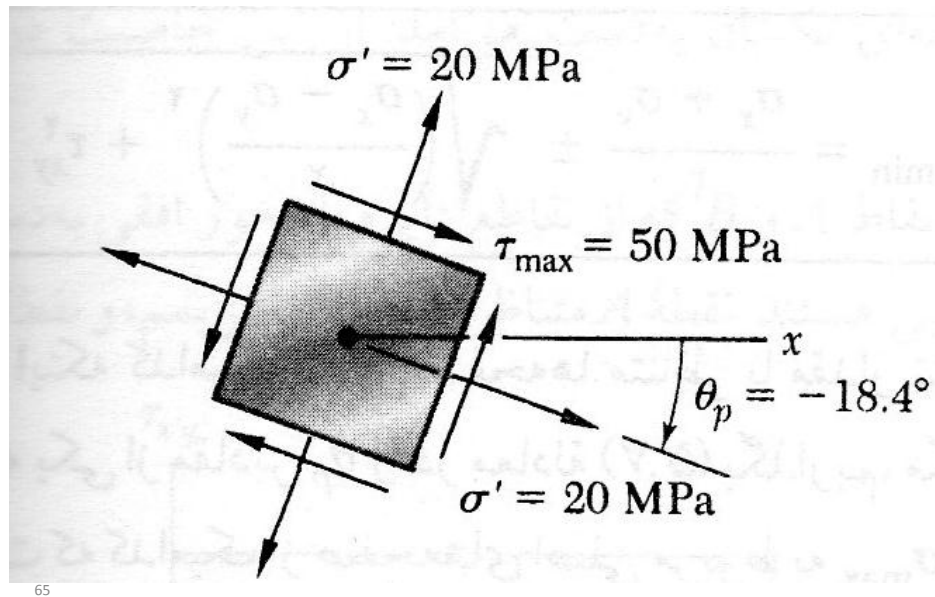


63

$$\tau_{\max} = \sqrt{\left(\frac{\sigma_x - \sigma_y}{2}\right)^2 + \tau_{xy}^2} = \sqrt{(۳۰)^2 + (۴۰)^2} = ۵۰ \text{ MPa}$$

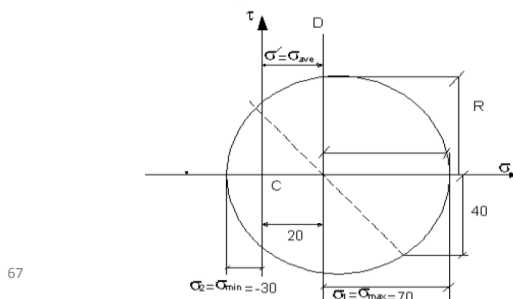


64



$$\begin{array}{l|l} X & \left| \begin{array}{l} \sigma_x = 50 \\ -\tau_{xy} = -40 \end{array} \right. \\ \hline Y & \left| \begin{array}{l} \sigma_y = -10 \\ \tau_{xy'} = 40 \end{array} \right. \end{array}$$

- تنش برشی مؤثر بر همان وجه به سمت بالا تمایل دوران به جزء سطح در خلاف عقربه های ساعت دارد (مثبت) در نتیجه \times با مختصات () دو طرف راست محور قائم و زیر محور افقی میگیرد.



$$\sigma_{ave} = \frac{\sigma_x + \sigma_y}{2} = \frac{50 - 10}{2} = 20 \quad \frac{N}{mm^2}$$

$$R = \sqrt{\left(\frac{\sigma_x - \sigma_y}{2}\right)^2 + \tau_{xy}^2} = \sqrt{\left(\frac{50 - (-10)}{2}\right)^2 + 40^2} \Rightarrow$$

$$R = 50 \frac{N}{mm^2}$$

$$R = \sqrt{30^2 + 40^2} \Rightarrow R = 50$$

$$\sigma_1 = \sigma_{max} = \sigma_{ave} + R = 20 + 50 = 70 \quad \frac{N}{mm^2}$$

$$\sigma_2 = \sigma_{\min} = \sigma_{ave} - R = 20 - 50 = -30 \frac{N}{mm^2}$$

$$\tan 2\theta = \frac{40}{30} \rightarrow \theta = 26.6^\circ$$

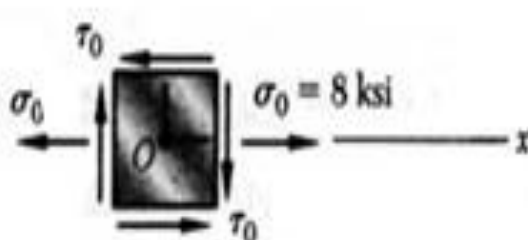
$$2\theta = 53.13$$

$$\tau_{\max} = R = 50 \frac{N}{mm^2} \quad \text{تنش برشی ماکزیمم}$$

$$\sigma' = \sigma_{ave} = 20 \frac{N}{mm^2} \quad \text{تنش قائم}$$

69

- حالتی از تنش صفحه ای داریم که تشکیل شده است از تنش کششی وارد بر سطوح عمودی و تنشهای برشی معلوم مطلوب است (الف) مقدار تنش برشی . برای آنکه بزرگترین عمودی 10 ksi (ب) تنش برشی ماکزیمم متاضر



70

• حل:

- رسم دایره مور. فرض می کنیم که تنشهای برشی در جهتهای نشان داده شده عمل می کنند در نتیجه تنش برشی . روی وجهی عمودی بر محور x تمایل به چرخاندن جزء در جهت ساعتگرد دارد و نقطه i به مختصات $8ksi$ و در بالای محور افقی است. با در نظر گرفتن یک وجه افقی مشاهده می شود که و اینکه . تمایل به چرخاندن جزء در جهت پادساعتگرد دارد؛ پس نقطه i ۷ را در فاصله i . در زیر نقطه O رسم می کنیم.

71

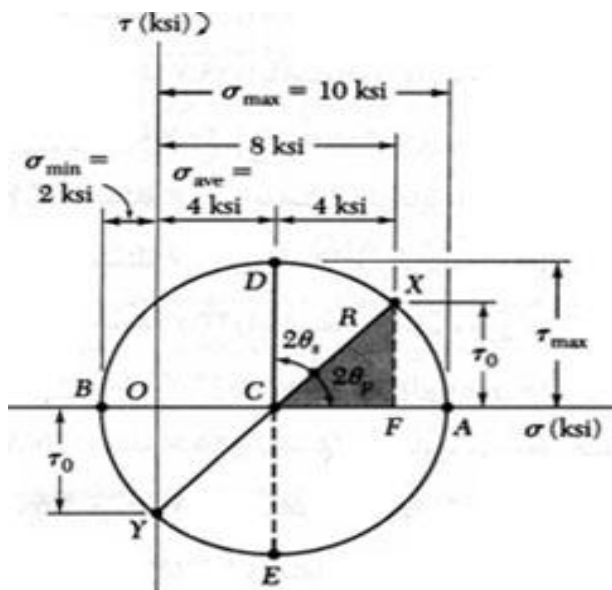
- می بینیم که طول نقطه i مرکز دایره i مور برابر است با:

- شعاع R دایره i را با مشاهده اینکه تنش عمودی مراکزیم همان طول نقطه i است معین می کنیم می نویسیم

$$R \bullet$$

$$10 \text{ ksi} = 4 \text{ ksi} + R \quad R = 6 \text{ ksi} \bullet$$

72



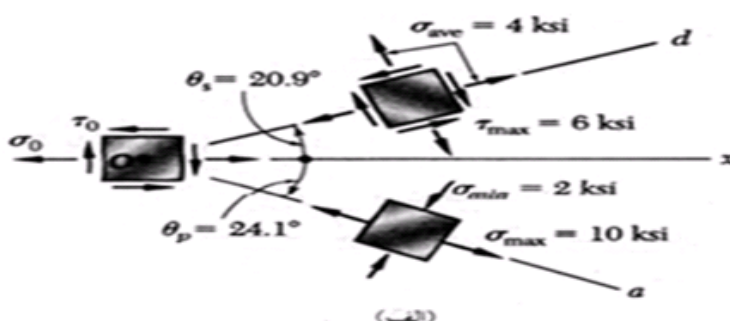
73

الف. نشط برئي τ با توجه به ملت فلم الزاوية CFX داریم

$$\cos 2\theta_p = \frac{CF}{CX} = \frac{CF}{R} = \frac{4 \text{ ksi}}{6 \text{ ksi}} \quad 2\theta_p = 48.2^\circ \quad \theta_p = 24.1^\circ$$

$$\tau = FX = R \sin 2\theta_p = (6 \text{ ksi}) \sin 48.2^\circ$$

$$\tau = 4.47 \text{ ksi}$$

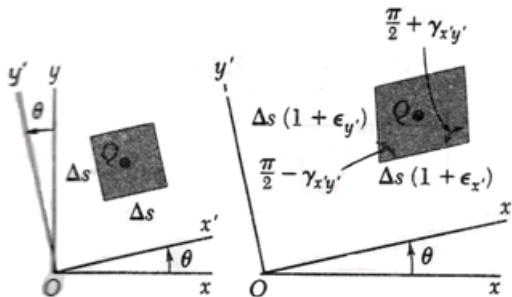


74

ب تنش برتری ماقریزم مختصات نقطه i دایره ای مور ، تنش برتری ماقریزم و تنش عمودی
متناظر را نشان می دهد

$$\tau_{\max} = R = 6 \text{ kpsi}$$

$$2\theta_s = 90^\circ - 2\theta_p = 90^\circ - 48.2^\circ = 41.8^\circ \quad \theta_x = 20.9^\circ$$



$$\epsilon_{x'} + \epsilon_{y'} = \epsilon_x + \epsilon_y$$

75

$$\epsilon_{x'} = \frac{\epsilon_x + \epsilon_y}{2} + \frac{\epsilon_x - \epsilon_y}{2} \cos 2\theta + \frac{\gamma_{xy}}{2} \sin 2\theta$$

$$\epsilon_{y'} = \frac{\epsilon_x + \epsilon_y}{2} - \frac{\epsilon_x - \epsilon_y}{2} \cos 2\theta - \frac{\gamma_{xy}}{2} \sin 2\theta$$

$$\gamma_{x'y'} = -(\epsilon_x - \epsilon_y) \sin 2\theta + \gamma_{xy} \cos 2\theta$$

$$\epsilon_{\max} = \frac{\epsilon_x + \epsilon_y}{2} + \sqrt{\left(\frac{\epsilon_x - \epsilon_y}{2}\right)^2 + \left(\frac{\gamma_{xy}}{2}\right)^2}$$

$$\epsilon_{\min} = \frac{\epsilon_x + \epsilon_y}{2} - \sqrt{\left(\frac{\epsilon_x - \epsilon_y}{2}\right)^2 + \left(\frac{\gamma_{xy}}{2}\right)^2} \implies \tan 2\theta_p = \frac{\gamma_{xy}}{\epsilon_x - \epsilon_y}$$

$$\gamma_{\max} = 2R = \sqrt{(\epsilon_x - \epsilon_y)^2 + \gamma_{xy}^2}$$

$$\epsilon_c = -\frac{\nu}{1-\nu} (\epsilon_a + \epsilon_b) = -\frac{\nu}{1-\nu} (\epsilon_x + \epsilon_y)$$

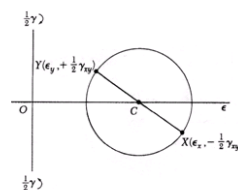
$$\gamma_{\max} = \epsilon_{\max} - \epsilon_{\min}$$

76

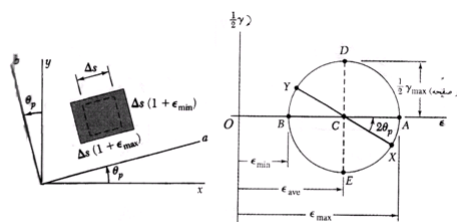
دایره‌ی مور برای کرنش صفحه‌ای

$$\begin{cases} X(\epsilon_x, -\frac{1}{\gamma}\gamma_{xy}) \\ Y(\epsilon_y, +\frac{1}{\gamma}\gamma_{xy}) \end{cases}$$

$$\epsilon_{ave} = \frac{\epsilon_x + \epsilon_y}{\gamma} \quad , \quad R = \sqrt{\left(\frac{\epsilon_x - \epsilon_y}{\gamma}\right)^2 + \left(\frac{\gamma_{xy}}{\gamma}\right)^2}$$

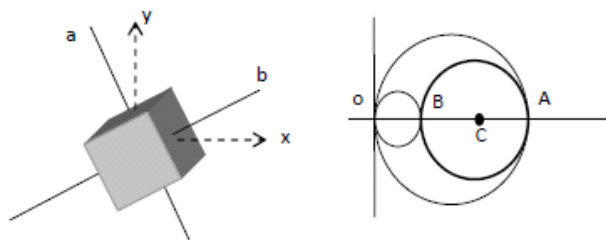


77



78

تحلیل سه بعدی تنش پس از رسم دایره مور دایره هایی به قطر OB و OA به ترتیب حاصل دوران حول محور a و b است. تنش برشی ماکریم، متناظر با بیشترین تنش برشی درین دایره ها است.



79

- حالات های کرنش زیر روی سطح ورق نازک اندازه گیری شده است. می دانیم که سطح ورق تحت تنش نیست، مطلوب است (الف) جهت و مقدار کرنشهای اصلی، (ب) ماکریم کرنش برشی در صفحه (ج) کرنش برشی ماکریم (از استفاده کنید)

$$\frac{\gamma_{xy}}{-600\mu} \quad \frac{\epsilon_y}{-480\mu} \quad \frac{\epsilon_x}{+160\mu}$$

80

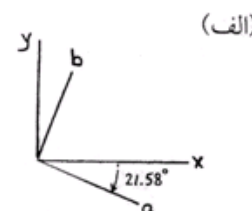
$$\varepsilon_x = +160 \mu \quad \varepsilon_y = -480 \mu \quad \gamma = -600 \mu \quad |$$

$$X: (160 \mu, 300 \mu) \quad Y: (-480 \mu, -300 \mu) \quad C: (-160 \mu, 0)$$

$$\tan 2\theta_P = \frac{\gamma_{xy}}{\varepsilon_x - \varepsilon_y} = \frac{-300}{320} = -0.937$$

$$2\theta_P = -43.15^\circ \quad \theta_P = -21.58^\circ$$

81



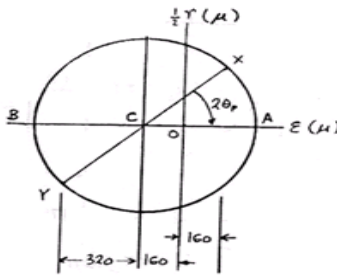
$$-21.58^\circ + 90^\circ = 68.42^\circ$$

$$\theta_a = -21.58^\circ \quad \blacktriangleleft$$

$$\theta_b = 68.42^\circ \quad \blacktriangleleft$$

$$R = \sqrt{(320 \mu)^2 + (300 \mu)^2} = 438.6 \mu$$

82



$$\varepsilon_a = \varepsilon_{ave} + R = -160 \mu + 438.6 \mu = +278.6 \mu$$

$$\varepsilon_b = \varepsilon_{ave} - R = -160 \mu - 438.6 \mu = -598.6 \mu$$

$$\frac{1}{2}\gamma_{(\max, \min)} = R$$

(+)

$$\gamma_{(\max, \min)} = 2R = 877 \mu$$

(c)

$$\varepsilon_a = -\frac{v}{1-v}(\varepsilon_a + \varepsilon_b) = -\frac{v}{1-v}(\varepsilon_x + \varepsilon_y) \Rightarrow \varepsilon_c$$

$$\varepsilon_{max} = 278.6 \mu \quad \varepsilon_{min} = -598.6 \mu$$

$$83 \quad \gamma_{max} = \varepsilon_{max} - \varepsilon_{min} = 877 \mu$$

خلاصه نصل ۳

دایره‌ی مور برای تنش

$$\sigma_{x'} = \frac{\sigma_x + \sigma_y}{2} + \frac{\sigma_x - \sigma_y}{2} \cos 2\theta + \tau_{xy} \sin 2\theta$$

$$\tau' = (\sigma_x - \sigma_y) \sin \theta \cos \theta + \tau_{xy} (\cos^2 \theta - \sin^2 \theta)$$

$$\sigma_{y'} = \frac{\sigma_x + \sigma_y}{2} - \frac{\sigma_x - \sigma_y}{2} \cos 2\theta - \tau_{xy} \sin 2\theta$$

$$\sigma_{ave} = \frac{\sigma_x + \sigma_y}{2}, R = \sqrt{\left(\frac{\sigma_x - \sigma_y}{2}\right)^2 + \tau_{xy}^2} \rightarrow (\sigma_{x'} - \sigma_{ave})^2 + \tau_{x'y'}^2 = R^2$$

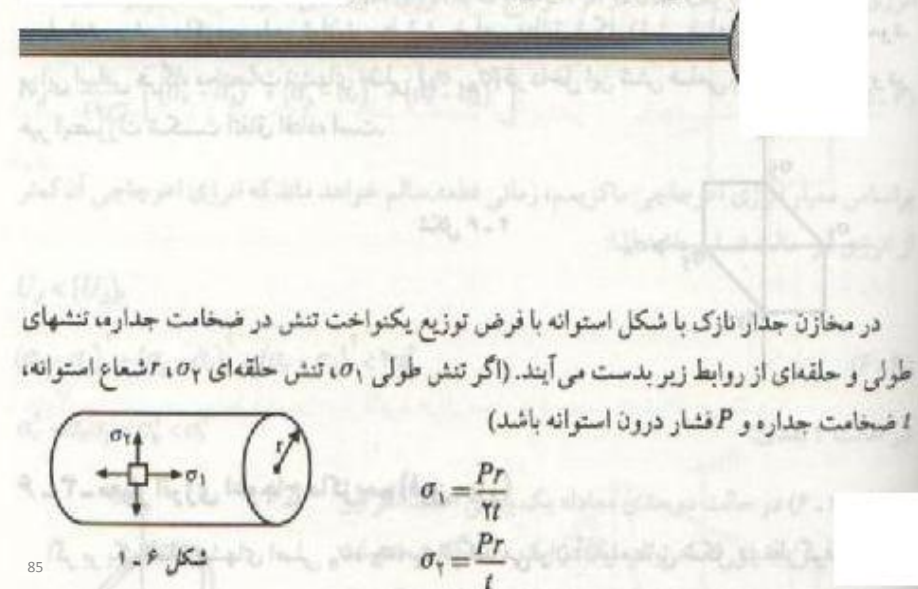
$$\sigma_{max} = \sigma_{ave} + R \quad \sigma_{min} = \sigma_{ave} - R$$

$$\tau_{max} = \sqrt{\left(\frac{\sigma_x - \sigma_y}{2}\right)^2 + \tau_{xy}^2} \quad \tau_{min} = -\sqrt{\left(\frac{\sigma_x - \sigma_y}{2}\right)^2 + \tau_{xy}^2}$$

تشن‌های اصلی، زاویه دوران المان، نصف زاویه دوران در دایره‌ی (Θ) است. در صفحه‌های اصلی تنش برپی صفر است.

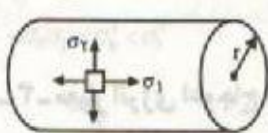
$$84 \quad \tan \theta = \frac{2\tau_{xy}}{\sigma_x - \sigma_y}, 2\alpha = \theta$$

تنش در مخازن تحت فشار



در مخازن جدار نازک با شکل استوانه با فرض توزیع یکنواخت تنش در ضخامت جداره، تنشهای طولی و حلقه‌ای از روابط زیر بدست می‌آیند. (اگر تنش طولی σ_1 ، تنش حلقه‌ای σ_2 ، شعاع استوانه،

ضخامت جداره و P فشار درون استوانه باشد)



$$\sigma_1 = \frac{Pr}{4t}$$

$$\sigma_2 = \frac{Pr}{t}$$

شکل ۶-۱

در حالت تنش مهندسی با توجه به اینکه $\sigma_3 = 0$ و با توجه به دایره موهير مربوطه، برای تنش برشی خواهیم داشت:

$$\tau_{max} = \frac{\sigma_1}{2} = \frac{Pr}{4t}$$

در مخازن جدار نازک با شکل کروی تنش طولی و حلقه‌ی تفاوتی نخواهد داشت لذا تنشهای اصلی با هم برابرند.

$$\sigma_1 = \sigma_2 = \frac{Pr}{4t}$$

برای تنش برشی ماکریم نیز خواهیم داشت:

$$\tau_{max} = \frac{Pr}{4t}$$

۷. در یک مخزن استوانه‌ای جدار نازک با ضخامت جدار، با در پوشش‌های نیمکره به ضخامت γ تحت
جذار داخلی P و ضریب پواسن ν برای جنس مخزن، برای آنکه تنش ماکزیمم در دو قسمت نیمکره و
استوانه پکان باشد، نسبت ضخامت‌ها چقدر باید انتخاب شود؟
(مهله‌ی مدلابد ۷۸)

$$\frac{l_1}{l_2} = \frac{2-\nu}{1-\nu} \quad (1)$$

$$\frac{l_1}{l_2} = 2 \quad (2)$$

$$\frac{l_1}{l_2} = 1 \quad (3)$$

$$\frac{l_1}{l_2} = \frac{1}{\nu} \quad (4)$$

87

$$\left. \begin{array}{l} (\sigma_{\text{max}})_{\text{max}} = \frac{PR}{l_1} \\ (\sigma_{\text{max}})_{\text{v}} = \frac{PR}{\gamma l_1} \\ (\sigma_{\text{max}})_v = (\sigma_{\text{max}})_{\text{v}} \end{array} \right\} \Rightarrow l_1 = 2l_v \Rightarrow \frac{l_1}{l_v} = 2$$

88



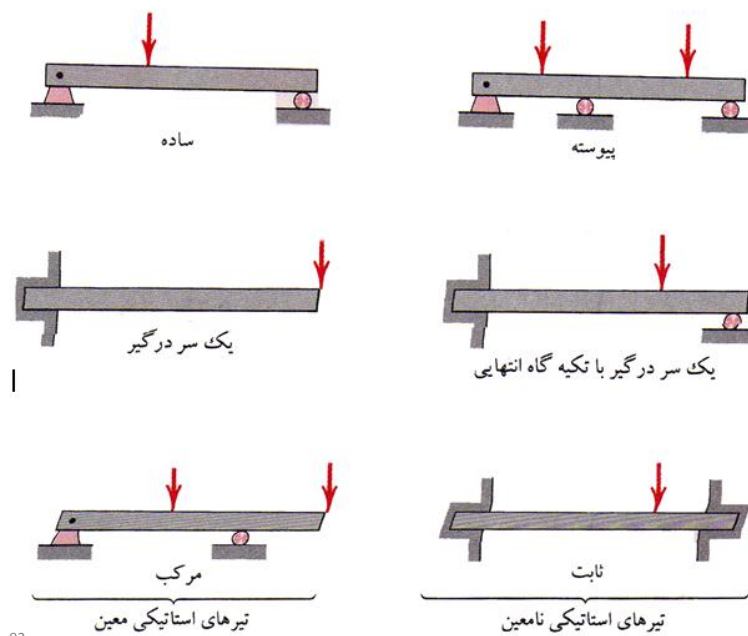
89

• خمش در نیزه‌های معین

90



91



92

خمث در تیرها

در تیر تنش وجود دارد ولی برآیند بین تنش ها روی سطح مقطع صفر است.



معادلات تعادل :

$$\begin{array}{c} \text{کنتاور حول این محور} \\ \text{---} \\ \boxed{\text{---}} \quad \perp y \\ \boxed{dA} \end{array} \quad N = \int_A \sigma dA = 0$$

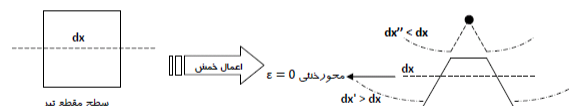
$$M = \int_A (\sigma dA) y$$

حال برای اینکه بتوانیم معادلات بالا حل کنیم، باید رابطه σ دیگری نوشت که از تغییر شکل استفاده

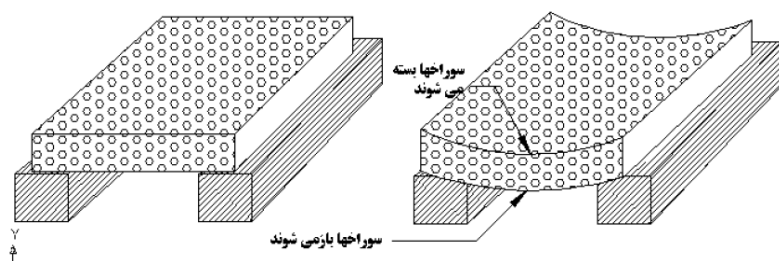
93

می کنیم.

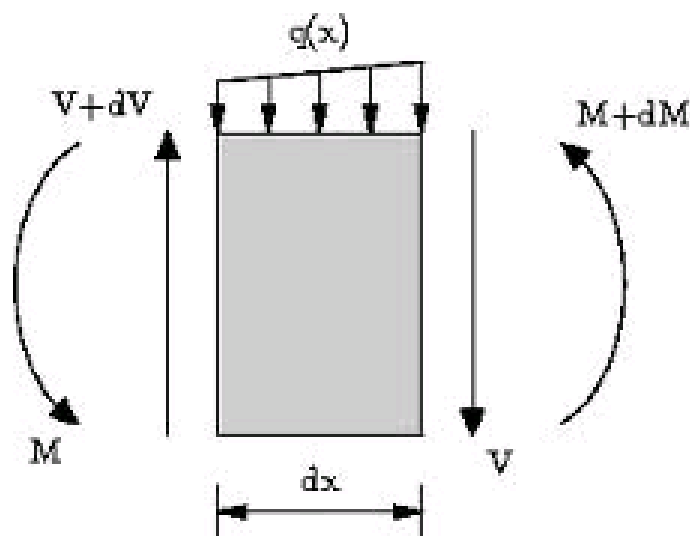
تغییر شکل



94



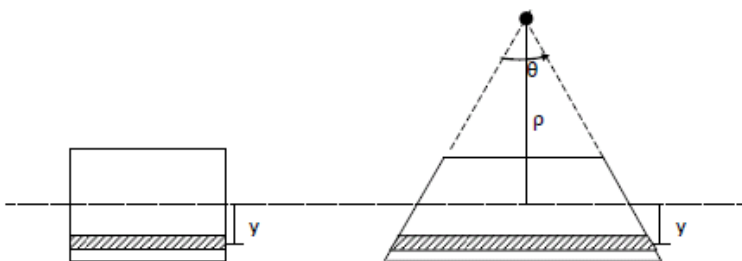
95



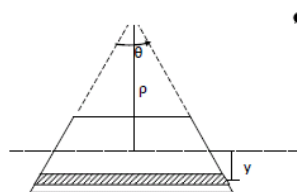
96

▪ فرضیات

- هر سطح مقطعی که مسطح بوده، بعد از اعمال خمش، مسطح باقی می‌ماند.
- هر مقطعی که قبل از تغییرشکل بر محور تیز عمود بوده، بعد از آن هم عمود باقی می‌ماند.



97



$$\varepsilon_x = \frac{\Delta l}{l} = \frac{(\rho - y)d\theta - \rho d\theta}{\rho d\theta} = \frac{-y}{\rho}$$

$\left. \begin{array}{l} \text{فاصله تا محور خلی} \\ \text{شعاع خمیدگی} \end{array} \right\}$

$$\sigma_x = E\varepsilon_x = -\frac{Ey}{\rho}$$

قانون هوک
حال معادلات تعادل بدست آمده را حل می‌کنیم:

$$N = \int_A (\sigma dA)y = \int_A -\frac{Ey}{\rho} dA = 0 \rightarrow -\frac{E}{\rho} \int y dA = 0$$

بیانگر گشتاور اول سطح است که وقتی صفر شود نشان می‌دهد محور از مرکز سطح گذشته است.

$$M = \int_A (\sigma dA)y = \int_A -\frac{E}{\rho} y^2 dA = -\frac{E}{\rho} \int y^2 dA$$

$$M = -\frac{E}{\rho} \int y^2 dA$$

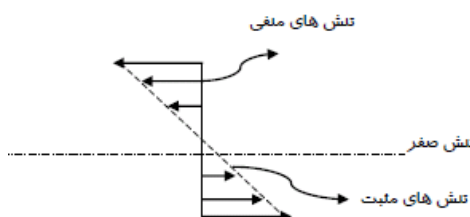
$$\left\{ \begin{array}{l} M = \text{ممان روی سطح} \\ y = \text{فاصله ای نقطه از محور خمش} \\ I = \text{ممان اینرسی سطح مقطع} \\ M = -\frac{EI}{\rho} \rightarrow \sigma_x = -\frac{My}{I} \end{array} \right.$$

$\int y^2 dA$ ، ممان اینرسی سطح مقطع جسم می باشد.

نش در هر نقطه از سطح مقطع که به فاصله y از محور قرار دارد از این رابطه محاسبه می شود که با فاصله y رابطه خطی دارد.

9

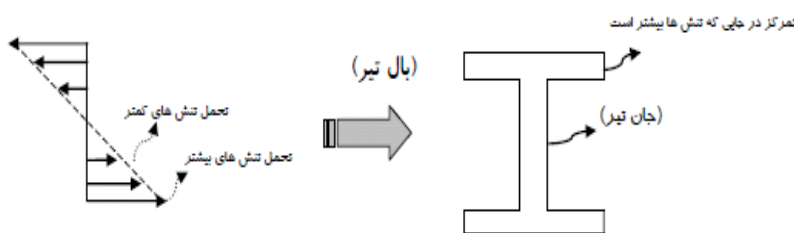
نش در هر نقطه از سطح مقطع که به فاصله y از محور قرار دارد از این رابطه محاسبه می شود که با فاصله y رابطه خطی دارد.



$$\sigma_{Max} = \frac{M_{Max} * C}{I} = \frac{M_{Max}}{\frac{I}{C}} = \frac{M_{Max}}{S} \rightarrow \sigma_{Max} = \frac{M}{S} \quad (S = \frac{I}{C}) \quad (\text{مدول خمشی مقطع})$$

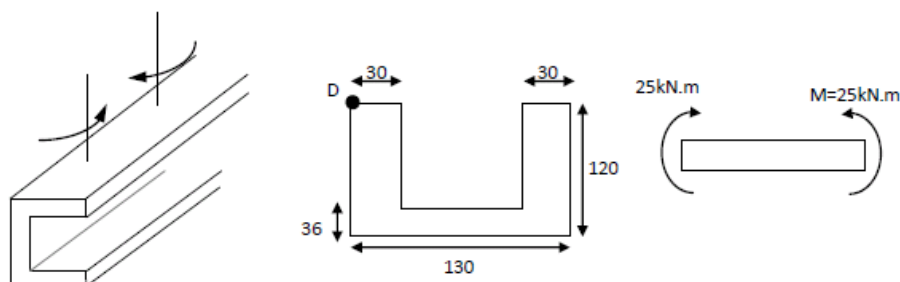
100

• مناسب ترین حالت مقطع برای خمش



101

مثال ، تنش در نقطه D را در تیر مقابل بباید ،



در همه جا یکسان و برابر 25000 است.

102

$$Ay_c = \sum A\bar{y}$$

$$y_c = \frac{\left(180 * 36 * \left(\frac{36}{2}\right)\right) + 2 * (30 * 84 * \left[\frac{84}{2} + 36\right])}{(180 * 120) - (120 * 84)} = 44.25mm \quad \text{محل مدور خنثی}$$

$$I = \underbrace{\frac{180 * 36^2}{12}}_{Ad^2} + \underbrace{180 * 36 * (26.25)^2}_{Ad^2} + 2 * \left[\underbrace{\frac{30 * 84^2}{12}}_{Ad^2} + \underbrace{30 * 84 * (33.75)^2}_{Ad^2} \right]$$

$$\Rightarrow I = 13869000 \text{ mm}^4$$

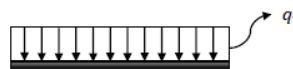
$$\sigma_D = \frac{25 * 10^3 * 10^3 * 75.75}{13869000} = 136.5 \frac{N}{mm^2}$$

$$\Rightarrow \sigma_D = 136.5 \text{ Mpa}$$

103

خیز در تیرها

$$q = q(x), \quad v = \frac{\partial M}{\partial x}, \quad M = \frac{\partial}{\partial x} \left(\frac{\partial w}{\partial x} \right)$$



$$V = \int q_0 dX = q_0 X + C_1$$

$$M = \int (q_0 X + C_1) dX = \frac{1}{2} q_0 X^2 + C_1 X + C_2$$

$$\frac{dY}{dX} = \int M dX = \frac{1}{6} q_0 X^3 + \frac{1}{2} C_1 X + C_2 X + C_3$$

$$\text{در مراحل مرزی: } \begin{cases} x = 0 \\ V = \frac{q_0 l}{2} \end{cases} \rightarrow c_1 = \frac{q_0 l}{2} \quad , \quad \begin{cases} x = 0 \\ M = 0 \end{cases} \rightarrow c_2 = 0$$

$$\rightarrow y = \frac{-1}{24} q_0 X^4 + \frac{1}{6} C_1 X^3 + \frac{1}{2} C_2 X^2 + C_3 X + C_4 \xrightarrow{y=0, x=L} C_3 = \frac{5}{12} q_0 L^3$$

که y همان خیز تیر ماست.

104

خلاصه

فرمول های خمین کشان

$$\varepsilon_x = \frac{-y}{\rho} \rightarrow \varepsilon_x = \frac{-y}{c} \varepsilon_{max}$$

$$\sigma_x = \frac{-M}{I} y \rightarrow \sigma_{max} = \frac{Mc}{I}$$

$$\begin{cases} M > 0 \rightarrow & y > 0, \sigma < 0 \\ M < 0 \rightarrow & y < 0, \sigma > 0 \end{cases}$$

$$y_c = \frac{\sum A_i y_i}{\sum A_i} \text{ میان ابرسی , } I = I_c + Ad^2 \text{ مرکز هندسی}$$

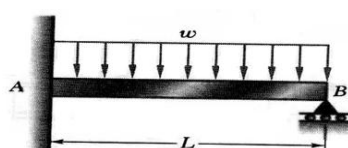
105

تیرهای نامعین ارتجاعی

- ملاحظه میشود که عکس العملها شامل چهار مجھول هستند، در حالی که سه معادله داریم، که چنین اند:

$$\sum Mx=0 \quad \sum My=0 \quad \sum MA=0$$

- چون تنها Ax را میتوان از این سه معادله تعیین کرد، نتیجه میگیریم که تیر از نظر استاتیکی نامعین است.
- عکس العملها را می توان با در نظر گرفتن تغیر شکل های سازه بدست آورد.



106

روش انتگرال گیری

- عکس العملها با در نظر گرفتن تغیر شکلهای سازه
- باید با محاسبه شب و تغیر شکل در طول تیر پیش برویم، ابتدا گشتاور خمثی (X) در هر نقطه دلخواه AB را بر حسب فاصله X از A ، بار مفروض، و عکس العملهای مجهول بیان مکنیم. با انتگرالگیری روی X ، روابطی برای θ و y بدست می‌آوریم که داری دو مجهول اضافی اند، یعنی ثابتهای انتگرال C_1 و C_2 . ولی در مجموع شش معادله برای تعیین عکس العملهای و ثابتهای C_1 و C_2 در دسترس اند؛
- تکیه گاهها را می‌توان تعیین کرد و معادله‌ی منحنی کشسانی را بدست آورد.

107

تغییر مکان منحنی اتجاعی = y

$$\theta = \frac{dy}{dx} = y' = \text{شب منحنی اتجاعی}$$

$$M = EI \frac{d^2y}{dx^2} = EI \underbrace{y''}_{\text{تغییر فرم}} = \text{فمش}$$

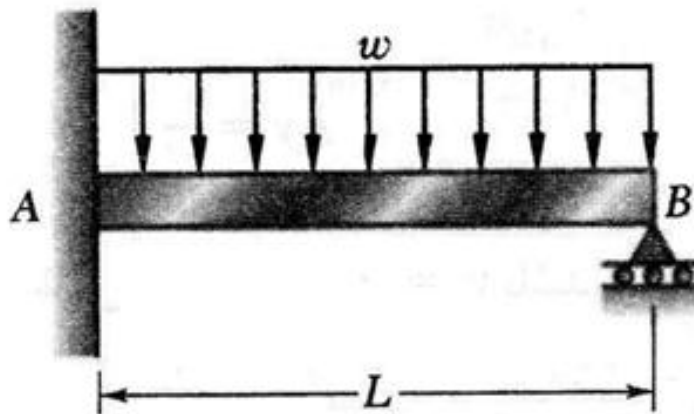
$$V = EI \frac{d^3y}{dx^3} = EI y''' = \text{پرش}$$

$$q = EI \frac{d^4y}{dx^4} = EI y'''' = \text{بار}$$

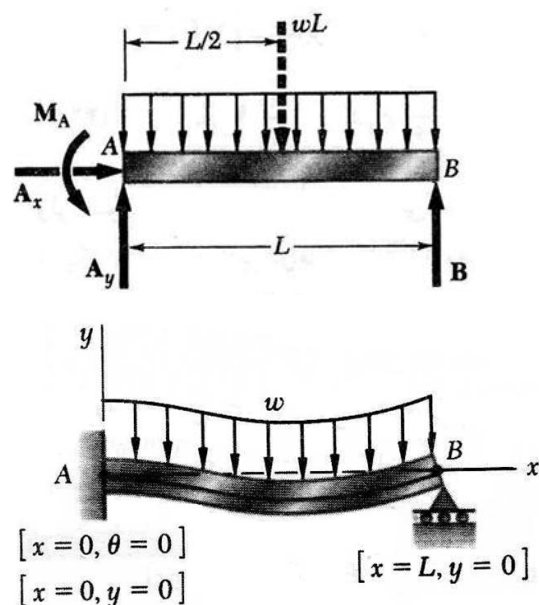
108

مثال

عکس العملهای تکیه گاهها را برای تیر منشوری تعیین کنید.



109

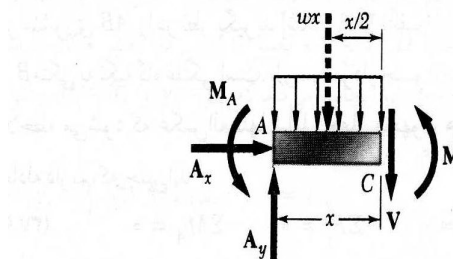


110

-
- $$+\rightarrow \sum F_x = 0 \quad AX = 0 \quad \bullet$$
- $$+\uparrow \sum F_y = 0 \quad Ay + B - \omega L^2 = 0 \quad \bullet$$
- $$+\sum M_A = 0 \quad MA + BL - \frac{1}{2} \omega L^2 = 0 \quad \bullet$$
- معادله ی منحنی کشسانی با رسم نمودار جسم آزاد جسم AC

111

$$\nabla \sum M_C = 0 : \quad M + \frac{1}{\gamma} wx^r + M_A - A_y x = 0$$



$$EI \frac{d^3 y}{dx^3} = -\frac{1}{\gamma} wx^r + A_y x - M_A$$

با انتگرالگیری روی x، داریم

$$EI \theta = EI \frac{dy}{dx} = -\frac{1}{\gamma} wx^r + \frac{1}{\gamma} A_y x^r - M_A x + C_1$$

$$EI y = -\frac{1}{\gamma \gamma} wx^r + \frac{1}{\gamma} A_y x^r - \frac{1}{\gamma} M_A x^r + C_1 x + C_2$$

112

- با مراجعه به شرایط مرزی نشان داده شده می دهیم $X=0$ ، $\theta=0$ ، و در معادله می گذاریم $X=0$ ، $y=0$ ، که نتیجه میشود C_1 و C_2 . بنابراین، چنین میشود:

$$EIy = -\frac{1}{24}wx^4 + \frac{1}{6}A_yx^3 - \frac{1}{4}M_Ax^4$$

113

شرط مرزی ایجاب میکند که به ازای $X=L$ ، $y=0$

$$-\frac{1}{24}\omega L^4 + \frac{1}{6}A_yL^3 - \frac{1}{2}M_AL^2 = 0$$

$$3M_A - A_yL + \frac{1}{4}\omega L^2 = 0$$



114

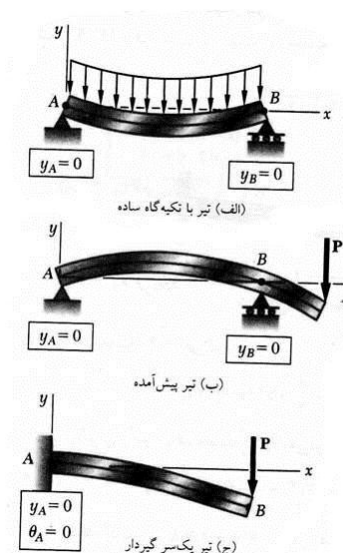
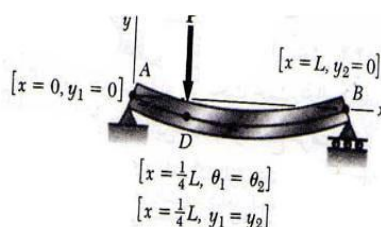
$$\begin{aligned}
 \rightarrow \sum F_x &= 0: & A_x &= 0 \\
 + \uparrow \sum F_y &= 0: & A_y + B - wL &= 0 \\
 \not\sum M_A &= 0: & M_A + BL - \frac{1}{2} wL^2 &= 0
 \end{aligned}$$

$$A_y = \frac{5}{8} \omega L \quad M_A = \frac{1}{8} \omega L^2 \quad B = \frac{3}{8} \omega L$$

$$A_x = 0$$

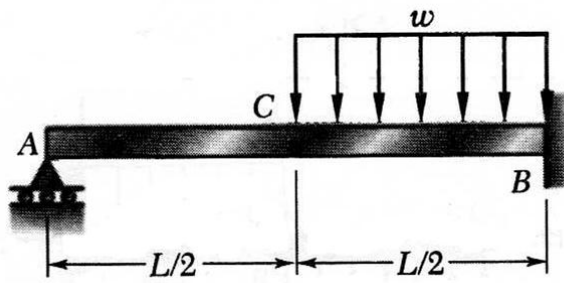
115

شرایط مرزی



116

مطلوب است عکس العمل در تکیه گاه غلتان و تغییر مکان در نقطه C.



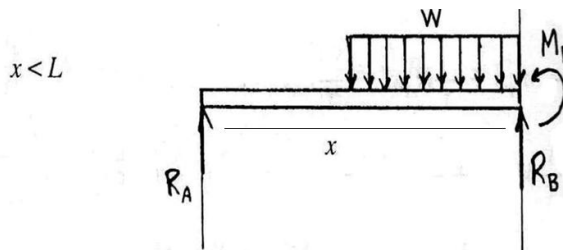
117

$$0 < x \leq \frac{L}{2} \quad M = R_A x$$

$$EI \frac{dy}{dx} = R_A x \quad EI \frac{dy}{dx} = \frac{1}{\varsigma} R_A x + C_1$$

$$EIy = \frac{1}{\varsigma} R_A x + C_1 x + C_2$$

118



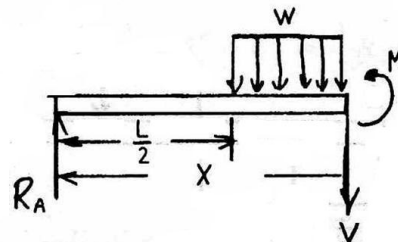
$$M = R_A x - w \left(x - \frac{L}{\gamma} \right) \frac{1}{\gamma} \left(x - \frac{L}{\gamma} \right) = R_A x - \frac{1}{\gamma} w \left(x - \frac{L}{\gamma} \right)^2$$

$$EI \frac{dy}{dx} = R_A x - \frac{1}{\gamma} w \left(x - \frac{L}{\gamma} \right)$$

119

$$EI \frac{dy}{dx} = \frac{1}{\gamma} R_A x - \frac{1}{\gamma} w \left(x - \frac{L}{\gamma} \right) + C_r$$

$$EIy = \frac{1}{\gamma} R_A x^2 - \frac{1}{\gamma^2} w \left(x - \frac{L}{\gamma} \right)^2 + C_r x + C_f$$



120

$$[x = 0, y = 0] \quad 0 + 0 + C_1 = 0 \quad C_1 = 0$$

$$\left[x = \frac{L}{\gamma}, \frac{dy}{dx} = \frac{dy}{dx} \right] \quad \frac{1}{\lambda} R_A L^r + C_1 = \frac{1}{\lambda} R_A x^r + C_r$$

$$\left[x = \frac{L}{\gamma}, y = y \right] \quad C_r = C_1$$

$$\frac{1}{\gamma \lambda} R_A L^r + \frac{1}{\gamma} C_1 L + 0 = \frac{1}{\gamma \lambda} R_A x^r - 0 + \frac{1}{\gamma} C_1 L + C_r$$

$$C_r = 0$$

121

$$\left[x = L, \frac{dy}{dx} = 0 \right] \quad \frac{1}{\gamma} R_A L^r - \frac{1}{\gamma \lambda} w L^r + C_r = 0$$

$$C_r = -\left(\frac{1}{\gamma} R_A L^r - \frac{1}{\gamma \lambda} w L^r \right)$$

$$[x = L, y = 0]$$

$$\frac{1}{\gamma} R_A L^r - \frac{1}{\gamma \lambda} w L^r - \left(\frac{1}{\gamma} R_A - \frac{1}{\gamma \lambda} w L^r \right) L + 0$$

$$R_A = \frac{\gamma}{\gamma \lambda} w L \uparrow \blacktriangleleft$$

$$C_1 = C_r = -\left(\frac{\gamma}{\gamma \lambda} w L^r - \frac{1}{\gamma \lambda} w L^r \right) = -\frac{\Delta}{\gamma \lambda} w L^r$$

$$x = \frac{L}{\gamma} \downarrow$$

$$Ely_C = \frac{1}{\gamma} R_A \left(\frac{L}{\gamma} \right)^r + \left(-\frac{\Delta}{\gamma \lambda} w L^r \right) \frac{L}{\gamma} + 0 = -\frac{1}{\gamma \lambda} w L^r$$

$$y_C = \frac{1}{\gamma \lambda} \frac{w L^r}{E} \downarrow \blacktriangleleft$$

122

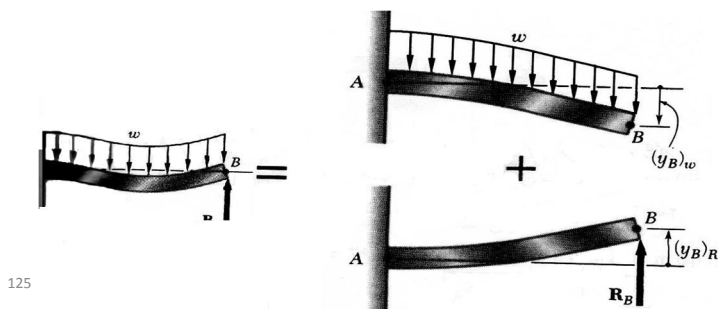


123

- کاربرد اصل بر هم نهی برای تیرهایی که از نظر استاتیکی نامعین اند.
- در اغلب موارد آسانتر است که برای تعیین عکس العملهای تکیه گاهی تیرهایی که از نظر استاتیکی نامعین اند، از روش بر هم نهی استفاده میشود

124

اصل برهمنی (که به خاصیت برهمنی نیز معروف است) بیان می‌کند که برای تمام سیستم‌های خطی، «پاسخ خالص ایجاد شده در یک نقطه و زمان مورد نظر به وسیله دو یا چند محرك، برابر است با مجموع پاسخ‌هایی که بوسیله هر محرك به تنهایی بوجود می‌آید»

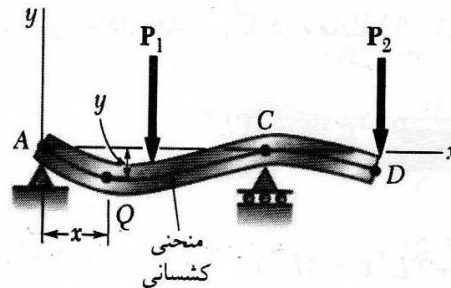


125

روش حل

- یکی از عکس العملها را نیروی اضافی در نظر می‌گیریم و تکیه گاه متناظر را طبق آن تغییر میدهیم یا حذف می‌کنیم.
- سپس عکس العمل اضافی را به صورت باری مجهول می‌گیریم که همراه با دیگر بارها باید تغییر شکل‌هایی ایجاد کند که با تکیه گاههای اولیه سازگار باشند.
- شبیه یا تغییر مکان در نقطه ای که تکیه گاه اصلاح و یا حذف شده است، از محاسبه ی جدگاههای تغییر شکل‌هایی ایجاد شده به وسیله بارهای مفروض و عکس العملهای اضافی، و با بر هم نهادن نتایج حاصل بدست می‌آید.
- وقتی که عکس العملها در تکیه گاهها معلوم شدند، شبیه و تغییر مکان رامی توان با روش معلوم در هر نقطه دیگر تیر تعیین کرد.

منحنی کشسانی



$$\frac{1}{\rho} = \frac{\frac{d^2y}{dx^2}}{\left[1 + \left(\frac{dy}{dx} \right)^2 \right]^{3/2}}$$

$$\frac{1}{\rho} = \frac{\frac{d^2y}{dx^2}}{\left[1 + \left(\frac{dy}{dx} \right)^2 \right]^{3/2}}$$

$\frac{d^2y}{dx^2} = \frac{M(x)}{EI}$

$EI \frac{dy}{dx} = \int_{x_1}^x M(x) dx + C_1$

➡

$EI \theta(x) = \int_{x_1}^x M(x) dx + C_1$

$EI y = \int_{x_1}^x d\theta \int_{x_1}^x M(x) dx + C_1 x + C_2$ از شرایط مرزی C2 C1

تیرهای نامعین ارجاعی

- ملاحظه میشود که عکس العملها شامل چهار مجهول هستند، در حالی که سه معادله داریم، که چنین اند:

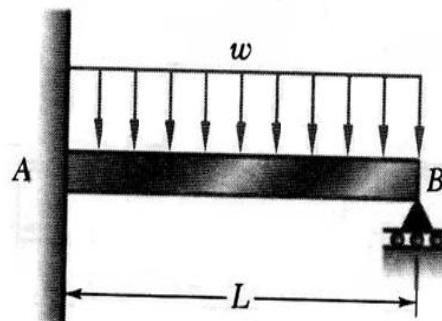
$$\sum Mx=0 \quad \sum My=0 \quad \sum MA=0$$
- چون تنها Ax را میتوان از این سه معادله تعیین کرد، نتیجه میگیریم که تیر از نظر استاتیکی نامعین است.
- عکس العملها را می توان با در نظر گرفتن تغییر شکل های سازه بدست آورد.

129

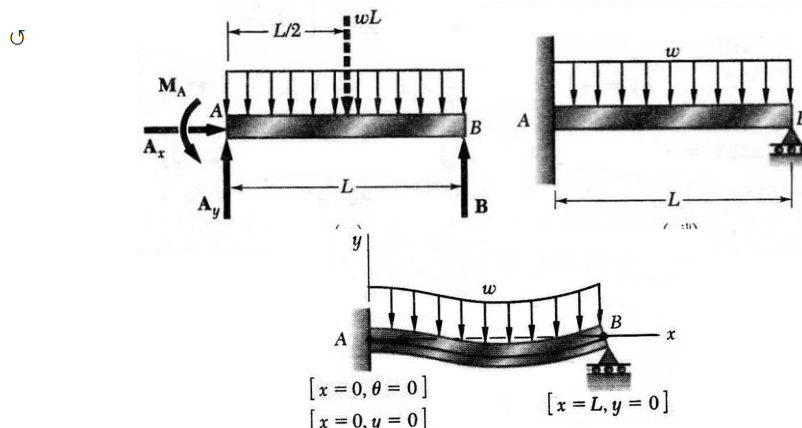
- عکس العملها با در نظر گرفتن تغییر شکل های سازه
- باید با محاسبه شب و تغییر شکل در طول تیر پیش برویم،
- ابتدا گشتاور خمپی (X) در هر نقطه دلخواه AB را بر حسب فاصله X از A ، بار مفروض، و عکس العملهای مجهول بیان مکنیم.
- با انتگرالگیری روی X ، روابطی برای θ و u بدست می آوریم که داری دو مجهول اضافی اند، یعنی ثابتهای انتگرال C_1 و C_2 .
- ولی در مجموع شش معادله برای تعیین عکس العملهای و ثابتهای C_1 و C_2 در دسترس اند؛
- تکیه گاهها را می توان تعیین کرد و معادله ی منحنی کشسانی را بدست آورد.

130

- مثال با روش انتگرال و مقایسه با سوپر پوزیشن
- عکس العملهای تکیه گاهها را برای تیر منشوری تعیین کنید.



131



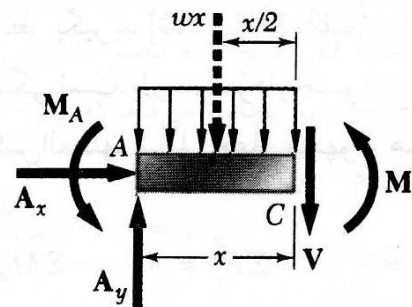
$$\begin{aligned} \rightarrow \sum F_x &= 0 \\ \uparrow \sum F_y &= 0 \\ \sum M_A &= 0 \end{aligned}$$

$$\begin{aligned} A_x &= 0 \\ A_y + B - \omega L^2 &= 0 \\ M_A + BL - \frac{1}{2} \omega L^2 &= 0 \end{aligned}$$

132

معادله ی منحنی کشسانی. با رسم نمودار جسم
آزاد جسم AC

$$\nabla \sum M_C = 0 : \quad M + \frac{1}{2} wx^2 + M_A - A_y x = 0$$



133

$$EI \frac{d^2y}{dx^2} = -\frac{1}{2} wx^2 + A_y x - M_A$$

با انتگرال گیری روی x , داریم

$$EI \theta = EI \frac{dy}{dx} = -\frac{1}{6} wx^3 + \frac{1}{2} A_y x^2 - M_A x + C_1$$

$$EI y = -\frac{1}{24} wx^4 + \frac{1}{6} A_y x^3 - \frac{1}{2} M_A x^2 + C_1 x + C_2$$

134

- با مراجعه به شرایط مرزی نشان داده شده می دهیم $X=0$ ، $\theta=0$ ، و در معادله می گذاریم $X=0$ ، $y=0$ ، که نتیجه میشود $C1$ و $C2$. بنابراین، چنین میشود:

$$EIy = -\frac{1}{24}wx^4 + \frac{1}{6}Ay^3 - \frac{1}{2}M_Ax^2$$

135

سومین شرط مرزی ایجاب میکند که به ازای
 $y=0$ ، $X=L$

$$-\frac{1}{24} + \omega L^4 + \frac{1}{6}AyL^3 - \frac{1}{2}MAL^2 = 0$$

136

$$3MA - A\gamma L + \frac{1}{4}\omega L^2 = 0$$



$$\begin{aligned} \xrightarrow{+} \Sigma F_x &= 0: & A_x &= 0 \\ + \uparrow \Sigma F_y &= 0: & A_y + B - wL &= 0 \\ \not\rightarrow \Sigma M_A &= 0: & M_A + BL - \frac{1}{4}wL^2 &= 0 \end{aligned}$$

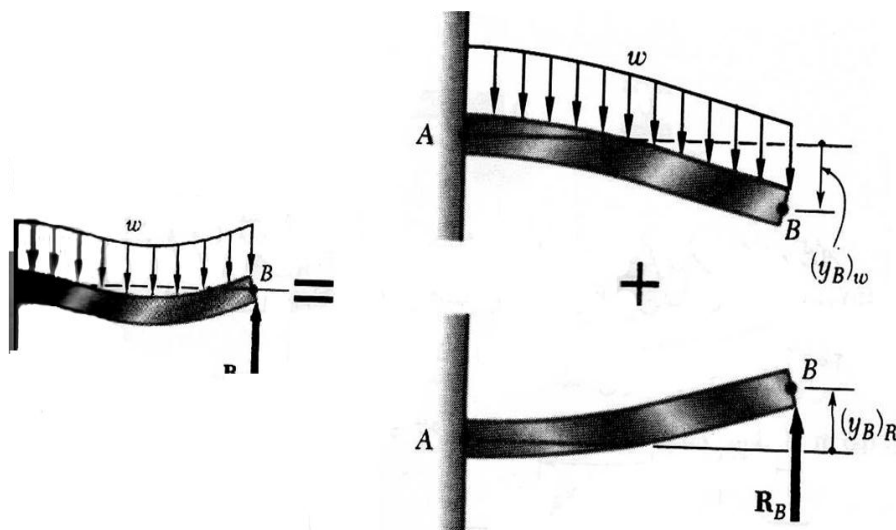
$$Ay = \frac{5}{8}\omega L \quad MA = \frac{1}{8}\omega L^2 \quad B = \frac{3}{8}\omega L$$

$$Ax = 0$$

137

- کاربرد اصل بر هم نهی برای تیرهایی که از نظر استاتیکی نامعین اند.
- در اغلب موارد آسانتر است که برای تعیین عکس العملهای تکیه گاهی تیرهایی که از نظر استاتیکی نامعین اند، از روش بر هم نهی استفاده می‌شود.

138



139

$$+\rightarrow \sum F_x = 0$$

$$AX = 0 \quad \bullet$$

$$+\uparrow \sum F_y = 0$$

$$Ay + B - \omega L^2 = 0 \quad \bullet$$

$$MA = 0$$

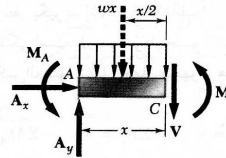
$$MA + BL - \frac{1}{2} \omega L^2 = 0 \quad \bullet$$

140

• معادله ی منحنی کشسانی. با رسم نمودار جسم آزاد جسم

AC

$$\sum M_C = 0 : \quad M + \frac{1}{\gamma} wx^r + M_A - A_y x = 0$$



$$EI \frac{d^4 y}{dx^4} = - \frac{1}{\gamma} wx^r + A_y x - M_A$$

با انتگرال‌گیری روی x، داریم

$$EI \theta = EI \frac{dy}{dx} = - \frac{1}{\gamma} wx^r + \frac{1}{\gamma} A_y x^r - M_A x + C_1$$

$$EI y = - \frac{1}{\gamma r} wx^r + \frac{1}{\gamma} A_y x^r - \frac{1}{\gamma} M_A x^r + C_1 x + C_2$$

141

- با مراجعه به شرایط مرزی نشان داده شده می‌دهیم $X=0$ ، $\theta=0$ ، و در معادله می‌گذاریم $y=0$ ، $X=0$ ، که نتیجه می‌شود C_1 و C_2 بنابراین، چنین می‌شود:

$$EI y = - \frac{1}{\gamma r} wx^r + \frac{1}{\gamma} A_y x^r - \frac{1}{\gamma} M_A x^r$$

سومین شرط مرزی ایجاب میکند که به ازای $X=L$ ، $y=0$

$$-\frac{1}{24} + \omega L^4 + \frac{1}{6} A_y L^3 - \frac{1}{2} M_A L^2 = 0$$

142

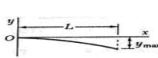
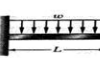
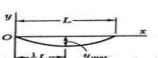
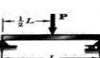
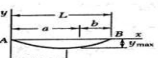
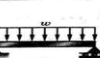
$$3M_A - A\gamma L + \frac{1}{4}\omega L^2 = 0$$

$$\begin{aligned} \xrightarrow{+} \Sigma F_x &= 0: & A_x &= 0 \\ + \uparrow \Sigma F_y &= 0: & A_y + B - wL &= 0 \\ \not\rightarrow \Sigma M_A &= 0: & M_A + BL - \frac{1}{4}wL^2 &= 0 \end{aligned}$$

$$\begin{aligned} Ay &= \frac{5}{8}\omega L & MA &= \frac{1}{8}\omega L^2 & B &= \frac{3}{8}\omega L \\ Ax &= 0 \end{aligned}$$

143

پیوست ۵. تغییر مکان تبر و شبیه ان

| معادله منحنی کشسان | شبیه در انتهای | تغییر مکان ماکریم | منحنی کشسان | تبر و بارگذاری |
|---|--|---|--|---|
| $y = -\frac{P}{\gamma EI} (x^2 - \gamma L x^2)$ | $- \frac{PL^2}{\gamma EI}$ | $- \frac{PL^2}{\gamma EI}$ |  |  |
| $y = -\frac{w}{\gamma EI} (x^2 - \gamma L x^2 + \gamma L^2 x^2)$ | $- \frac{wL^2}{\gamma EI}$ | $- \frac{wL^2}{\gamma EI}$ |  |  |
| $y = -\frac{M}{\gamma EI} x^2$ | $- \frac{ML^2}{EI}$ | $- \frac{ML^2}{\gamma EI}$ |  |  |
| $y = \frac{P}{\gamma EI} (x^2 - \gamma L x^2)$: $x \leq \frac{1}{\gamma} L$ سایر | $\pm \frac{PL^2}{\gamma EI}$ | $- \frac{PL^2}{\gamma EI}$ |  |  |
| $y = \frac{Pb}{\gamma EI L} [x^2 - (L^2 - b^2)x]$: $x < a$ سایر | $\theta_A = - \frac{Pb(L^2 - b^2)}{\gamma EI L}$ | $- \frac{Pb(L^2 - b^2)\gamma^2}{4\sqrt{\gamma} EI L}$ |  |  |
| $y = -\frac{Pa^2b^2}{\gamma EI L}$: $x = a$ سایر | $\theta_B = + \frac{Pa(L^2 - a^2)}{\gamma EI L}$ | $x_m = \sqrt{\frac{L^2 - a^2}{\gamma}}$ |  |  |
| $y = -\frac{w}{\gamma EI} (x^2 - \gamma L x^2 + L^2 x)$ | $\pm \frac{wL^2}{\gamma EI}$ | $- \frac{wL^2}{\gamma EI}$ |  |  |
| $y = -\frac{M}{\gamma EI L} (x^2 - \gamma L x^2)$ | $\theta_A = + \frac{ML^2}{\gamma EI}$ | $\frac{ML^2}{\gamma EI}$ |  |  |



145

کاربرد توابع تکینی برای تعیین شب و تغیر مکان در تیر

•

< پرانتز شکسته >

- اگر تا سه تابع یا بیشتر برای نشان دادن گشتاور خمثی لازم باشد ثابت‌های اضافی و به همان تعداد لازم است. در نتیجه محاسبات طولانی می‌شود، در چنین حالتی می‌بینیم که چطور با استفاده از معادلات تکینی می‌توان محاسبات را آسان کرد.

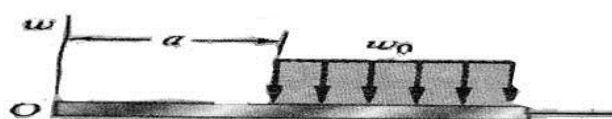
146

عبارت‌های $\langle x - a \rangle^n$, $\langle x - a \rangle^r$, $\langle x - a \rangle^\circ$ را تابعهای تکینی^۱ می‌نامند
تعریف برای $n \geq 0$ داریم

$$\langle x - a \rangle^n = \begin{cases} (x - a)^n & x \geq a \\ 0 & x < a \end{cases} \quad \begin{matrix} \text{وقتی} & x \geq a \\ \text{وقتی} & x < a \end{matrix}$$

$$\langle x - a \rangle^\circ = \begin{cases} 1 & x \geq a \\ 0 & x < a \end{cases}$$

147



$$w(x) = w_0 \langle x - a \rangle^\circ$$



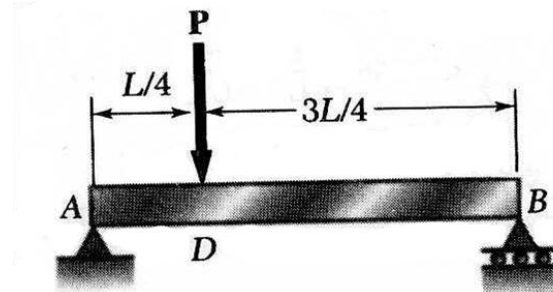
$$w(x) = k \langle x - a \rangle^1$$



148

$$w(x) = k \langle x - a \rangle^n$$

بار دیگر تیر و بارگذاری با استفاده از تابع تکینی را در نظر می‌گیریم



149

برای نشان دادن سهم بار متغیر P در برش، می‌نویسیم

$$V(x) = \frac{3P}{4} - P < x - \frac{1}{4}L >$$

بر حسب x و باد آوری بخش 5.5 که در اغلب هر گونه کوپل بدست می‌آید برای گشتاور خمی شامل ثابت نخواهد بود،

$$M(x) = \frac{3P}{4}x - P < x - \frac{1}{4}L >$$

M از معادله‌ی عمومی می‌نویسیم

$$EI \frac{d^2y}{dx^2} = \frac{3P}{4}x - P < x - \frac{1}{4}L >$$

بر حسب x

$$EI\theta = EI \frac{dy}{dx} = \frac{3}{8}Px^2 - \frac{1}{2}P < x - \frac{1}{4}L >^2 + C_1$$

$$EIy = \frac{1}{8}Px^3 - \frac{1}{6}P < y - \frac{1}{4}L >^3 + C_1x + C_2$$

150

C_1 و C_2 را از شرایط مزدی نشان داده شده در شکل میتوان با قرار دادن $x = 0$ و $y = 0$ در معادله‌ی ، دارم

$$0 = 0 - \frac{1}{6}P < 0 - \frac{1}{4}L >^3 + 0 + C_2$$

$$0 = \frac{1}{8}PL^3 - \frac{1}{6}P < \frac{3}{4}L >^3 + C_1 L \quad (47.9)$$

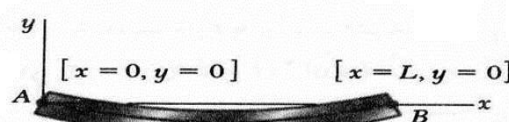
مقدار داخل پرانتر شکسته مثبت است، می‌توان به جای آن پرانترها داشت. از حل آن بر حسب C_1 دارم :

$$C_1 = -\frac{7PL^2}{128}$$

می‌کنیم که عبارت به دست آمده برای ثابت‌های C_2 ، C_1 برابر مقداری ...

151

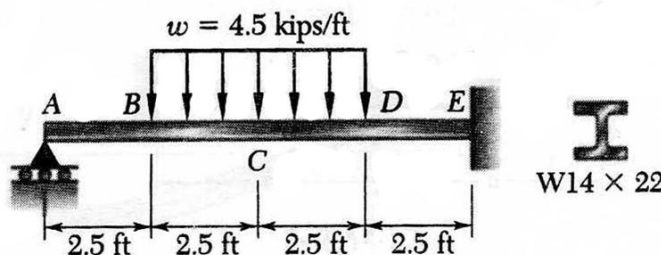
- از این در بخش به دست می‌آمد. اکنون دیگر نیازی به ثابت‌های C نیست و احتیاجی به نوشتن معادلاتی مبني بر پیوستگی شیب در نقطه‌ی D نداریم



شکا ۳۰.۹

152

برای تیر و بارگذاری نشان داده شده، مطلوب است (الف) عکس العمل در A ، (ب) تغییر مکان در C . ($E = ۲۹ \times 10^6$ psi).



153

مسئله ۶

(الف) بگاهای نیروها بر حسب kips، طولها بر حسب ft (ب) بگاهای نیروها بر حسب kips، طولها بر حسب ft

$$w(x) = 4.5(x - 2.5)^+ - 4.5(x - 7.5)^+$$

$$\frac{dV}{dx} = -w(x) = -4.5(x - 2.5)^+ + 4.5(x - 7.5)^+ \text{ kip}/\text{ft}$$

$$\frac{dM}{dx} = V = R_A - 4.5(x - 2.5)^+ + 4.5(x - 7.5)^+ \text{ kips}$$

$$EI \frac{dy}{dx} = M = R_A x - 2.25(x - 2.5)^+ + 2.25(x - 7.5)^+ \text{ kip.ft}$$

$$EI \frac{dy}{dx} = \frac{1}{12} R_A x^3 - \frac{2.25}{12}(x - 2.5)^3 + \frac{2.25}{12}(x - 7.5)^3 + C_1 \text{ kip.ft}^3$$

$$EIy = \frac{1}{6} R_A x^4 - \frac{2.25}{12}(x - 2.5)^4 + \frac{2.25}{12}(x - 7.5)^4 + C_1 x + C_2 \text{ kip.ft}^4$$

154

$$[x = 0, y = 0] \quad 0 + 0 + 0 + 0 + C_1 = 0 \quad C_1 = 0$$

$$\left[x = 10, \frac{dy}{dx} = 0 \right]$$

$$\frac{1}{r} R_A (10)^4 - \frac{2.25}{12} (7.5)^4 + \frac{2.25}{12} (2.5)^4 + C_1 = 0$$

$$C_1 = 304.69 - 50R_A \text{ kip.ft}^4$$

$$[x = 10, y = 0]$$

$$\frac{1}{6} R_A (10)^3 - \frac{2.25}{12} (7.5)^4 + \frac{2.25}{12} (2.5)^4 + (304.69 - 50R_A)(10) + 0 = 0$$

$$(500 - \frac{1000}{6}) R_A = 24609 \quad R_A = 7.3833 \text{ kips} \uparrow$$

$$C_1 = 304.69 - 50(7.3833) = -64.45 \text{ kip.ft}^2$$

دالة

$$E = 29 \times 10^6 \text{ psi} = 29 \times 10^3 \text{ ksi} \quad I = 199 \text{ in}^4$$

$$EI = (29 \times 10^3)(199) = 5.77 \times 10^6 \text{ kip.in}^2 = 40076 \text{ kip.ft}^2$$

(ب) خیزش در y در $x = 5\text{ft}$ (خیزش در y)

$$Elyc = \frac{1}{6}(7.3833)(5)^3 - \frac{2.25}{12}(2.5)^4 + 0 - (64.45)(5) + 0 = -175.76 \text{ kip.ft}^2$$

$$yc = -\frac{175.76}{40076} = -4.3856 \times 10^{-3}\text{ft} \quad yc = 0.0526 \text{ in} \downarrow$$

157



158

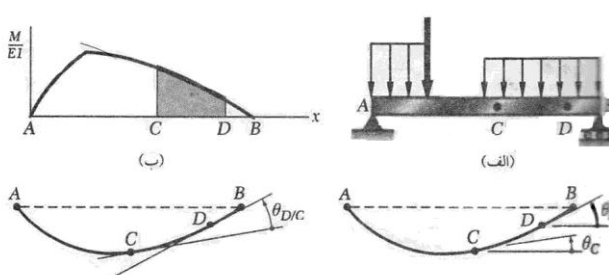
قضایای گشتاور سطح

- برای تعیین خمش و شیب یک تیر در نقطه ای مفروض از روش ریاضی برآ اساس انتگرال گیری از یک معادله دیفرانسیل استفاده کردیم، گشتاور خمشی به صورت تابع M بر حسب فاصله در امتداد تیر بیان شده بود.

159

$$\theta_{D/C} = D \cdot C \quad \text{سطح زیر نمودار } (M/EI) \text{ بین } C \text{ و } D \quad (56.9)$$

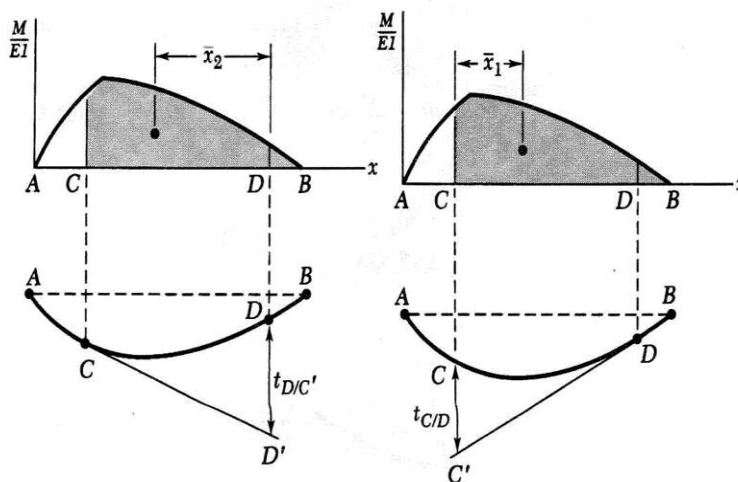
که این رابطه قضیه اول گشتاور سطح است.



با یادآوری اینکه گشتاور اول سطح نسبت به یک محور مساوی است با حاصل ضرب سطح در فاصله مرکز جرم آن تا آن محور، می‌توانیم قضیه دوم گشتاور سطح را به صورت زیر نیز بیان کنیم:

$$t_{C/D} = (D - C) \bar{x}_1 \quad | t_{C/D} = (D - C) \text{مساحت بین } C \text{ و } D \quad (59.9)$$

160



161

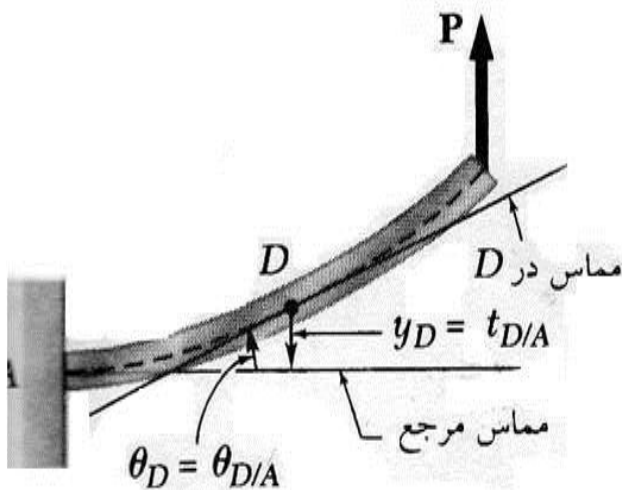
• کاربرد گشتاور در سطح در تیرهای یک سرگیردار و تیرهای با بار گذاری متقابن

- یادآوری میکنیم که قضیه اول گشتاور سطح استنتاج شده در بخش قبل زاویه $\theta D/C$ بین مماسهای رسم شده بر دو نقطه D, C منحنی کشسانی را مشخص می‌کند.
- بنا بر این، زاویه θD بین خط مماس بر D و افق، یعنی شیب در D را تنها در صورتی می‌توان به دست آورد که شیب در C معلوم باشد.

• به طور مشابه، قضیه ی دوم گشتاور سطح، فاصله ی عمودی یک نقطه از منحنی کشسانی را از مماس رسم شده در نقطه D دیگری از منحنی مشخص میکند. از این رو، تنها اگر مماس در C معلوم باشد.

- انحراف مماسی $\theta D/C$ به ما کمک میکند تا موقعیت D را مشخص کنیم. نتیجه میگیریم که اگر ابتدا انتها یک مماس مرتع بر منحنی کشسانی معین شده باشد میتوان از دو قضیه گشتاور سطح به خوبی برای تعیین شیب و تغییر مکانها استفاده کرد.

162

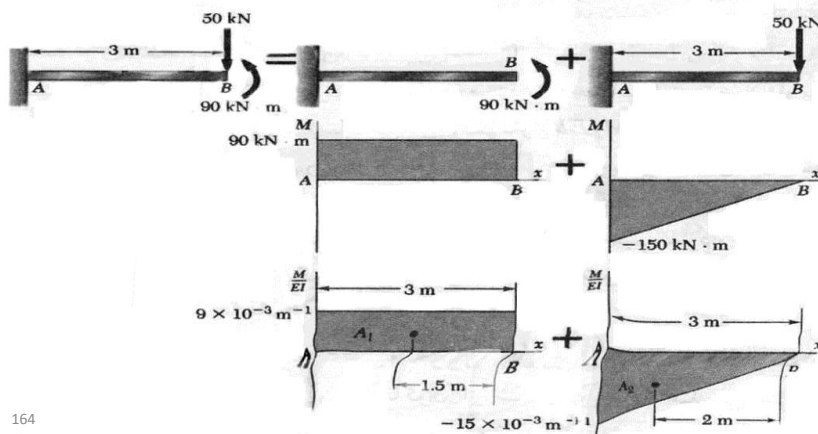


163

شیب و تغییر مکان را در انتهای B تیر منشوری مثال ۹.۹ به دست آورید، گشتاور خمی را جزو به جزء رسم کنید.

• حل :

بار موجود را با دو بار معادل نشان داده شده در شکل ۵۳.۹ جایگزین می‌کنیم و نمودارهای متناظر گشتاور خمی و (M/EI) را از راست به چپ و با شروع از نقطه انتهای آزاد B رسم می‌کنیم.



164

- با به کار بردن قضیه اول گشتاور سطح و یادآوری اینکه مینویسیم θ_A

$$\theta_B = \theta_B/A = A_1 + A_2$$

$$= (9 \times 10^{-3} m^{-1}) (3 m) - \frac{1}{2} (15 \times 10^{-3} m^{-1}) (3 m)$$

$$= 4.5 \times 10^{-3} \text{ rad}$$

165

با به کار بردن قضیه دوم، گشتاور اول هر سطح را حول محور عمودی ماربر B محاسبه میکنیم و مینویسیم

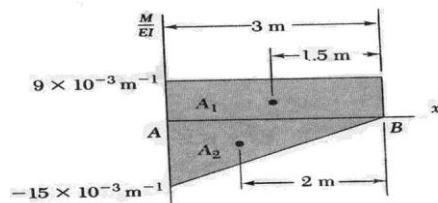
$$y_B = t_B/A = A_1(1.25m) + A_2(2m)$$

$$= (27 \times 10^{-3}) (1.5m) - (22.5 \times 10^{-3}) (2m)$$

$$= -4.5 \text{ mm}$$

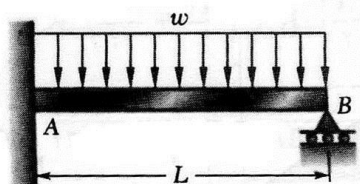
166

در عمل رایج تر است که دو قسمت نودار (M/EI) را روی یک نودار رسم کنیم

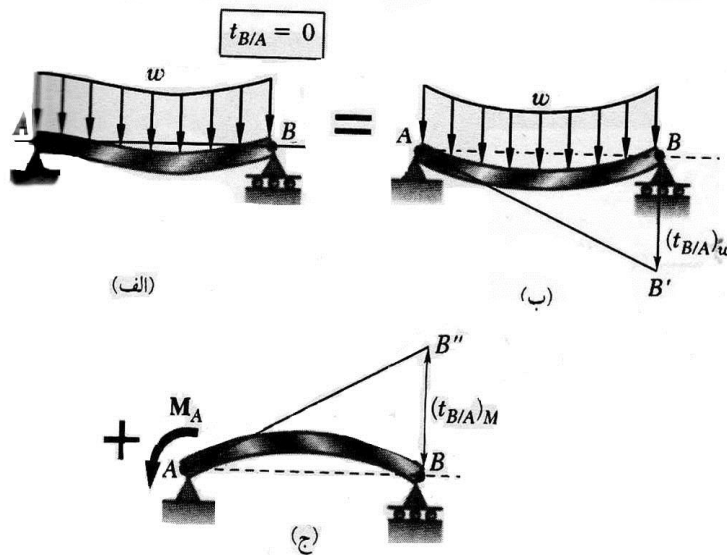


167

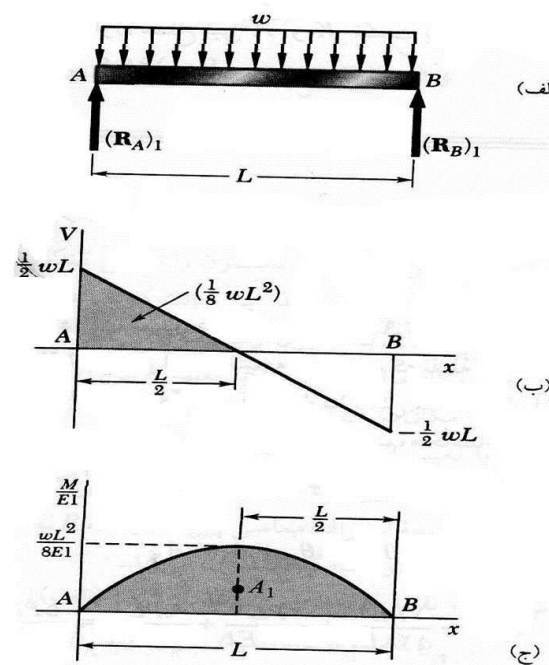
برای تیر منشوری و بارگذاری نشان داده شده، عکس العمل را در تکیه گاهها تعیین کنید (شکل ۷۱.۹).



168



169



170

آنکه مساحت زیر یک سهمی برابر است با $A = \frac{2}{3}bh$ ، گشتاور اول این سطح حول محور عمودی مارببر B حاسبه میکنیم و مینویسیم

$$(t_{B/A})_M = A_1 \left(\frac{L}{2} \right) = \left(\frac{2}{3} L \right) \left(\frac{\omega L^2}{8EI} \right) \left(\frac{L}{2} \right) = \frac{\omega L^4}{24EI}$$

سپس نمودار جسم آزاد تیر را واقعی که در معرض کوپل چهول MA است در نظر می گیریم {شکل (الف)}، و عکس العمای متناظر در A, B را تعیین میکنیم :

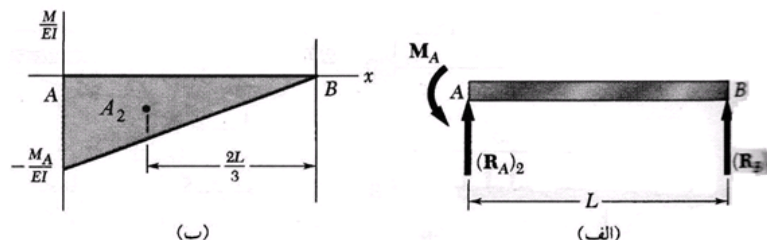
$$(RA)_2 = \frac{M_A}{L} \uparrow \quad (RA)_2 = \frac{M_A}{L} \downarrow$$

171

نمودار متناظر (M/EI) را رسم میکنیم [شکل ب]، مجددا قضیه خ دوم گشتاور سطح را به کار می برم و می تویسیم

$$(t_{B/A})_M = A_2 \left(2 \frac{L}{3} \right) = \left(-\frac{1}{2} L \frac{M_A}{EI} \right) \left(\frac{2L}{3} \right) = -\frac{M_A L^2}{3EI}$$

با ترکیب نتایج به دست آمده و توضیح اینکه اخراج داریم



172

$$(t_{B/A}) = (t_{B/A})_w + (t_{B/A})_M = 0$$

$$\frac{wL^4}{24EI} - \frac{M_A L^4}{3EI} = 0$$

و با حل آن بر حسب M_A نتیجه می شود

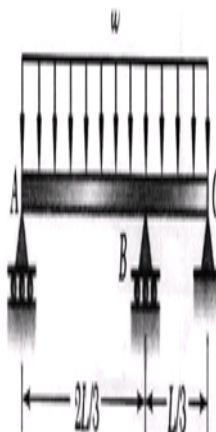
$$M_A = +\frac{1}{\lambda} wL^4 \quad M_A = \frac{1}{\lambda} wL^4$$

با جایگزینی M_A در معادله (۶۶.۹) و یادآوری (۶۴.۹)، مقادیر R_A و R_B به ده می آیند:

$$R_A = (R_A)_1 + (R_A)_2 = \frac{1}{2}wL + \frac{1}{\lambda}wL = \frac{5}{\lambda}wL$$

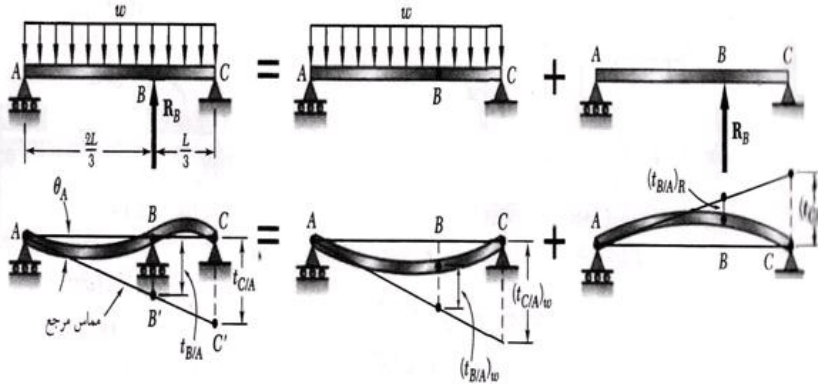
$$R_B = (R_B)_1 + (R_B)_2 = \frac{1}{2}wL - \frac{1}{\lambda}wL = \frac{3}{\lambda}wL$$

173



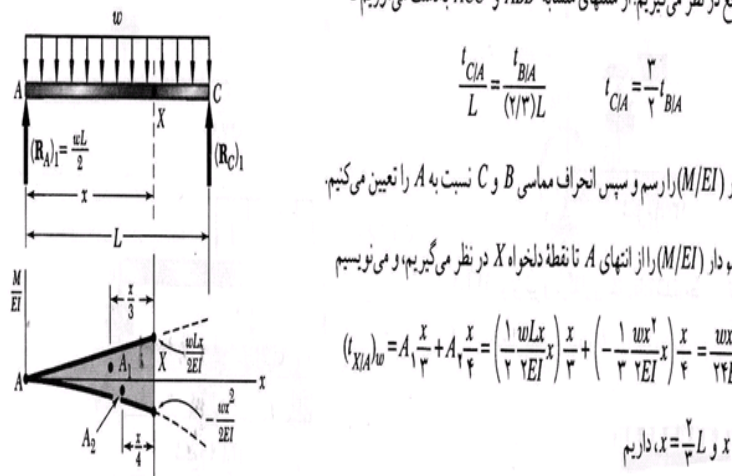
برای نبریکنارخواهی از بارگذاری متسال داده شده، عکس العمل در B را نمی‌کنید.

اگر درجه نامعین است و عکس العمل R_B را اضافی در نظر می‌گیریم.



175

سپس هماس در A را مرجع در نظر می‌گیریم. از مثلثهای مشابه' ABB' و ACC' به دست می‌آوریم که



$$\frac{t_{C/A}}{L} = \frac{t_{B/A}}{(\gamma/4)L} \quad t_{C/A} = \frac{4}{\gamma} t_{B/A}$$

برای هر بارگذاری، نمودار (M/EI) را رسم و سپس انحراف مماسی B و C نسبت به A رانعین می‌کنیم.

بارگذاری گستردگی، نمودار (M/EI) را از انتهای A تا نقطه دخواه X در نظر می‌گیریم و می‌نویسیم

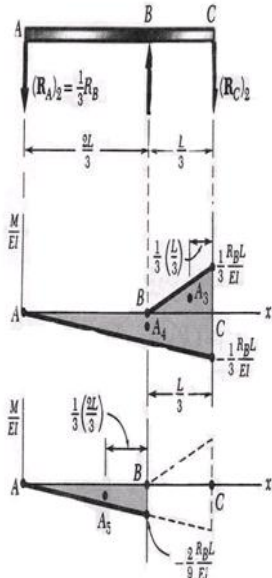
$$(t_{X/A})_w = A_1 \frac{x}{3} + A_2 \frac{x}{4} = \left(\frac{1}{\gamma} \frac{wLx}{EI} \right) \frac{x}{3} + \left(-\frac{1}{\gamma} \frac{wx^2}{EI} \right) \frac{x}{4} = \frac{wx^3}{24EI} (\gamma L - x)$$

با قرار دادن به ترتیب $x = \frac{2}{3}L$ و $x = \frac{3}{4}L$ داریم

$$(t_{C/A})_w = \frac{wL^4}{72EI} \quad (t_{B/A})_w = \frac{4}{223} \frac{wL^4}{EI}$$

176

بارگذاری عکس العمل اضافی



$$(t_{C/A})_R = A_r \frac{L}{4} + A_f \frac{L}{4} = \left(\frac{1}{2} \frac{R_B L}{EI} \right) \frac{L}{4} + \left(-\frac{1}{2} \frac{R_B L}{EI} \right) \frac{L}{4} = -\frac{1}{11} \frac{R_B L^2}{EI}$$

$$(t_{B/A})_R = A_d \frac{1}{9} L = \left[-\frac{1}{2} \frac{R_B L}{EI} \left(\frac{1}{3} L \right) \right] \frac{1}{9} L = -\frac{1}{22} \frac{R_B L^2}{EI}$$

باگذاری ترکیبی با جمع کردن نتایج بدست آمده می‌توانیم

$$t_{C/A} = \frac{wL^2}{24EI} - \frac{1}{11} \frac{R_B L^2}{EI} \quad t_{B/A} = \frac{1}{22} \frac{(wL^2 - R_B L^2)}{EI}$$

عکس العمل در B با قرار دادن مقادیر $t_{C/A}$ و $t_{B/A}$ در معادله (۱) داریم

$$\left(\frac{wL^2}{24EI} - \frac{1}{11} \frac{R_B L^2}{EI} \right) = \frac{1}{2} \left[\frac{1}{22} \frac{(wL^2 - R_B L^2)}{EI} \right]$$

$$R_B = \frac{wL^2}{11}$$

$$R_B = \frac{wL^2}{11}$$

177

۷- در شکل زاده شده، دو تیزداری سخته خمشو بگان (F.I) می‌باشد. خیز نقطه B کدام است؟

امثلین مثالیت ۷۷



۸- تیزی مطابق شکنی تعنت در بار قائم P و $\frac{P}{4}$ (پرسه نیت) قرار دارد. برای اینکه خیز انتهایی تیز

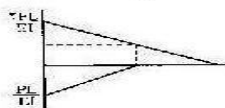
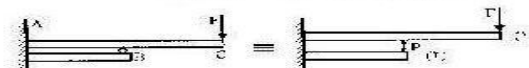
صفر شود، آنرا چند در پاسد؟

امثلین مثالیت ۷۸



178

۷- مکرره (۲) صحیح است.
تفصیر شکل B در سالت آ را از روشن نگر صفحه محاسبه می کنیم.



$$\tau_{H/A} = (\delta_H)_r - (FL \times \frac{L}{2} \times \frac{M_r}{P} + FL \times L \times \frac{L}{2} - PL \times \frac{L}{2} \times \frac{\tau_L}{P}) \times \frac{1}{EI}$$

$$= \frac{\epsilon FL^2}{2EI} - \frac{PL^2}{4EI}$$

$$(\delta_H)_r = \frac{PL^2}{4EI}$$

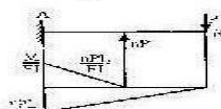
$$(\phi_B)_r - (\delta_H)_r \Rightarrow \frac{\epsilon FL^2}{2EI} - \frac{PL^2}{4EI} = \frac{2PL^2}{4EI} \Rightarrow \frac{2PL^2}{4EI} = \frac{\epsilon FL^2}{2EI} \Rightarrow P = \frac{\epsilon}{2} F$$

$$\phi_B = \frac{PL^2}{4EI} - \frac{\epsilon FL^2}{2EI}$$

پاره خط در هبکدام زمینه ها موجود نیست.

۸- مکرره (۳) صحیح است.

از روشن نگر صفحه اسناده می کنیم.



$$\tau_{H/A} = \delta_B = \dots \Rightarrow \frac{nPL}{EI} \times \frac{L}{2} \times (L - \frac{L}{2}) - \frac{P(\frac{3L}{2})^2}{4EI} = \dots$$

$$\Rightarrow \frac{\epsilon nPL^2}{2EI} = \frac{nPL^2}{4EI} \Rightarrow n = \frac{\epsilon}{2}$$

| | | |
|---|--|---|
| <p>PETER</p> <p>1.21</p> <p>*) Expand</p> <p>$(a+b)^n = a^n + b^n$</p> <p>$= (a + b)^n$</p> <p>$= (a + b)^n$</p> <p>$= (a + b)^n$</p> | | <p>Solving equation by one Blende:</p> <p>$\frac{1}{n} \sin x = ?$</p> <p>$\frac{1}{\sqrt{2}} \sin x =$</p> <p>$\sin x = \frac{1}{\sqrt{2}}$</p> |
|---|--|---|

After explaining to a student through various lessons and examples that:

$$\lim_{x \rightarrow 8} \frac{1}{x-8} = \infty$$

I tried to check if she really understood that, so I gave her a different example.
This was the result:

$$\lim_{x \rightarrow 5} \frac{1}{x-5} = \infty$$

3. Find x.

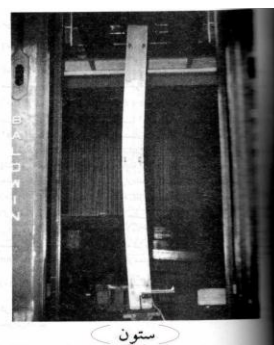


Here it is



181

ستون



182



183

میراث ایران

• بارگذاری میله کوتاه

- میله ی کوتاهی که توسط نیروی اعمالی P گذارا از مرکز جرمش تحت فشار خالص بارگذاری شده است را در نظر می گیریم تا زمانیکه تنش اعمالی در محدوده تغییر شکل بر گشت یزدایر (الاستیک) باشد میله چار کاهش طول به اندازه $\Delta L = \frac{P \cdot L}{A \cdot E}$ می گردد، اگر مقدار نیرو را باز هم افزایش دهیم میله شکم داده و به یک دیگ سخت تبدیل شده و یا می شکند.

184



185

بار گذاری میله بلند

- میله بلند نازک و مستقیمی را در نظر می گیریم که با نیروی P گذرا از مرکز جرم میله تحت فشار خالص بارگذاری شده است. نیروی P بتدريج از صفر افزایش می يابد، نیروی بحراني (مقدار نیروی محوري P) است که تحت آن تير به مرز تعادل ناپايدار می رسد در اين حالت اعمال کوچکترین نیروی افقی به میله باعث ايجاد حالت کمانی و سپس شکست میله می گردد. اگر مقدار نیروی P (اعمالي به ميله به صورت محوري- فشاري) كمتر از حد نيروي (پاشد، ميله داراي حالت تعادل پايدار و اگر مقدار نيرو محوري- فشاري P بيشتر از حد نيروي بحراني شود ميله دچار تعادل ناپايدار مي گردد.
- لذا كمانش مرز حالت تعادل پايدار و ناپايدار در بارگذاري محوري فشاري در يك تير مي باشد

186

• اگر میله تحت بار محوري-فشاري به اندازه اي بلند باشد که بر اثر کمانش گسيخته شود، آن را ستون مي نامند و گرنه ميله يك عضو فشاري ساده است. هيج مرزي برای متمايز کردن ستون از عضو فشاري وجود ندارد، لذا گسيختگی ستون بسبيار خطرناک است، زيرا گذاشتن از مرز^(P_{cr}) با اخطار همراه نیست در مورد يك تير افزایش بار خمشي باعث افزایش خیز تير مي شود که خیز زياد نشانه ي اضافه بار است.

187

بار بحراني

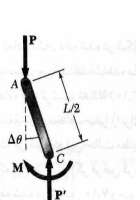
• اين فصل به طراحی و تحلیل ستون ها اختصاص داشت، يعني عضوهای منشوری که بارهای محوري را متحمل می شدند.

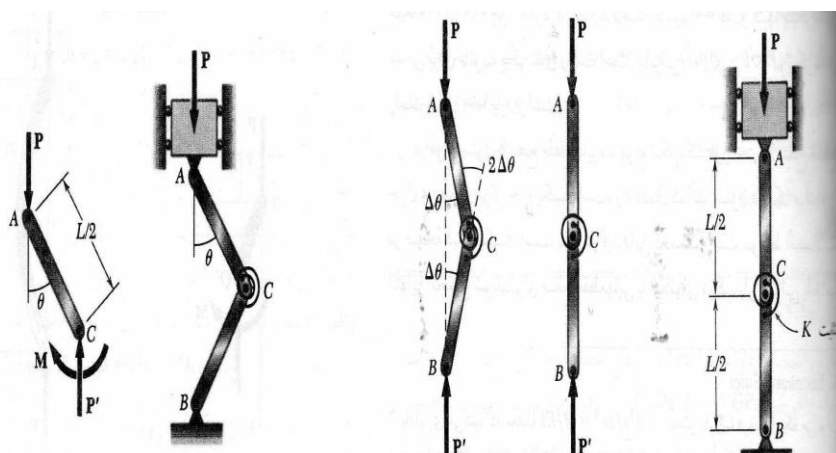
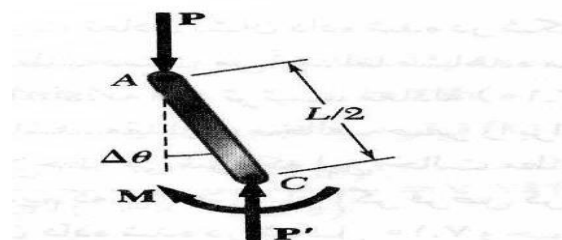
• برای آشنایی با رفتار شتونها، نخست تعادل نمونه ی ساده ای را در نظر گرفتیم و دریافتیم که به ازای مقادیر P که تا مقدار معین بهنام بار بحراني افزایش یابند، دو وضعیت تعادل برای نمونه امکانپذیر بود: که میتوانست کاملاً بزرگ باشد. از این مطلب نتیجه گرفتیم که اولین وضعیت تعادل به ازای $P > P_{cr}$ ناپایدار و به ازای پایدار بود.

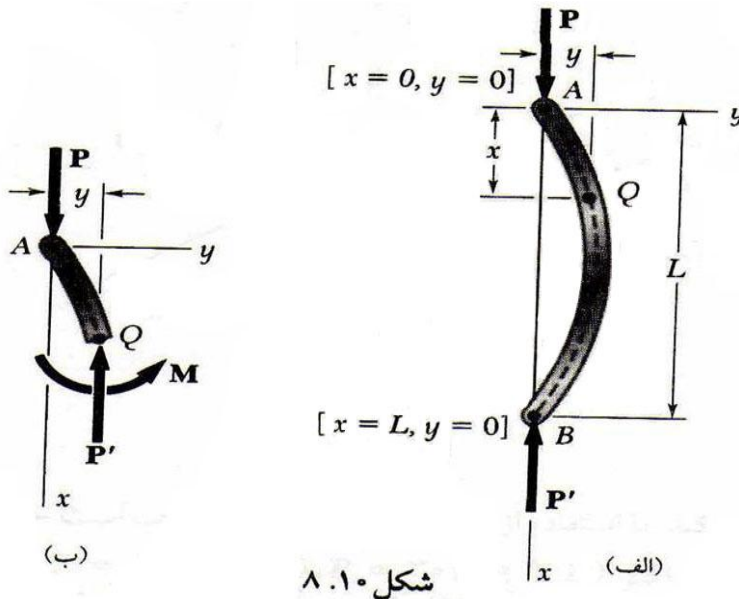
زیرا در حالت دوم تنها وضعیت تعادل ممکن به حساب می آمد.

188

- ستون انتهای-پین داری به طول L و با صلابت خمسي ثابت EI را تحت تاثیر بار محوري مرکزي، P در نظر گرفتيم.
- با فرض اينكه ستون کمانش داشت متوجه شدیم که گشتاور خمسي در نقطه ي Q برابر است با Py و مينويسيم :

$$\frac{d^2y}{dx^2} = \frac{M}{EI} = -\frac{P}{EI}y$$






191

• فرمول اویلر. با حل این معادله دیفرانسیل و با در نظر گرفتن شرایط مرزی متناظر و با ستونی انتهای-پین دار کمترین بار P_{cr} را برای اینکه کمانش رخ دهد. این بار بار بحرانی نام دارد و آن را با نشان می دهیم و از فرمول اویلر به دست می آید:

$$P_{cr} = \frac{\pi^2 EI}{L^2}$$

192

- که در آن طول L طول ستون است و به ازای این بار یا هر بار بزرگتر، تعادل ستون ناپایدار است و تغییر مکان عرضی رخ می دهد. مساحت سطح مقطع ستون را با A و شعاع ژیراسیون آن را با r نشان دادیم و تنש بحرانی σ_{cr} متناظر با P_{cr} بار بحرانی را تعیین کردیم

$$\sigma_{cr} = \frac{\pi^2 E}{(L/r)^2}$$

193

- ستون تحت بار تا رسیدن به بار بحرانی P_{cr} مستقیم باقی می ماند و پس از شکست ناگهانی وجود دارد
- بسته به طول ستون تنشهای واقعی در لحظه ی کمانش ممکن است نسباتا کم باشند.
- به همین دلیل معیار اینمی شامل مقایسه بار اعمالی با بار بحرانی است.
- مقدار نیروی بحرانی در یک تیر برابر است با:

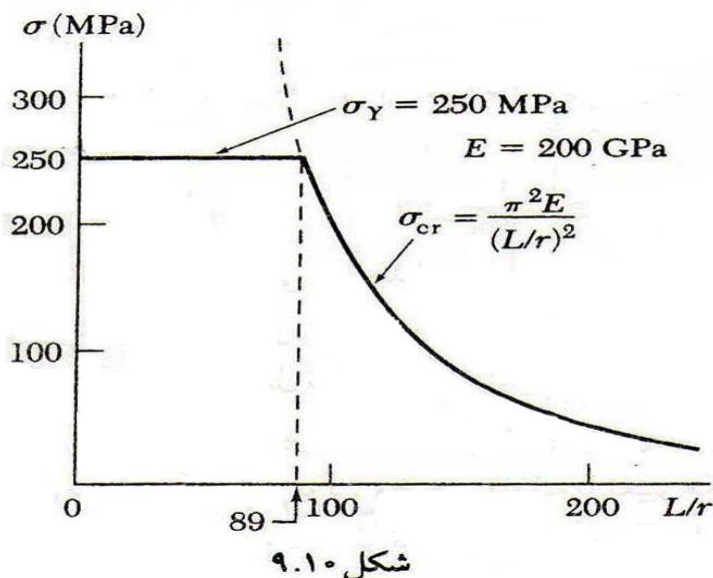
$$P_{cr} = \frac{\pi^2 EI}{L_e^2}$$

194

σ_{cr}

- قابل محاسبه است که در آن EI مدول صلابت(مدول خمشی مقطع ستون) و L_e طول مؤثر ستون می باشد ($L_e = K_o L$)
- نسبت باریکی_r.مقدار_r را نسبت باریکی و منحنی نمایش تغییرات_r را بر حسب_r رسم کردیم چون تحلیل ما بر پایه تنشهای کمتر از استحکام تسليم آن ماده بود متوجه شدیم که وقتی_r ستون تسليم می شود.

195



شکل ۹.۱۰

196

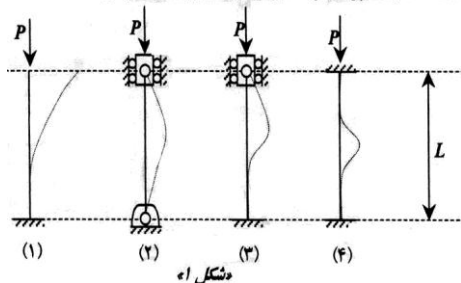
- طول مؤثر در بارهای بحرانی ستونها با شرایط متغیر میباشد

$$P_{cr} = \frac{\pi^2 EI}{L_e^2}$$

197

در حالت ستون یک گیردار (۱) طول مؤثر دو برابر طول واقعی تیر ($2L = 2L_e$)
 در حالت ستون دو سر لولا (۲) طول مؤثر برابر طول واقعی ($L = L_e$)
 در حالت ستون یک سر گیردار (۳) طول مؤثر $0.7L_e$ طول واقعی ($0.7L = 0.7L_e$)
 و در حالت ستون دوسر گیردار (۴) طول مؤثر $0.5L_e$ برای طول واقعی تیر ($0.5L = 0.5L_e$). خواهد بود.

طول مؤثر L_e برای چهار حالت متعارف و پر کار برد ستونها بصورت زیر تعریف میگردد:



198

- رابطه $P_{cr} = \frac{\pi^2 EI}{L_e^2}$ به رابطه ستون اویلر معروف است نسبت طول ستون به شعاع ژیراسیون آنرا (L/r) ضریب رعنایی تیر گویند که از پارامترهای مهم طراحی ستون در برابر کمانش است.

• بار محوری خارج از مرکز:

- فرمول سکانت: در ستونهایی که با رمحوری خارج از مرکز  حمل می کردند در نظر می گیریم. در ستون انتهایین داری که تحت تاثیر بار P با خروج از مرکز e قرار می گرفت، بار را با بار محوری مرکزی کوپلی گشتاور $M_A = Pe$

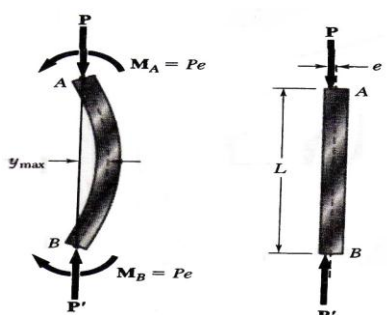
$$y_{max} = e \left[\sec \left(\sqrt{\frac{P}{EI}} \frac{L}{2} \right) - 1 \right] \quad y_{max} = e \left[\sec \left(\frac{\pi}{\gamma} \sqrt{\frac{P}{P_{cr}}} \right) - 1 \right]$$

$$\frac{P}{A} = \frac{e}{r} \sec \left(\frac{\pi}{\gamma} \sqrt{\frac{P}{P_{cr}}} \right) \quad \sec \left(\frac{\pi}{\gamma} \sqrt{\frac{P}{P_{cr}}} \right) = \frac{y_{max} + e}{e}$$

سپس تنش ماقزیم را در ستون تعیین کردیم و از عبارت به دست آمده برای . تنش، فرمول سکانت را بدست اوردیم

$$\frac{P}{A} = \frac{\sigma_{MAX}}{1 + \frac{ec}{r^2} \sec \left(\frac{1}{2} \sqrt{\frac{P}{EA}} \frac{L_e}{r} \right)}$$

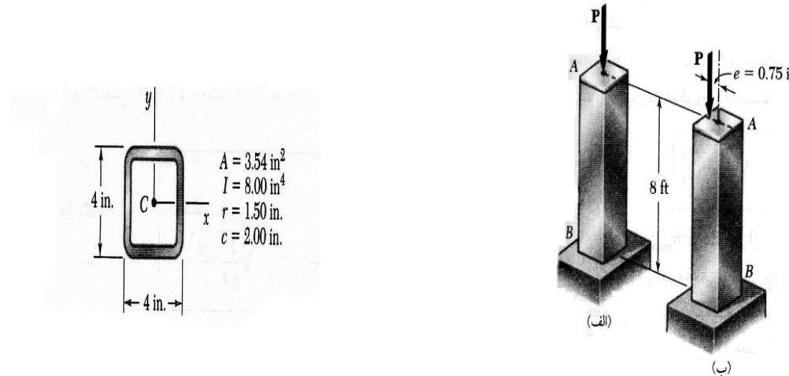
- این معادله را می توان بر حسب نیرو بر سطح واحد نیز حل کرد که ایجاد تنش ماکزیموم در ستون انتهای پین دار یا ستونهای دیگری با باریکی موثر L_e/r می شود



201

- مساله ی نمونه ۲، ۱۰
- ستون یکنواخت AB از لوله ساختمانی به طول 8ft با سطح مقطع نشان داده شده تشکیل شده است
- الف) با استفاده از فرمول اویلر و ضریب اطمینان ۲ بار مرکزی مجاز برای ستون و تنش عمودی متاظر را معین کنید
- ب) با فرض اینکه بار مجاز بدست آمده در قسمت الف مطابق شکل در نقطه ای به فاصله $y = 0,75 \text{ in}$ از محور هندسی ستون وارد شود، تغییر مکان افقی انتهای ستون و تنش عمودی ماکزیموم در ستون را تعیین کنید. ($E=29$)

202



203

حل:

طول مؤثر چون یک انتهای سفون ثابت و انتهای دیگر آن آزاد است، طول مؤثر آن برابر است با

$$L_e = 2(8 \text{ ft}) = 16 \text{ ft} = 192 \text{ in}$$

بار بعهانی، با استفاده از فرمول اوپلر، می‌نویسیم

$$P_{cr} = \frac{\pi^2 EI}{L_e^2} = \frac{\pi^2 (4 \times 10^3 \text{ psi})(19200 \text{ in}^4)}{(192 \text{ in})^2} = 62 \text{ kips}$$

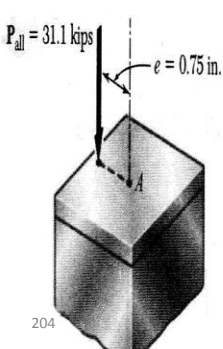
الف. نش و بار مجاز برای ضرب اطمینان ۲، به دست می‌آوریم

$$P_{all} = \frac{P_{cr}}{F.S.} = \frac{62 \text{ kips}}{2} = 31.1 \text{ kips}$$

$$P_{all} = 31.1 \text{ kips} \quad \blacktriangleleft$$

$$\sigma = \frac{P_{all}}{A} = \frac{31.1 \text{ kips}}{3.54 \text{ in}^2}$$

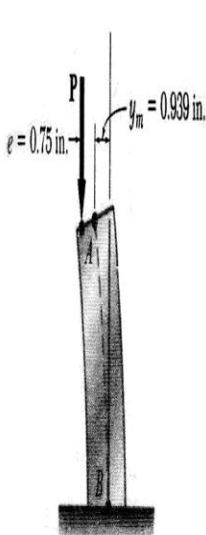
$$\sigma = 8.74 \text{ ksi} \quad \blacktriangleleft$$



• ب)

- بار خارج از مرکز مشاهده می شود که ستون AB و بارگذاری آن مانند نیمه ی بالایی ستون است که در استخراج فرمول سکانت از آن استفاده شد نتیجه میگیریم که فرمولها را در این مورد نیز می توان مستقیماً به کار برد یاد آوری آنکه $P_{all}/P_{cr} = 1/2$ و با استفاده از معادله تغییر مکان افقی نقطه ی A را محاسبه می کنیم

205



$$y_m = e \left[\sec \left(\frac{\pi}{\sqrt{P}} \right) - 1 \right] = (0.75 \text{ in}) \left[\sec \left(\frac{\pi}{\sqrt{P}} \right) - 1 \right] = (0.75 \text{ in}) [2.151 - 1]$$

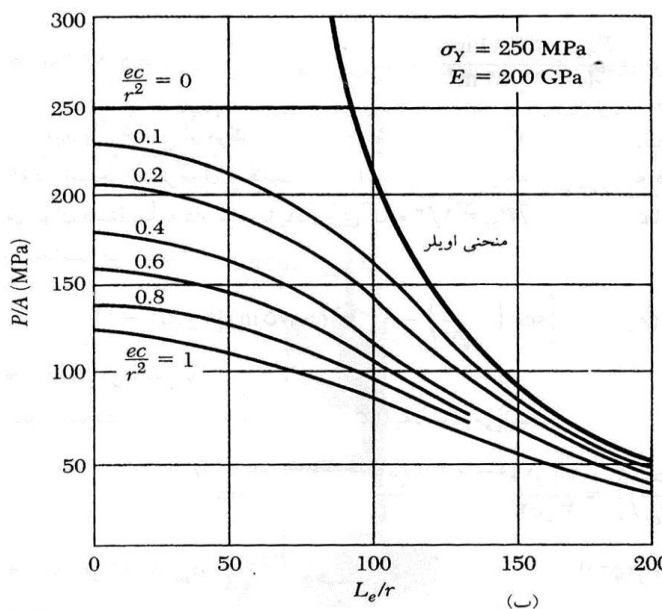
$$y_m = 0.939 \text{ in} \quad \blacktriangleleft$$

نشعوئی ماکریم از معادله (۳۵.۱۰) با دست می آید:

$$\sigma_m = \frac{P}{A} \left[1 + \frac{ec}{r} \sec \left(\frac{\pi}{\sqrt{P}} \right) \right] = \frac{21 \text{ kips}}{3.54 \text{ in}^2} \left[1 + \frac{(0.75 \text{ in})(1 \text{ in})}{(1.50 \text{ in})^2} \sec \left(\frac{\pi}{\sqrt{P}} \right) \right]$$

$$= (1.874 \text{ ksi}) [1 + 0.697 (2.151)] \quad \sigma_m = 22.0 \text{ ksi} \quad \blacktriangleleft$$

206



207

• طراحی ستونهای واقعی

- هر ستون را مانند ستون همگن راست در نظر می‌گیریم.
- چون همه ی ستونهای واقعی نقص دارند طراح ستونهای واقعی با استفاده از از فرمولهای تجربی بر پایه آزمونهای آزمایشگاهی کدهای تصویب شده توسط سازمانهای حرفه ای انجام می‌شود.

208

• ستونها با بارگذاری مرکزی

- در باره ی طراحی ستونهای بارگذاری مرکزی که از آلミニوم فولاد یا چوب ساخته شده بودند بحث کردیم هر ماده این ماده، این طراحی بر پایه ی فرمولهایی بود که تنش مجاز را به صورت می آورد. نسبت باریکی L/r آن ستون را بیان می کرد

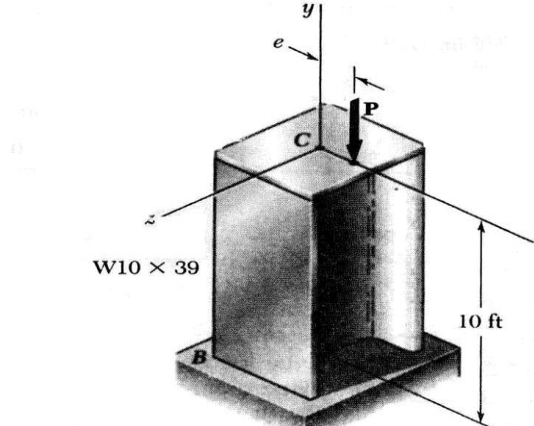
209

• ستونها با بارگذاری خارج از مرکز

- روش تنش مجاز - در روش طراحی ستونهای تحت بارگذاری خارج از مرکز آموختیم.
 - اولین روش تنش مجاز بود. روشهای محتاطانه که در آن، فرض برآ آن بود که تنش مجاز برابر حالتی است که بارگذاری مرکزی باشد.
 - روش تنش مرکزی ایجاب می کرد که نامعادله ی زیر بر آورده شود:
- $$\frac{P}{A} + \frac{Mc}{I} \leq \sigma_{all}$$

210

۳۶.۱۰ بار محوری \mathbf{P} در نقطه‌ای واقع بر محور x در فاصله $e = 5\text{ in}$ از محور هندسی ستون BC فولاد-نوردشده $W10 \times 39$ وارد می‌شود. با استفاده از $E = 29 \times 10^6 \text{ psi}$, مطلوب است (الف) بار \mathbf{P} برای اینکه تغییر مکان افقی بالای ستون برابر in باشد، (ب) تنش ماکریم متناظر در ستون.



211

$$W10 \times 39 : \quad A = 11.5 \text{ in}^2, \quad I_y = 45.0 \text{ in}^4, \quad S_y = 11.3 \text{ in}^3$$

$$L_e = 2L = (2)(10) = 20 \text{ ft} = 240 \text{ in}$$

$$P_{cr} = \frac{\pi^2 EI}{L_e^2} = \frac{\pi^2 (29 \times 10^6)(45.0)}{(240)^2} = 223,61 \times 10^3 \text{ lb} = 223,61 \text{ kips}$$

$$y_{max} = e \left[\sec \left(\frac{\pi}{2} \sqrt{\frac{P}{P_{cr}}} \right) - 1 \right]$$

$$\sec \left(\frac{\pi}{2} \sqrt{\frac{P}{P_{cr}}} \right) = \frac{y_{max} + e}{e}$$

$$\cos \left(\frac{\pi}{2} \sqrt{\frac{P}{P_{cr}}} \right) = \frac{e}{y_{max} + e}$$

$$\frac{P}{P_{cr}} = \left[\frac{\pi}{2} \arccos \frac{e}{y_{max} + e} \right]^2 = \left[\frac{\pi}{2} \arccos \frac{5}{240 + 5} \right]^2$$

212

سه سطون دو سر مفصل که جنس و طول یکسانی دارند، می‌توانند در هر جهتی کمash کنند. با توجه به اینکه سطح مقطع سطونها مثلث متساوی الاضلاع، دایره و مربع می‌باشند و مساحت مقطع هر سه سطون با هم مساوی است، کدام مقطع دارای بار برخانی بیشتری است؟

- | | |
|---------|-----------------|
| ۱) مثلث | ۲) دایره‌ای |
| ۳) مربع | ۴) فرقی نمی‌کند |

213

نمودار مقطع کر I بیشتری را خواهد داشت در پیرامون کامش حین کند

$$\boxed{I = \frac{b b^2}{36} = \frac{b (b \sqrt{\frac{3}{2}})^2}{36} = b^4 \left(\frac{\sqrt{3}}{24}\right)}$$

$$\text{مربع: } I = \frac{a^4}{12}$$

$$\text{دایره: } I = \frac{\pi}{4} R^4$$

$$M_p = \frac{\pi^2 EI}{L^2}$$

مساحت کم برابر است با بزرگ

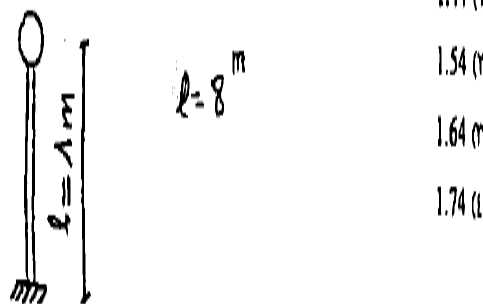
نمودار مقطع کر I بیشتری ممکن است از کامش بوزار است

$$\frac{b \times b \sqrt{\frac{3}{2}} / 2}{2} = a^2 = \pi R^2 \rightarrow I = \frac{\pi}{4} \left(\frac{a^2}{\pi} \right)^2 = \frac{a^4}{4 \times \pi}$$

$$\rightarrow I = \left(\frac{16}{3} a^4 \right) \left(\frac{1}{24} \right) = \frac{2\sqrt{3}}{3} a^4$$

214

۳- بگ مخزن آب به روزن بک نم در بالای بک سر ز فشار دارد. ضرب الطیان سازه در مخلل کمالش چند است؟ ($EI = 4 \times 10^4 \text{ kg.cm}^2$)



215

$$\text{ضریب اطمینان} = \frac{\text{بار موجور}}{\text{بار اطمینان}} = \frac{(2L)^2}{l^2} = \frac{\pi^2 EI}{l^2} = \frac{\pi^2 \times 4 \times 10^4}{1600^2} = 1.54$$

216

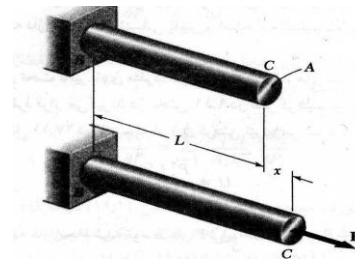
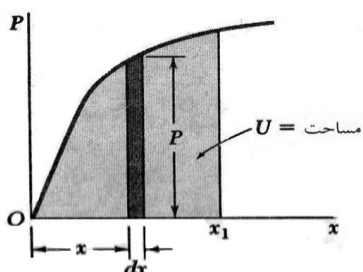


217

روشهای انرژی

- در فصهای گذشته، با روابط موجود بین نیروها و تغییر شکل‌های حاصل از شرایط بارگذاری مختلف سروکار داشتیم. تحلیل ما بر پایه دو مفهوم بنیادی، یعنی مفهوم تنش (فصل ۱) و مفهوم کرنش (فصل دوم) قرار داشت. حال سومین مفهوم مهم یعنی مفهوم انرژی کرنش را بیان می‌کنیم. این فصل به یادگیری انرژی کرنش و راههای استفاده از آن، برای تعیین تنشها و تغییر شکالها در سازه‌هایی که تحت اثر بارگذاری استاتیکی و ضربه‌ای قرار می‌گرفند، اختصاص داشت.

- میله‌ی یکنواختی را که تحت بار محوری P که به آهستگی زیاد می‌شود قرار داشت در نظر انرژی کرنش. دیدیم که سطح زیر نمودار بار-تغییر شکل کار انجام شده توسط P را نشان می‌دهد. این کار برابر است با انرژی آن میله که مربوط به تغییر شکل ناشی از P است گرفتیم

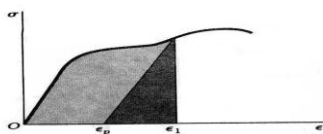


$$U =$$

- انرژی کرنش. دیدیم که سطح زیر نمودار بار-تغییر شکل کار انجام شده توسط P را نشان می‌دهد. این کار برابر است با انرژی آن میله که مربوط به تغییر شکل ناشی از P است

$$\bullet \text{ انرژی کرنش} = U = \int_0^{x_1} P dx$$

- چگالی انرژی کرنش
- تنش در سار مسیر یکنواخت است. تقسیم انرژی کرنش بر حجم میله، انرژی کرنش در حجم واحد.
- از آن به منزله ی چگالی انرژی کرنش آن ماده استفاده کردیم. چگالی انرژی کرنش برابر است با مساحت سطح زیر نمودار تنش_کرنش ماده
- کرنش ماندگار وجود دارد و تنها چگالی انرژی کرنش متضایر با مساحت مثلث بازیابی میشود، باقیمانده ی انرژی در طول تغییر شکل ماده به صورت گرما از بین میرود



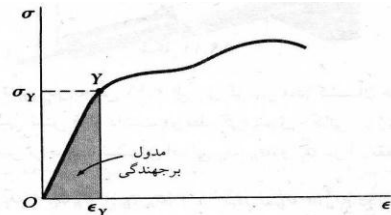
=

- مدول چفرمگی. سطح زیر نمودار تنش_کرنش کل، مشخص کننده ی مدول چفرمگی(کسیختگی) و برابر با اندازه‌ی کل انرژی ای است که می‌توان از آن ماده به دست آورد. اگر تنش عمودی در حد تتناسب ماده ی باقی بماند، میتوان چگالی انرژی کرنش را چنین نوشت:

$$\sigma^2 / 2E$$

- **مدول برجهندگی.** سطح زیر منحنی تنش-کرنش از کرنش صفر تا کرنش ϵ_y در تسلیم را مدول برجهندگی آن ماده می نامند و نشان دهنده ی انرژی بر واحد حجم واحد است که این ماده می تواند بدون تسلیم شدن جذب کند. نوشتیم:

$$u_Y = \frac{\sigma^2 Y}{2E}$$



223

- انرژی مربوط به تنشهای عمودی را در نظر گرفتیم.
- اگر میله ای به طول L و سطح مقطع مقطع متغیر در A در انتهاش تحت اثر بار مرکزی محوری P قرار گیرد، انرژی کرنش میله برابر است با

$$U = \int_0^L \frac{P^2}{2AE} dx$$

224

انرژی کرنش تحت بار محوری. اگر میله با سطح مقطع یکنواخت A باشد، انرژی کرنش برابر است با

$$U = \frac{PL}{4AE}$$

225

- انرژی کرنش مربوط به خمش برای تیری که تحت اثر بار عرضی قرار دارد انرژی کرنش مربوط به تنشها عمودی برابر است با

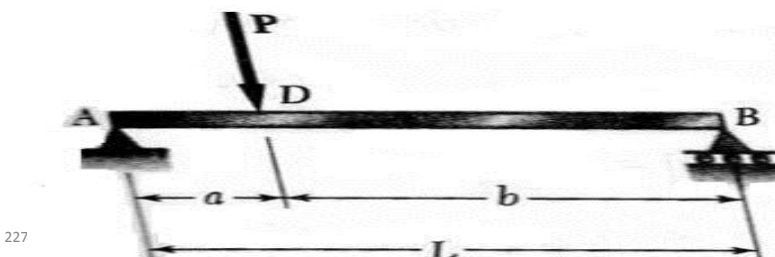
$$U = \int_0^L \frac{M^2}{2EI} dx$$

226

•
• مساله ی نمونه ۲، ۱۱۴

- (الف) انرژی کرنش تیر منشوری AB را برای بارگذاری نشان داده شده تعیین کنید. تنها اثر تنشهای عمودی ناشی از خمش را به حساب آورید. (ب) مقدار انرژی کرنش را محاسبه کنید، در صورتی که تیر از نوع W10 باشد و

$$P=40 \text{ kips}, \quad L=12\text{ft}, \quad a=3\text{ft}, \quad b=9\text{ft}, \quad E=29 \text{ psi}$$



حل.

گشتاور خمی. با استفاده از نمودار جسم آزاد تمام تیر، عکس العملها را محاسبه می کنیم

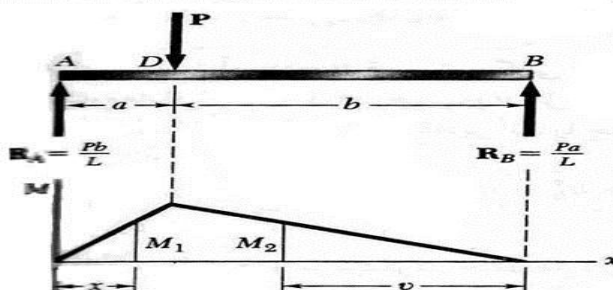
$$R_A = \frac{Pb}{L} \uparrow \quad R_B = \frac{Pa}{L} \uparrow$$

در قسمت AD تیر، گشتاور خمی برابر است با

$$M_1 = \frac{Pb}{L} x$$

در قسمت DB تیر، ملاحظه می شود که گشتاور خمی در فاصله v از انتهای B برابر است با

$$M_2 = \frac{Pa}{L} v$$

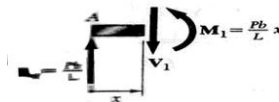


الف. انرژی کرنش. از آنجاکه انرژی کرنش کمیتی اسکالار است، انرژی کرنش قسمت AD را با انرژی کرنش قسمت DB جمع می‌کنیم تا انرژی کرنش کل تیر به دست آید. با استفاده از معادله (۱۷.۱۱)، می‌نویسیم

$$\begin{aligned} U &= U_{AD} + U_{DB} = \int_0^a \frac{M_1^2}{EI} dx + \int_0^b \frac{M_2^2}{EI} dv \\ &= \frac{1}{EI} \int_0^a \left(\frac{Pb}{L} x \right)^2 dx + \frac{1}{EI} \int_0^b \left(\frac{Pa}{L} v \right)^2 dv \\ &= \frac{1}{EI} \frac{P^2}{L^2} \left(\frac{b^3 a^3}{3} + \frac{a^3 b^3}{3} \right) = \frac{P^2 a^2 b^2}{9 E I L^2} (a + b) \end{aligned}$$

یا، از آنجاکه $L = 1$

$$U = \frac{P^2 a^2 b^2}{9 E I L} \quad \blacktriangleleft$$



: D تا A از



: D تا B از

229

ب. محاسبه مقدار انرژی کرنش. گشتاور لختی تیر فولادی نورده شده 45×10 W از پیوست ج به دست می‌آید، اطلاعات مفروض را با استفاده از یکاهای kips و in در اینجا نکرار می‌کنیم

$$P = 40 \text{ kips}$$

$$L = 12 \text{ ft} = 144 \text{ in}$$

$$a = 3 \text{ ft} = 36 \text{ in}$$

$$b = 9 \text{ ft} = 108 \text{ in}$$

$$E = 29 \times 10^3 \text{ psi} = 29 \times 10^3 \text{ ksi}$$

$$I = 248 \text{ in}^4$$

با جایگزینی در عبارت به دست آمده برای U ، داریم

$$U = \frac{(40 \text{ kips})^2 (36 \text{ in})^2 (108 \text{ in})^2}{6(29 \times 10^3 \text{ ksi})(248 \text{ in}^4)(144 \text{ in})}$$

$$U = 3,189 \text{ in.kips} \quad \blacktriangleleft$$

230

انرژی کرنش مربوط به تنشهای برشی، انرژی کرنش مربوط به تنشهای برشی را دریافتیم که چگالی انرژی کرنش ماده تحت برش خالص برابر است با

$$u = \frac{\tau_{xy}^2}{2G}$$

که در آن، τ_{xy} تنش برشی و G مدول صلابت آن ماده است.

231

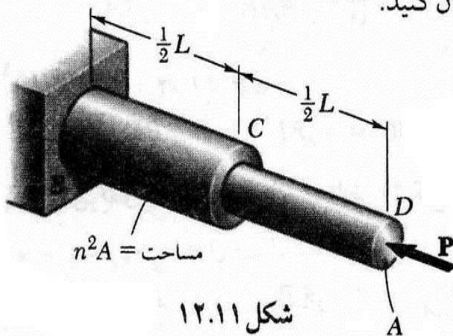
- انرژی کرنش مربوط به پیچش در میل گردانی به طول L و سطح مقطع یکنواخت که در طرفین آن کوپلهایی به مقدار T وارد میشود انرژی کرنش برابر

$$U = \frac{T^2 L}{2GJ}$$

- که در آن L گشتاور لختی قطبی سطح مقطع میل گردان است.

232

میله‌ای از دو قسمت BC و CD هم جنس و با طول یکسان، اما با دو مقطع متفاوت تشکیل شده است (شکل ۱۲.۱۱). انرژی کرنش میله را وقتی که در معرض بار محوری P قرار دارد، بر حسب P , L , E و مساحت سطح مقطع A قسمت CD و نسبت n دو قطر بیان کنید.



● حل :

از معادله (۱۴.۱۱) برای محاسبه انرژی کرنش هریک از دو قسمت استفاده می‌کنیم، و روابط به دست آمده را جمع می‌کنیم:

$$U_n = \frac{P^2 \left(\frac{1}{4} L \right)}{2AE} + \frac{P^2 \left(\frac{1}{4} L \right)}{2(n^2 A)E} = \frac{P^2 L}{2AE} \left(1 + \frac{1}{n^2} \right)$$

یا

$$U_n = \frac{1 + n^2}{2n^2} \frac{P^2 L}{2AE} \quad (15.11)$$

تحقیق می‌کنیم که به ازای $n = 1$ داریم

$$U_1 = \frac{P^2 L}{2AE}$$

- حالات کلی تنش. انرژی کرنش ماده ی کشسان را که تحت حالت کلی تنش قرار داشت در نظر گرفتیم و چگالی انرژی کرنش آن را در نقطه ای مفروض بر حسب تنشهای اصلی σ_a , σ_b و σ_c در آن نقطه بیان کردیم:

$$U = \frac{1}{2E} [\sigma_a^2 + \sigma_b^2 + \sigma_c^2 - 2v(\sigma_a \sigma_b + \sigma_b \sigma_c + \sigma_c \sigma_a)]$$

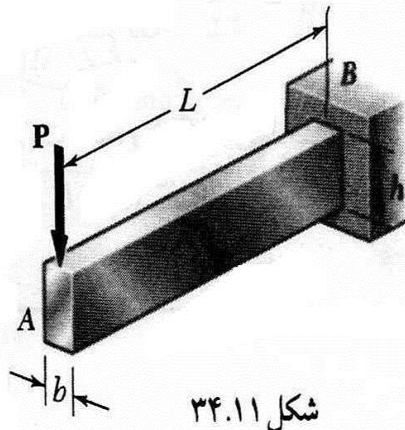
235

عضوهای تحت تأثیر باری منفرد. انرژی کرنش عضوهای سازه‌ای را که تحت تأثیر باری منفرد قرار می‌گیرند در مورد این تیر بارگذاری دریافتیم که انرژی کرنش تیر برابر است با

$$U = \frac{P_1^2 L^3}{9EI}$$

236

تغییر مکان انتهای تیر یک سر گیردار AB (شکل ۳۴.۱۱) را با درنظر گرفتن اثر (الف) تنشهای عمودی به تنهایی، (ب) هم تنشهای عمودی و هم تنشهای برشی تعیین کنید.



شکل ۳۴.۱۱

237

• حل:

- الف. اثر تنشهای عمودی کار نیروی P وقتی به آهستگی بر نقطه y_A اثر می کند برابر است با

$$U = \frac{1}{2} P y_A$$

که در مثال تنها اثر لبا جایگزینی عبارت به دست آمده برای انرژی کرنش تیر مثال ۳.۱۱ به جای تنشهای عمودی در نظر گرفته شده بود، مینویسیم

$$\frac{P^2 L^3}{6EI} = \frac{1}{2} P y_A$$

و با حل آن بر حسب y_A

$$y_A = \frac{PL^3}{3EI}$$

238

• روش شرح داده شده در بالا کاربرد محدودی دارد، زیرا محدود به سازه هایی است که تحت اثر بار منفرد متمرکزی قرار دارند و برای تعیین تغییر مکان در نقطه اثر آن بار به کار می رود و در بقیه بخش های این فصل، روش بسیار عمومی تری را نشان دایم که می توان برای تعیین تغییر مکان مختلف سازه ای که تحت تأثیر چند بار قرار دارد استفاده کرد.

239

قضیه کاستیگلیانو

• انرژی کرنش سازه ای را که تحت تأثیر چند بار قرار می گرفت که مطابق آن به اندازه ی تغییر مکان X_j ، در نقطه ی اثر بار P_j در امتداد خط اثر برابر است با مشتق جزئی انرژی کرنش آن سازه نسبت به بار P_j . نوشتیم

$$\mathcal{X}_j = \frac{\partial U}{\partial P_j}$$

240

- همچنین می توان از قضیه ی کاستیگلیانو برای تعیین شبکه در نقطه اثر کوپل M_j استفاده کرد. با نوشتن

$$\theta_j = \frac{\partial U}{\partial M_j}$$

241

و زاویه پیچش در مقطعی از میل گردن که در آن، گشتاور پیچشی T_j وارد می شود
چنین به دست آمد

$$\phi_j = \frac{\partial U}{\partial T_j}$$

242

- قضیه ی کاستیگلیانو را برای تعیین مکانها و شبیهای در نقاط مختلف سازه ای مفروض به کار بردیم. با استفاده از بارهای مجازی توانستیم تغییر مکان و شبیه را در نقاطی که عملاً بر آنها باری وارد نمی شود به دست آوریم. همچنین ملاحظه کردیم که محاسبه ی تغییر مکان X_j در صورتی ساده می شود که قبل از انتگرال گیری، نسبت به بار P_j دیفرانسیل بگیریم. در مورد تیر:

$$X_j = \frac{\partial U}{\partial P_j} = \int_0^L \frac{M}{EI} \frac{\partial M}{\partial P_j} dx$$

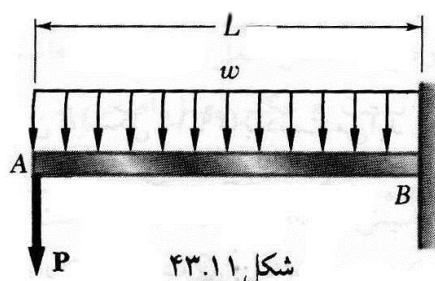
243

- به طور مشابه، برای خرپای شامل n عضو، تغییر مکان X_j در نقطه اثر بار P_j را با نوشتن روابط به دست می آوریم

$$X_j = \frac{\partial U}{\partial P_j} = \sum_{i=1}^n \frac{F_i L_i}{A_i E} \frac{\partial F_i}{\partial P_j}$$

244

- تیر یک سر گیردار AB بار گستردۀ ی یکنواخت w و بار مرکز P را مطابق شکل ۴۳.۱۱ حمل میکند. اگر $P=6\text{KN}$ $EI=5\text{MN}$. $\omega=4\text{KN/m}$ $L=2\text{m}$ باشد، تغییر مکان در A را تعیین کنید



245

$$y_A = \frac{\partial U}{\partial P} = \int_0^L \frac{M}{EI} \frac{\partial M}{\partial P} dx \quad (73.11)$$

گشتاور خمی M در فاصله x از A برابر است با

$$M = -\left(Px + \frac{1}{2}wx^2\right) \quad (74.11)$$

و مشتق آن نسبت به P برابر است با

$$\frac{\partial M}{\partial P} = -x$$

246

با جایگذاری مقادیر M و $\frac{\partial M}{\partial P}$ در معادله (۷۳.۱۱)، می‌نویسیم

$$y_A = \frac{1}{EI} \int_0^L \left(Px^2 + \frac{1}{2} wx^4 \right) dx$$

$$y_A = \frac{1}{EI} \left(\frac{PL^3}{3} + \frac{wL^4}{8} \right) \quad (75.11)$$

با جایگذاری مقادیر عددی مفروض، داریم

$$y_A = \frac{1}{5 \times 10^6 \text{ N.m}^2} \left[\frac{(6 \times 10^3 \text{ N})(2 \text{ m})^3}{3} + \frac{(4 \times 10^3 \text{ N/m})(2 \text{ m})^4}{8} \right]$$

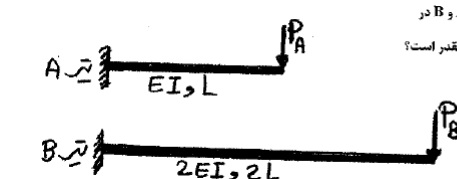
$$y_A = 4 \times 10^{-3} \text{ m} \qquad \qquad y_A = 4 \text{ mm} \downarrow$$

247

اگر انرژی ذخیره شده در تیزهای A و B در

اثر خمسن برابر باشد، نسبت $\frac{P_A}{P_B}$ چقدر است؟

- $\frac{1}{2}$ (۱)
- $\frac{1}{4}$ (۲)
- $\frac{1}{3}$ (۳)
- $\sqrt{2}$ (۴)



248

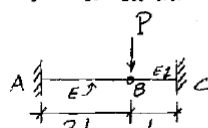
$$U_A = \frac{P_A \times A_A}{2} = \frac{P_A \left(\frac{h^3}{3EI} \right)}{2} = \frac{P_A^2 L^3}{6EI}$$

$$U_B = \frac{P_B \times A_B}{2} = \frac{P_B \left(\frac{P_B (2L)^3}{3(2EI)} \right)}{2} = \frac{2P_B^2 L^3}{3EI}$$

$$U_B = U_A \Rightarrow \frac{P_A^2}{6} = \frac{2P_B^2}{3} \Rightarrow \frac{P_A}{P_B} = 2$$

249

چنانچه مقطع تیز شکل مربع متناظر با پهنای ثابت پاشد و از روی ذخیره شده در قسمت AB برای اینروی ذخیره شده در قسمت BC باشد. آنگاه ارتفاع مقطع در قسمت AB چند برابر قسمت BC می‌باشد؟



- ۱ (۱)
- ۲ (۲)
- ۴ (۴)
- ۸ (۸)

250

$\mathcal{U}_{AB} = \mathcal{U}_{BC} \Rightarrow \frac{P_1^2 (2L)^3}{8EI_1} = \frac{P_2^2 (L)^3}{6EI_2}$

$\rightarrow \frac{8P_1^2}{I_1} = \frac{P_2^2}{I_2}$

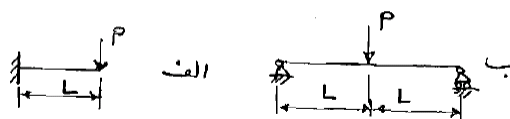
$\frac{P_1}{P_2} = \frac{k_1}{k_2} = \frac{EI_1/k_1}{EI_2/k_2} = \frac{I_1}{2I_2}$

$\left(\frac{P_1}{P_2}\right)^2 = \frac{I_1}{8I_2} \rightarrow \frac{P_1}{P_2} = \frac{I_1}{8I_2}$

$\left(\frac{I_1}{2I_2}\right)^2 = \frac{I_1}{8I_2} \rightarrow \frac{I_1}{I_2} = 1$

251

۲۱- سطح مقطع و جنس تیرهای شکل های نمایش یکی است. اگر انرژی کرنش (نگاش) ذخیره شده در شکل a) مساوی U باشد، انرژی کرنش شکل b) چقدر است؟



- | | |
|-------------------|-------------------|
| U (۱) | ۲U (۲) |
| $\frac{U}{2}$ (۳) | $\frac{U}{4}$ (۴) |

252

$$\underline{M} = \frac{P^2 L^3}{6EI} \quad \underline{M} = \frac{P \times \frac{P(2L)^3}{48EI}}{2} = \frac{PL^3}{12EI} \quad \rightarrow \underline{M} = \frac{\underline{M}_{\text{انداخته}}}{2} = \frac{\underline{M}}{2}$$

253

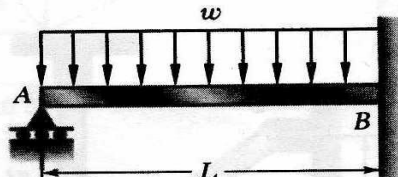
سازه هایی که از نظر استاتیکی نامعین اند

- عکس العملها در تکیه گاههای هر سازه‌ی کشسان از نظر استاتیکی نامعین را میتوان از قضیه‌ی کاستیگلیانو تعیین کرد.
- برای مثال، در مورد سازه‌ای با یک درجه نامعینی، یکی از عکس العمل را اضافی فرض کرد و تکیه گاه متناظر با آن را حذف میکنیم.
- سپس عکس العمل اضافی به صورت باری مجهول در نظر گرفته می‌شود که همراه با دیگر بارها باید تغییر شکلهایی پدید آورد که با تکیه گاههای اصلی سازگار باشند.
- نخست انرژی کرنش ل سازه ناشی از اثر ترکیبی بارهای مفروض و عکس العمل اضافی را محاسبه می‌کنیم.
- با مشاهده‌ی اینکه مشتق جزئی ل نسبت به عکس العمل اضافی نشان دهنده‌ی تغییر مکان (یا شیب) در تکیه گاهی است که حذف یا اصلاح شده است، این مشتق را مساوی صفر قرار می‌دهیم و سپس معادله‌ی به دست آمده را نسبت به عکس العمل اضافی حل می‌کنیم.
- باقی عکس العملها را می‌توان از معادله‌ی استاتیک به دست آورد.

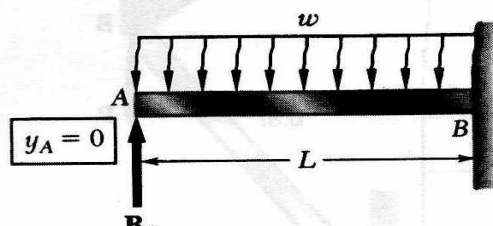
254

مثال ۱۵.۱۱

عکس‌العملها را در تکیه‌گاههای تیر منشوری با بارگذاری نشان داده شده تعبیه کنید (شکل ۱۱.۵۰).



شکا ۵۰.۱۱



شکل ۵۱.۱۱

255

$$y_A = \frac{\partial U}{\partial R_A} = \int_0^L \frac{M}{EI} \frac{\partial M}{\partial R_A} dx \quad (\text{AV.11})$$

حال گشتاور خمی M را برای بارگذاری شکل ۵۱.۱۱ بیان می‌کنیم.
گشتاور خمی در فاصله x از A برابر است با

$$M = R_A x - \frac{1}{\gamma} w x^\gamma \quad (\text{AA.11})$$

و مشتق آن نسبت به R_A برابر است با

$$\frac{\partial M}{\partial R_4} = x \quad (\text{A9.11})$$

با قراردادن مقادیر M و $\frac{\partial R_A}{\partial M}$ از معادله‌های (۸۸.۱۱) و (۸۹.۱۱) در معادله (۸۷.۱۱)، می‌توانیم

$$y_A = \frac{1}{EI} \int_0^L \left(R_A x^4 - \frac{1}{4} w x^4 \right) dx = \frac{1}{EI} \left(\frac{R_A L^5}{5} - \frac{w L^5}{20} \right)$$

با قراردادن $\circ = y_A$ و حل معادله بر حسب R_A ، داریم

$$R_A = \frac{r}{\lambda} wL \quad \mathbf{R}_A = \frac{r}{\lambda} wL \uparrow$$

اگر شرایط تعادل برای تیر، بدست می‌آوریم که عکس العمل در B شامل نیرو و کوپل زیر است:

$$\mathbf{R}_B = \frac{\diamond}{\wedge} wL \uparrow \quad \mathbf{M}_B = \frac{\circ}{\wedge} wL \downarrow$$

256

•خلاصه فرمولهای فصل

257

$$U = \int_0^{X_1} P dx \quad \text{مدول برجهندگی } U_Y = \frac{\sigma^2 Y}{2E}$$

$$u = \int_0^{\epsilon_1} \sigma_x d\epsilon_x \quad \rightarrow \quad u = \frac{\sigma^*}{\gamma E}$$

$$\left\{ \begin{array}{l} u = \frac{\tau_{xy}}{\gamma G} \quad \text{انرژی کرنش مربوط به تنشهای برشی} \\ u = \frac{\sigma^*}{\gamma E} \quad \text{انرژی کرنش مربوط به بیجش} \\ U = \frac{P^* L^*}{\gamma EI} \quad \text{انرژی کرنش عضوهای تحت تاثیر باری منفرد.} \end{array} \right.$$

$$U = \int_0^L \frac{P^*}{\gamma AE} dx \quad \text{انرژی کرنش مربوط به تنشهای عمودی}$$

$$U = \frac{P^* L}{\gamma AE} \quad \text{انرژی کرنش تحت بار محوری}$$

$$U = \int_0^L \frac{M^*}{\gamma EI} dx \quad \text{انرژی کرنش مربوط به خمث.}$$

258

حالت کلی تنش

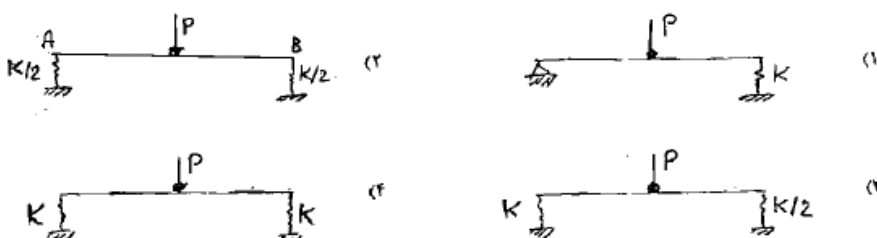
$$u = \frac{1}{2E} [\sigma_a^2 + \sigma_b^2 + \sigma_c^2 - 2v(\sigma_a \sigma_b + \sigma_b \sigma_c + \sigma_c \sigma_a)]$$

$$x_j = \frac{\partial U}{\partial P_j} \quad \text{فضیله کاستیگلیبانو}$$

$$\left\{ \begin{array}{l} \theta_j = \frac{\partial U}{\partial M_j} \quad \text{تعیین شیب} \\ \phi_j = \frac{\partial U}{\partial T_j} \quad \text{زاویه پیچش} \end{array} \right. \quad \left\{ \begin{array}{l} x_j = \frac{\partial U}{\partial P_j} = \int_0^L \frac{M}{EI} \frac{\partial M}{\partial P_j} dx \quad \text{تعیین مکانها} \\ x_j = \frac{\partial U}{\partial P_j} = \sum_{i=1}^n \frac{F_i L_i}{A_i E} \frac{\partial F_i}{\partial P_j} \quad \text{برای خرپای} \end{array} \right.$$

259

در کدام یک از سازه‌های زیر انرژی بیشتری ذخیره می‌شود؟ (EI در کلیه تیرها بمسان است). P در وسط قرار دارد.



260

$$\begin{aligned} U_1 &= \frac{\rho_x \left(\Delta_{\bar{x}} + \frac{\Delta_{\bar{y}}}{2} \right)}{2} = \frac{\rho}{2} \left(\Delta_{\bar{x}} + \frac{F}{2k} \right) \\ U_2 &= \frac{\rho}{2} \left(\Delta_{\bar{x}} + \Delta_{\bar{y}} \right) = \frac{\rho}{2} \left(\Delta_{\bar{x}} + \frac{F}{k_h} \right) \\ U_3 &= \frac{\rho}{2} \left(\Delta_{\bar{x}} + \frac{\Delta_{\bar{x}}^2 + \Delta_{\bar{y}}^2}{2} \right) = \frac{\rho}{2} \left(\Delta_{\bar{x}} + \frac{F_k + F_{kh}}{2} \right) \\ U_4 &= \frac{\rho}{2} \left(\Delta_{\bar{x}} + \Delta_{\bar{y}} \right) = \frac{\rho}{2} \left(\Delta_{\bar{x}} + \frac{F}{k} \right) \end{aligned}$$

کار محاسبه

261

۵۸- تغییر مکان قائم نقطه B با در نظر گرفتن انرژی برشی و خمشی
نسبت به حالتی که فقط انرژی خمشی در نظر گرفته شود

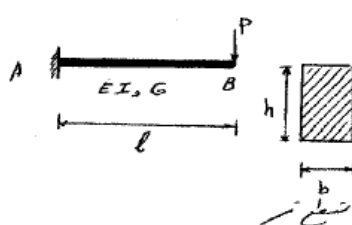
$$\left(\frac{1}{b} = 10, \frac{E}{G} = 2/4\right)$$

٪۱/۰۰۷۲ (۱)

٪۰/۰۷۲ (۲)

٪۱/۰۰۷۲ (۳)

٪۱/۰۷۲ (۴)



262

$$\Delta = \frac{\partial U_{\text{GJ}}}{\partial P} = \frac{\partial \left(1.2 \int \frac{V^2 dm}{2GA} = \frac{1.2 P^2 L}{2Gb h} \right)}{\partial P} = \frac{1.2 PL}{Gb h}$$

$$\zeta^2 \Delta = \frac{\partial U_{\text{GJ}}}{\partial P} = \frac{\partial \left(\int \frac{M^2 dm}{2EI} \right)}{\partial P} = \frac{\partial \left(\int \frac{P_n^2 dm}{2EI} \right)}{\partial P} = \frac{\partial \left(P_n^3 / 6A \right)}{\partial P} \rightarrow \zeta^2 \Delta = \frac{PL^3}{3EI} = \frac{PL^3}{3E \frac{bh^3}{12}}$$

$$\zeta^2 \Delta = \frac{1.2 PL}{Gb h} + \frac{PL^3}{3E \frac{bh^3}{12}} = \frac{1.2 \times 2.9 P(1.6h)}{Eb h} + \frac{4P(1.6h)^3}{Eb h^3} \rightarrow \zeta^2 \Delta = \frac{28.8 P}{Eb} + \frac{4000 P}{Eb}$$

$G = E/2.4$

$$\Rightarrow \zeta^2 \Delta = 100 \left(\frac{\zeta^2 \Delta - \zeta^2 \Delta}{\zeta^2 \Delta} \right) = 100 \left(\frac{4028.8 - 4000}{4028.8} \right) = 0.714\%$$

263

-۵۹- انرژی کرنشی میله استوانه‌ای زیر که تحت تأثیر وزن W و نیروی متغیر P در انتهای آن قرار دارد چقدر است؟



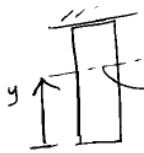
$$\frac{P^2 l}{2AE} + \frac{PWl}{6AE} + \frac{W^2 l}{6AE} \quad (1)$$

$$\frac{P^2 l}{2AE} + \frac{PWl}{4AE} + \frac{W^2 l}{6AE} \quad (2)$$

$$\frac{P^2 l}{2AE} + \frac{W^2 l}{6AE} \quad (3)$$

$$\frac{P^2 l}{2AE} + \frac{PWl}{2AE} + \frac{W^2 l}{6AE} \quad (4)$$

264



$$U = \int \frac{p^2 dy}{2EA} = \frac{1}{2EA} \int \left(P + W \frac{y}{L} \right)^2 dy = \frac{1}{2EA} \int \left(P^2 + \left(\frac{W}{L} \right)^2 y^2 + \frac{2PW}{L} y \right) dy \\ = \frac{1}{2EA} \left(P^2 L + \frac{W^2 L}{3} + \frac{2PWL}{2} \right)$$